

UNIVERZITA PARDUBICE  
FAKULTA CHEMICKO-TECHNOLOGICKÁ

BAKALÁŘSKÁ PRÁCE

2024

Ondřej Kotzot

Univerzita Pardubice  
Fakulta chemicko-technologická

Osvětlovací slože I.

Bakalářská práce

Univerzita Pardubice  
Fakulta chemicko-technologická  
Akademický rok: 2023/2024

# ZADÁNÍ BAKALÁŘSKÉ PRÁCE

(projektu, uměleckého díla, uměleckého výkonu)

Jméno a příjmení: **Ondřej Kotzot**  
Osobní číslo: **C21351**  
Studijní program: **B0531A130025 Chemie**  
Téma práce: **Osvětlovací slože I.**  
Zadávající katedra: **Ústav energetických materiálů**

## Zásady pro vypracování

1. Vypracujte literární rešerši na téma osvětlovací slože, využívané v civilní i vojenské pyrotechnice.
2. Pro jednotlivé slože zpracujte z odborné literatury publikované fyzikální a chemické vlastnosti, citlivostní a funkční charakteristiky, postupy výroby a realizované nebo navržené možnosti využití. Pozornost můžete věnovat i historickému vývoji v oblasti osvětlovacích složí.
3. Výsledky zpracujete formou bakalářské práce.

Rozsah pracovní zprávy:  
Rozsah grafických prací:  
Forma zpracování bakalářské práce: **tištěná**

Seznam doporučené literatury:

Vedoucí bakalářské práce: **doc. Ing. Robert Matyáš, Ph.D.**  
Ústav energetických materiálů

Datum zadání bakalářské práce: **29. února 2024**  
Termín odevzdání bakalářské práce: **1. července 2024**

L.S.

---

**prof. Ing. Petr Němec, Ph.D.**  
děkan

---

**doc. Ing. Jiří Pachman, Ph.D.**  
vedoucí ústavu

V Pardubicích dne 29. února 2024

Prohlašuji:

Práci s názvem Osvětlovací slože I. jsem vypracoval samostatně. Veškeré literární prameny a informace, které jsem v práci využil, jsou uvedeny v seznamu použité literatury.

Byl jsem seznámen s tím, že se na moji práci vztahují práva a povinnosti vyplývající ze zákona č. 121/2000 Sb., o právu autorském, o právech souvisejících s právem autorským a o změně některých zákonů (autorský zákon), ve znění pozdějších předpisů, zejména se skutečností, že Univerzita Pardubice má právo na uzavření licenční smlouvy o užití této práce jako školního díla podle § 60 odst. 1 autorského zákona, a s tím, že pokud dojde k užití této práce mnou nebo bude poskytnuta licence o užití jinému subjektu, je Univerzita Pardubice oprávněna ode mne požadovat přiměřený příspěvek na úhradu nákladů, které na vytvoření díla vynaložila, a to podle okolností až do jejich skutečné výše.

Beru na vědomí, že v souladu § 47b zákona č. 111/1998 Sb. o vysokých školách a o změně a doplnění dalších zákonů (zákon o vysokých školách), ve znění pozdějších předpisů, a směrnici Univerzity Pardubice č. 7/2019 Pravidla pro odevzdávání, zveřejňování a formální úpravu závěrečných prací ve znění pozdějších dodatků, bude práce zveřejněna prostřednictvím Digitální knihovny Univerzity Pardubice.

V Pardubicích dne 1. 7. 2024

Ondřej Kotzot v.r.

## **PODĚKOVÁNÍ**

Rád bych zde poděkoval svému vedoucímu práce doc. Ing. Robertu Matyášovi, Ph.D. za jeho cenné rady, velkou ochotu a trpělivost při vedení této bakalářské práce, zpětnou vazbu a vstřícnost při konzultacích. Chtěl bych také poděkovat rodině a všem kolegům, kteří při mně stáli po celou dobu studia.

## **ANOTACE**

Tato bakalářská práce formou literární rešerše nahlíží do historie, chemického složení, fyzikálních a chemických vlastností, citlivostních a funkčních charakteristik, realizovaných nebo navrhovaných postupů výroby a možností využití osvětlovacích složí.

## **KLÍČOVÁ SLOVA**

Osvětlovací slož, světlice, bíle hořící slož, žlutě hořící slož

## **TITLE**

Illuminating compositions I.

## **ANNOTATION**

This bachelor's thesis in the form of literar research contains an insight into history, chemical composition, physical and chemical properties, sensitivity and functional characteristics, implemented or proposed production procedures and the possibilities of usage of illuminating compositions.

## **KEYWORDS**

Illumination composition, flare, white burning composition, yellow burning composition

# OBSAH

ÚVOD .....	15
1. Osvětlovací pyrotechnická slož .....	16
1.1. Suroviny osvětlovacích složí.....	16
1.2. Parametry a požadavky osvětlovacích složí.....	17
1.2.1. Parametry osvětlovacích složí .....	17
1.2.2. Zvláštní požadavky osvětlovacích složí .....	18
1.2.3. Světelné charakteristiky osvětlovacích složí .....	18
1.3. Příprava, testování a měření svítivosti osvětlovacích složí.....	19
2. Historie světla .....	22
2.1. Slože 17. století .....	23
2.2. Slože 18. století .....	24
2.3. Slože 19. století .....	26
3. Slože 20. století.....	28
3.1. Slože 1. poloviny 20. století.....	28
3.1.1. Německé slože .....	28
3.1.2. Britské slože.....	29
3.1.3. Japonské slože .....	30
3.1.4. Americké slože.....	30
3.1.5. Sovětské slože.....	32
3.2. Slože 2. poloviny 20. století.....	33
3.2.1. Osvětlovací slože založené na změně pojivového systému.....	33
3.2.2. Slože obsahující energetické látky.....	44
3.2.3. Slož se specifickou funkcí - Lopatin-Hartova osvětlovací slož.....	48
3.2.4. Slože emitující infračervené záření .....	50
4. Slože 21. století.....	53
4.1. Moderní slože .....	53



4.1.1. Vývoj složí nahrazující chloristany .....	53
4.1.2. Vývoj složí nahrazující nevyhovující pojiva .....	58
4.1.3. Recyklované suroviny .....	65
4.1.4. Modifikátory parametrů .....	70
5. Konstrukce osvětlovacích prostředků .....	75
5.1. Pochodně .....	75
5.2. Ruční vrhače .....	76
5.3. Pistolové náboje .....	77
5.4. Puškové granáty .....	78
5.5. Granáty .....	79
5.6. Nástražné osvětlovací prostředky .....	80
5.7. Kulové pumy .....	81
5.8. Osvětlovací rakety .....	82
5.9. Dělostřelecké granáty .....	83
5.10. Minometné granáty .....	84
5.11. Osvětlovací pumy .....	85
5.12. Křídlové světlice .....	86
Závěr .....	87
Bibliografie .....	88

## SEZNAM TABULEK A ILUSTRACÍ

Tabulka 1 - Slože hořící jasným plamenem popsané Batem a Malthusem využívané k zábavním a osvětlovacím účelům v 17. století.....	23
Tabulka 2: Slože hořící jasným, bílým, žlutým a oranžovým plamenem využívané k zábavním, signálním a osvětlovacím účelům v 18. století.....	25
Tabulka 3: Slože bílého, žlutého a oranžového světla využívané pro zábavní, signální a osvětlovací účely v 19. století.....	27
Tabulka 4: Slože použité v německé dělostřelecké munici ve světových válkách.....	28
Tabulka 5: Kastem popsané slože používané civilním i vojenským sektorem.....	29
Tabulka 6: Slože používané britskou armádou v osvětlovacích prostředcích.....	29
Tabulka 7: Slože používané Japonskem v leteckých osvětlovacích prostředcích.....	30
Tabulka 8: Americké osvětlovací slože používané v první světové válce.....	31
Tabulka 9: Americké osvětlovací slože používané v druhé světové válce.....	31
Tabulka 10: Slože využívané sovětskou armádou během světových válek.....	32
Tabulka 11: Složení Hart-Eppig-Powersových složí.....	33
Tabulka 12: Rolle-Taborova osvětlovací slož využívající polyesterové pojivo.....	34
Tabulka 13: Složení Cadwalladerových osvětlovacích složí.....	35
Tabulka 14: Složení a parametry Doudových osvětlovacích složí.....	36
Tabulka 15 - Složení Dinsdale-Reed-Meyerovy odlévatelné slože.....	37
Tabulka 16: Složení a parametry Bash-Lane-Smithových osvětlovacích složí.....	39
Tabulka 17: Složení a parametry Dillehay-Krackenberger-Havronových osvětlovacích složí.....	40
Tabulka 18: Složení a parametry Hiltzových odlévatelných osvětlovacích složí.....	42
Tabulka 19: Složení a parametry Kruseových osvětlovacích složí.....	43
Tabulka 20: Složení Swotinsky-Newman-Colittiho osvětlovací slože.....	44
Tabulka 21: Parametry Swotinsky-Newman-Colittiho osvětlovací slože.....	45
Tabulka 22: Složení a parametry Dillehayových osvětlovacích složí.....	46
Tabulka 23: Složení Bernardyovy osvětlovací slože.....	47
Tabulka 24: Složení a parametry Lopatin-Hartových osvětlovacích složí pro velké výšky.....	49
Tabulka 25: Složení Lokhampových „near infrared“ osvětlovacích složí.....	50
Tabulka 26: Složení a parametry Nielsonových infrared osvětlovacích složí.....	51
Tabulka 27: Složení Dillehay-Turnerových infrared osvětlovacích složí.....	52
Tabulka 28: Složení slože s chloristanem draselným a její alternativy.....	53

Tabulka 29: Parametry slože při použití hořčíku o granulaci 18, 15 a jejich směsi .....	54
Tabulka 30: Složení Miklaszewski-Dilger-Yamamotové osvětlovacích složí.....	55
Tabulka 31: Parametry Miklaszewski-Dilger-Yamamotové osvětlovacích složí .....	57
Tabulka 32: Aktuální a testované složení nových složí pro M127A1 .....	58
Tabulka 33: Parametry Sabatini-Raab-Hannových osvětlovacích složí.....	59
Tabulka 34: Složení Sabatini-Raab-Hann-Freemanových osvětlovacích složí .....	60
Tabulka 35: Parametry Sabatini-Raab-Hann-Freemanových osvětlovacích složí.....	60
Tabulka 36: Složení a parametry Sadek-Kassem-Abdových osvětlovacích složí .....	61
Tabulka 37: Složení a parametry kontrolních složí .....	62
Tabulka 38: Složení a parametry testovaných složí s novým pojivovým systémem.....	64
Tabulka 39: Analyzované nečistoty pomocí XRF .....	65
Tabulka 40: Složení kontrolní slože M127A1 .....	66
Tabulka 41: Složení složí využívající recyklovaný hořčík .....	66
Tabulka 42: Parametry Sabatini-Moretti-Hallových složí .....	67
Tabulka 43: Senzitivita Sabatini-Moretti-Hallových složí na jednotlivé podněty.....	68
Tabulka 44: Složení a parametry Mikhajlovich-Vyacheslavovich-Vladimirovichových složí	68
Tabulka 45: Složení a parametry Mikhajlovich-Il'ich-Vladimirovichových složí.....	70
Tabulka 46: Složení a parametry Georgievich-Mikhajlovich-Anvarovichových složí .....	71
Tabulka 47: Složení a parametry Mikhajlovich-Georgievich-Viktorovichových složí .....	72
Tabulka 48: Složení Sergeevich-Shamilovich-Ivanovichových složí.....	73
Obrázek 1: Testovací světlice na upevňovací podložce.....	19
Obrázek 2: Schematické zobrazení fotometrického tunelu .....	20
Obrázek 3: Digitální fotografie žlutě hořící slože ve fotometrickém tunelu .....	20
Obrázek 4: Zóny hoření plamene.....	21
Obrázek 5: Sodíkový dublet .....	21
Obrázek 6: Diagram chromaticity.....	21
Obrázek 7: Grafické porovnání svítivosti Doudových složí.....	36
Obrázek 8: Grafické porovnání svítivosti Bash-Lane-Smithových složí .....	39
Obrázek 9: Grafické porovnání svítivosti Dillehay-Krackenberger-Havronových složí.....	41
Obrázek 10: Strukturní vzorec 1,3,6,8-tetranitrokarbazolu .....	45
Obrázek 11: Grafické znázornění závislosti svítivosti na hm.% hořčíku .....	46
Obrázek 12: Grafické znázornění závislosti rychlosti hoření na hm.% hořčíku .....	46

Obrázek 13: Organické látky použitelné samostatně (vlevo) a ve směsi (vpravo).....	47
Obrázek 14: Grafické porovnání svítivosti Lopatin-Hartových složí.....	49
Obrázek 15: Grafické porovnání svítivosti Yamamoto-Shortridgeových složí .....	55
Obrázek 16: Grafické porovnání svítivosti Miklaszewski-Dilger-Yamamoté složí .....	57
Obrázek 17: Grafické porovnání svítivosti Sabatini-Raab-Hannových složí.....	59
Obrázek 18: Grafické porovnání svítivosti Sabatini-Hann-Freemanových složí .....	60
Obrázek 19: Grafické porovnání svítivosti Sadek-Kassem-Abdových složí.....	61
Obrázek 20: Konstrukce světlic M585 a M583A1 .....	62
Obrázek 21: Grafické porovnání svítivosti Moretti-Sabatiny-Poret-Gilbertových osvětlovacích složí pro 40mm granáty .....	64
Obrázek 22: Grafické porovnání svítivosti Sabatini-Moretti-Hallových složí.....	67
Obrázek 23: Grafické porovnání svítivosti Mikhajlovich-Vyacheslavovich- Vladimirovichových složí.....	69
Obrázek 24: Grafické porovnání svítivosti Georgievich-Mikhajlovich-Anvarovichových složí .....	72
Obrázek 25: Grafické porovnání svítivosti Mikhajlovich-Georgievich-Viktorovichových složí .....	73
Obrázek 26: Osvětlovací pochodeň .....	75
Obrázek 27: Řez osvětlovací pochodně.....	75
Obrázek 28: Použití osvětlovací pochodně.....	75
Obrázek 29: ROS 40 .....	76
Obrázek 30: Řez ROS 40.....	76
Obrázek 31: Řez M127A1 .....	76
Obrázek 32: Civilní vrhač.....	76
Obrázek 33: Použití M127A1 .....	76
Obrázek 34: Osvětlovací náboje ráže 26,5 mm .....	77
Obrázek 35: Nákres osvětlovacího náboje.....	77
Obrázek 36: Signální pistole s náboji .....	77
Obrázek 37: Puškový osvětlovací granát.....	78
Obrázek 38: Použití puškového granátu .....	78
Obrázek 39: Moderní 40mm osvětlovací granáty.....	78
Obrázek 40: Nabíjení granátometu .....	78
Obrázek 41: Osvětlovací granát Mk.1 .....	79
Obrázek 42: Vrhací nástavec M1A2 .....	79

Obrázek 43: Nástražný osvětlovací prostředek M48 .....	80
Obrázek 44: Nástražný osvětlovací prostředek M49 .....	80
Obrázek 45: Československý nástražný systém .....	80
Obrázek 46: Československý nástražný systém .....	80
Obrázek 47: Osvětlovadlo vz. 60.....	81
Obrázek 48: Osvětlovadlo vz. 60.....	81
Obrázek 49: Ortungsleuchtzeichen .....	81
Obrázek 50: Použití Ortungsleuchtzeichen.....	81
Obrázek 51: Osvětlovací raketa používaná během první světové války .....	82
Obrázek 52: Řez osvětlovací rakety .....	82
Obrázek 53: Moderní osvětlovací raketa .....	82
Obrázek 54: Řez moderní rakety .....	82
Obrázek 55: Funkce dělostřeleckého osvětlovacího granátu.....	83
Obrázek 56: Nákres osvětlovacího dělostřeleckého granátu .....	83
Obrázek 57: Osvětlovací dělostřelecký granát 8,8 cm .....	83
Obrázek 58: Nákres minometného granátu .....	84
Obrázek 59: Minometný granát M853A1 .....	84
Obrázek 60: Nákres funkce osvětlovacích pum .....	85
Obrázek 61: Osvětlovací puma M26 .....	85
Obrázek 62: Konstrukce křídlové světlice.....	86
Obrázek 63: Nákres řezu křídlové světlice .....	86

## SEZNAM ZKRATEK A ZNAČEK

Zkratka	Jednotka	Význam
$L_E$	$\text{cd}\cdot\text{s}\cdot\text{g}^{-1}$	Světelná účinnost
I	cd	Svítivost
m	kg	Hmotnost pyrotechnického tělesa
t	s	Doba hoření pyrotechnického tělesa
i	$\text{mm}\cdot\text{s}^{-1}$	Lineární rychlost hoření
h	mm	Výška pyrotechnického tělesa
T	K	Termodynamické teplota
IR	-	Infračervené
D.E.R.-732	-	Epoxidová pryskyřice
D.E.R. 321	-	Epoxidová pryskyřice
D.E.H. 14	-	Epoxidové tvrdidlo
QX-3812	-	Polyglykolová pryskyřice
Witco Formrez 17-80	-	Polyesterový polymer
ERLA 0510	-	Epoxidová pryskyřice
GDGE	-	Glycerin diglycidyl ether
GDGE 2/3	-	Glycerin glycidyl ether
APO	-	Aminem ukončený polypropylen oxid
Epon 828	-	Bisfenol A – diglycidyl ether
Epon 813	-	Epoxidová pryskyřice
Aropal 72-40-MC	-	Polyesterová pryskyřice
Lp-33	-	Tekutý polymer
PAPD 639	-	Obchodní název využitého tetranitrokarbazolu
Laminac 4116	-	Polyesterová pryskyřice
Lupersol DDM	-	Roztok methylethylketonperoxidu s dimethylftalátem
Versamid 140	-	Epoxidová pryskyřice
PVC	-	Polyvinylchlorid

# ÚVOD

Pyrotechnika je fascinující oblast, která spojuje chemii, fyziku a v případě ohněstrůjství i umění. Jednou z klíčových součástí pyrotechniky jsou osvětlovací složky, které hrají nezastupitelnou roli jak v zábavní, tak vojenské sféře. Osvětlovací složky jsou určeny k produkci světla a nachází využití v mnoha formách - od nádherných světelných efektů při ohňostrojích až po kritické aplikace v nouzových a vojenských situacích, kde zajišťují osvětlení prostoru nebo signalizaci.

Historie použití pyrotechniky sahá hluboko do minulosti. První použití pyrotechniky bylo k náboženským a slavnostním účelům. Postupem času se znalosti rozšířily a pyrotechnika začala hrát významnou roli nejen v zábavě, ale i ve vojenství. Během staletí se technologie a složení osvětlovacích složek vyvíjely a zdokonalovaly, což vede k moderním aplikacím, které známe dnes.

Chemické složení osvětlovacích složek je základním kamenem jejich funkce. Tyto složky jsou pečlivě navrženy tak, aby při spalování produkovaly požadovanou barvu a intenzitu světla. Kombinace různých okysličovadel, paliv a dalších aditiv umožňuje vytvořit širokou škálu složek. Fyzikální parametry těchto složek, jako je svítivost, světelná účinnost a rychlost hoření, rovněž hrají klíčovou roli v jejich výkonu a aplikaci.

Použití osvětlovacích složek se neomezuje pouze na zábavu. Ve vojenské sféře jsou tyto složky nezbytné pro signalizaci, navigaci a osvětlování bitevních polí. V nouzových situacích slouží k osvětlování nebezpečných zón a k záchraně lidských životů. Civilní využití zahrnuje také signální světla na lodích, v letectví a v průmyslu.

Cílem této práce je zpracování rešerše pyrotechnických osvětlovacích složek se zaměřením na jejich chemické složení, specifické parametry a jejich praktické využití. Přehled by měl, v případě jeho dalšího využití, posloužit k prohloubení znalostí problematiky osvětlovacích pyrotechnických složek.

# 1. Osvětlovací pyrotechnická slož

Osvětlovací pyrotechnická slož je mechanická směs kyslíkem bohatého okysličovadla, paliva a pojiva, které po iniciaci spolu exotermicky reagují a vydávají světelný účinek [1]. Tohoto účinku je využíváno ve vojenských či civilních pyrotechnických prostředcích. Pyrotechnickými prostředky jsou tělesa – náboje, střely, pumy, granáty, rakety aj., jejichž konstrukce je přizpůsobena požadovanému použití. Samotné osvětlovací slož nacházejí využití nejen v osvětlovacích prostředcích, ale také v prostředcích stopovacích či signalizačních [2].

## 1.1. Suroviny osvětlovacích slož

Základními surovinami tvořící pyrotechnickou osvětlovací slož jsou:

- a) Okysličovadla – látky dodávající při hoření kyslík, hoření na úkor okysličovadla je rychlejší než na úkor vzdušného kyslíku – dusičnany, chlorečnany, chloristany, ...
- b) Paliva – látky dodávající při hoření slož potřebné teplo, čím více uvolňují tepla, tím vyšší je zvláštní účinek slož – hořčík, hliník, síra, ...
- c) Pojiva – látky dávající výrobkům soudržnost, potřebnou mechanickou pevnost a odolnost vůči mechanickému namáhání – kalafuna, šelak, pryskyřice, polymery... [2]

Další možné suroviny (souhrnně označitelné jako látky pomocné):

- a) Látky barvící plamen – sodné, strontnaté, barnaté soli, ...
- b) Látky zlepšující zvláštní účinek – svítivost, barvu plamene – chloridy, PVC, ...
- c) Flegmatizátory – látky snižující citlivost slož – vosk, parafín, grafit, ...
- d) Stabilizátory – látky zvyšující chemickou stabilitu slož – vosky, oleje, ...
- e) Látky urychlující nebo zpomalující pochod hoření – sulfid antimonitý, hydrogenuhčitany, ...
- f) Látky zvláštního technologického určení – mazací přísady, rozpouštědla pryskyřic, ... [2]

V některých případech může jedna z látek plnit několik různých úkolů – např. organická pojiva plní ve složi úlohu hořlaviny, stabilizátoru a někdy i zpozd'ovače pochodu hoření [2].



## 1.2. Parametry a požadavky osvětlovacích složí

### 1.2.1. Parametry osvětlovacích složí

Osvětlovací slože musí mít zejména tyto parametry:

- a) Musí dávat co největší světelný účinek při co nejmenších nákladech na slož [2]
- b) Emisní charakteristiky musí být optimalizované pro viditelnou část spektra [3]
- c) Reakce mezi palivem a okysličovadlem musí produkovat co největší množství tepla na objemovou jednotku slože [3]
- d) Musí hořet rovnoměrně určitou rychlostí [2]
- e) Teploty tání a varu produktů reakce musí být extrémně vysoké a teplota jejich rozkladu by měla ležet nad teplotou varu [3]
- f) Musí být přítomny těkavé reakční produkty v dostatečném množství, aby byly schopné odvádět žáruvzdorné produkty reakce z plamene [3]
- g) Žáruvzdorné produkty reakce musí být snadno rozptýlitelné ve vzduchu, mít dostatečně vysokou teplotu varu, aby nedocházelo k jejich tavení či aglomeraci v reakční zóně [3]
- h) Musí být chemicky i fyzikálně stálé při dlouhodobém skladování [2]
- i) Musí mít co nejmenší citlivost k mechanickým impulsům [2]
- j) Nesmějí být nadměrně citlivé k tepelným účinkům [2]
- k) Nesmějí dávat v produktech hoření silně otravně působící látky, které by mohly bránit likvidaci požáru ve výrobě [2]
- l) Technologický proces výroby musí být jednoduchý [2]
- m) Nesmějí obsahovat deficitní (těžce dostupné) složky [2]
- n) Nesmějí obsahovat složky působící toxicky na lidský organismus [2]

Výlisky z osvětlovacích složí musí mít velkou mechanickou pevnost. Pro výrobu osvětlovacích složí, vyhovujících požadovaným parametrům je nutné v každém jednotlivém případě pečlivě zvážit výběr okysličovadla a hořlaviny a vypočítat jejich vzájemný kvantitativní poměr. Je nutné brát v úvahu fyzikálně-chemické charakteristiky hořlaviny a okysličovadla a využít literárních údajů o vlastnostech osvětlovacích složí a jejich jednotlivých složek [2].

### 1.2.2. Zvláštní požadavky osvětlovacích složí

Zvláštní požadavky kladené na osvětlovací slože:

1. Při hoření osvětlovací slože se musí uvolnit co největší množství světelné energie. Vyzařované světlo musí zajistit to, že pozorovatel může dostatečně zřetelně pozorovat a správně rozlišovat barvy. Záření osvětlovacích složí tak nemůže být monochromatické, ale musí obsahovat světelnou energii všech částí spektra. Ideálním případem by bylo rozdělení intenzity záření ve spektru blízkému slunečnímu záření, na které si lidský zrak zvykl a jemuž se přizpůsobil [2].
2. Lineární rychlost hoření lisovaných osvětlovacích složí se musí pohybovat v jednotkách milimetrů za vteřinu. Velké osvětlovací prostředky (osvětlovací pumy a střely) využívají osvětlovací slože s rychlostí hoření v lisovaném stavu nejvýše  $1-2 \text{ mm} \cdot \text{s}^{-1}$ , malé světlice (pistolové náboje a puškové granáty) využívají slože s rychlostí hoření  $5-10 \text{ mm} \cdot \text{s}^{-1}$  [2].

### 1.2.3. Světelné charakteristiky osvětlovacích složí

Při zkouškách osvětlovacích těles se pokusně zjišťují tyto hodnoty:

1. Váha osvětlovací slože [g].
2. Rozměry spalovaného tělesa – zejména průměr a výška [cm].
3. Svítivost v kandelách [cd].
4. Doba hoření spalovaného tělesa [s] [2].

#### **Světelná účinnost (Luminous efficiency) $L_E$**

Množství světelné energie  $I$  [cd], uvolněné při shoření hmotnosti osvětlovací slože  $m$  [g] za čas  $t$  [s]. Výpočet světelné účinnosti zobrazuje rovnice 1.1 [1].

$$L_E = \frac{I \cdot t}{m} [\text{cd} \cdot \text{s} \cdot \text{g}^{-1}] \quad (1.1)$$

### **Lineární rychlost hoření $i$**

Podíl výšky pyrotechnického tělesa  $h$  [mm] a doby hoření slože  $t$  [s]. Lineární rychlost hoření slože není stálou veličinou, neboť závisí na hustotě slože. Výpočet lineární rychlosti hoření zobrazuje následující rovnice 1.2 [2].

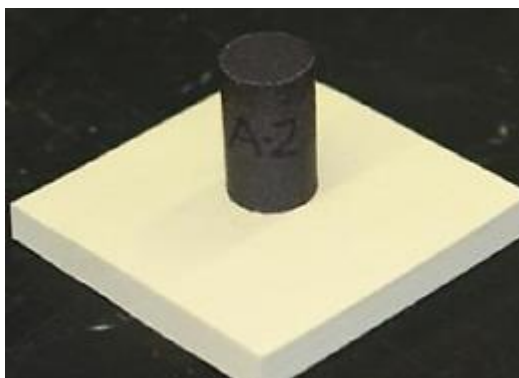
$$i = \frac{h}{t} [mm \cdot s^{-1}] \quad (1.2)$$

### **Sytost barvy**

Sytost barvy, neboli její čistota znamená, jak moc je sledovaná barva odlišná od barvy šedé. Nezáleží na tom, jak moc je tato šedá světlá nebo tmavá, ale pouze na tom, jak moc se od této určité šedé odlišuje. Toto odlišení je vyjádřeno procentuálně [4].

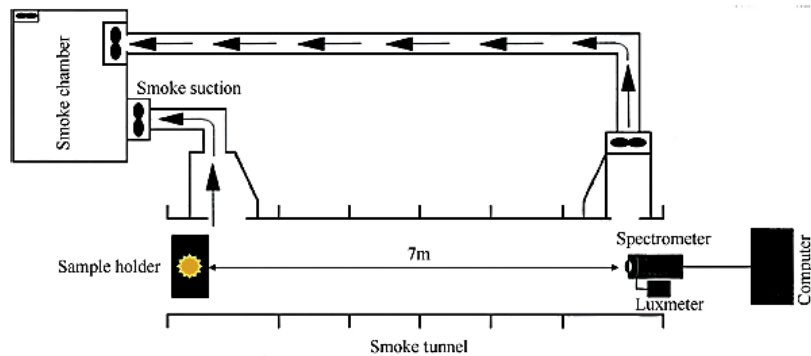
## **1.3. Příprava, testování a měření svítivosti osvětlovacích složí**

Osvětlovací slože jsou připraveny níže popsánymi způsoby, následně mohou být odlity do formy bez pouzdra nebo odlity do kartonového, polymerového nebo kovového pouzdra, vytvrzeny a testovány [5; 6]. Lisované slože bývají nejčastěji zalisovány do pouzdra. Následně jsou umístěny na upevňovací desku viz obrázek 1 [7].



**Obrázek 1** – Testovací světlice na upevňovací podložce [7]

Měření spektrálních vlastností je často prováděno ve fotometrickém tunelu, do kterého je umístěna testovací světlice upevněná na podložce. Osvětlenost je měřena luxmetrem, která je dále převedena na svítivost. Měření luxmetru bohužel neposkytuje žádné informace o kvalitě barvy plamene, k tomu je využit spektrometr. Schematické znázornění fotometrického tunelu s měřicími přístroji a fotografií z průběhu měření lze vidět na obrázcích 2, 3 [8].



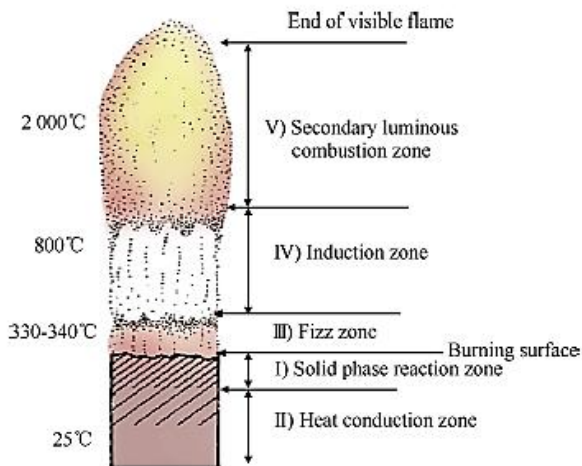
**Obrázek 2** – Schematické zobrazení fotometrického tunelu [8]



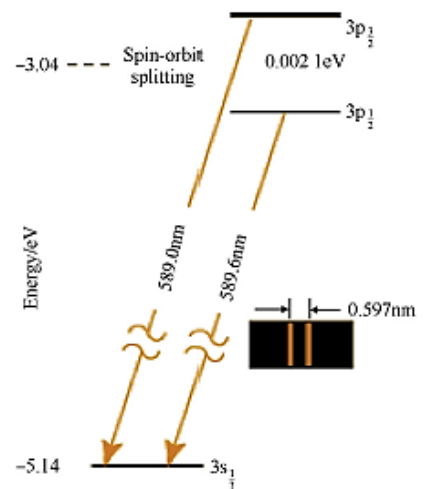
**Obrázek 3** – Digitální fotografie žlutě hořící slože ve fotometrickém tunelu [8]

Při hoření slože je barva plamene určena barvotvorným prvkem (např. sodík – žlutá barva, stroncium – červená barva, baryum – zelená barva, ...) který při zahřátí na vysokou teplotu emituje čáry světelného spektra. Podle barvotvorného prvku popřípadě jejich směsi vzniká výsledná barva plamene. Zahřátím na vysokou teplotu jsou tepelnou energií excitovány atomy barvotvorného prvku v druhé svítící zóně hoření plamene zobrazeného na obrázku 4 a při jejich deexcitaci je emitováno viditelné světlo [8].

Dosáhnout čistého žlutého plamene není značný problém, neboť sodík má velmi silnou emisi světla při deexcitaci sodíkových atomů. Sodíkový dublet (čárové spektrum) je zobrazeno na obrázku 5. Sodíkový dublet se skládá z čar o vlnových délkách  $584 \pm 2$  nm a  $588 \pm 1$  nm [8].

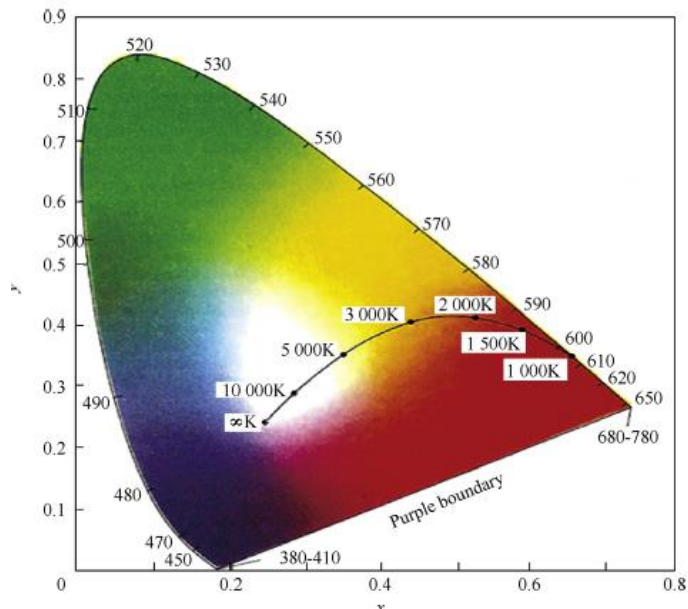


Obrázek 4 – Zóny hoření plamene [8]



Obrázek 5 – Sodíkový dublet [8]

Hořík využívaný jako kovové palivo se v oxidační části plamene oxiduje na oxid hořečnatý, který emituje bílé světlo při zhavení. V případě žlutě hořícího plamene intenzita emise záření roste s teplotou, je zde ale horní hranice teploty 5000 K, po jejímž překročení již barva není žlutá, ale bílá. Barevnost plamene v závislosti na teplotě zobrazuje přiložený diagram chromaticity na obrázku 6 [8].



Obrázek 6 – Diagram chromaticity [8]

## 2. Historie světla

Pojem „pyrotechnika“ vychází z řeckých slov: pyr – oheň a techne – umění, tedy umění ohně. Nyní je pyrotechnika vědním oborem zahrnující veškeré znalosti týkající se pyrotechnických složí a jejich využitím [2].

V historických spisech jsou zaznamenána využití různých pyrotechnických složí v mnoha typech pyrotechnických prostředků. První publikace, které obsahují podrobnější popis složení ohněstrůjných složí se ale začínají objevovat až v 17. století [9]. Na přelomu 17. a 18. století Petr I. vyráběl pyrotechnické slože a nařídil armádní použití osvětlovacích raket pro signální účely [2].

Velkým milníkem ve složení složí bylo objevení chlorečnanu draselného poprvé připraveného Claudem Louisem Bertholletem roku 1788 [9].

Roku 1833 byla vydána publikace Moritze Meyera, jedná se pravděpodobně o první publikaci, ve které je zaznamenáno množství složí s chlorečnanem draselným pro ohňostrůjné, vojenské a námořní signalizační účely [10; 11].

Jedním z nejpodstatnějších vynálezů ve vojenské pyrotechnice v první polovině 19. století bylo „padákové světlo“ jehož vznik se datuje kolem roku 1820 v Dánsku, které našlo největší uplatnění v obou světových válkách [9]. Padákové rakety pro bojové a ohňostrojné účely byly v Rusku představeny okolo roku 1832 [2].

Od roku 1860 byl komerčně vyráběný kovový hořčík, který byl již po pár letech využíván evropskými pyrotechniky jako palivo pro výrobu pyrotechnických složí. Hliník nebyl znatelně využíván do konce 19. století, než započal být komerčně dostupný [9]. Hořčík s hliníkem patří mezi nejpoužívanější kovová paliva v moderních osvětlovacích složích [8].

Dalším významným vynálezem byla signální pistole – patentována v roce 1878 používaná zejména jako signalizační prostředek. Vylepšení osvětlovacích prostředků proběhlo v letech 1914-1918, neboť stoupla jejich potřeba pro zákopovou válku. S rostoucím využitím letadel v boji rostl význam použití signalizačních a osvětlovacích prostředků. Po skončení války výzkum a vývoj osvětlovacích složí pokračoval a byla provedena mnohá vylepšení [9].

## 2.1. Slože 17. století

V 17. století se začínají objevovat publikace s přesnějším složením pyrotechnických složí. Uváděné slože nemají složité složení, zejména se jedná o směs černého prachu s dalšími přísadami upravujícími jeho vlastnosti.

Bate a Malthus slože vyráběli buď mísením za sucha nebo s využitím jednoduchých pojiv (voda, petrolej, roztok alkoholu přidávaný dle potřeby) a balili je do papírových a látkových pytlíků nebo je kouleli do kuliček a za vlhka obalili v černém prachu pro lepší zážeh [12; 13]. Bate popsal slož využívající složitější pojivo ze směsi kafru a tragantové gummy rozpuštěné v ethanolu. Slože hoří velkým jasným plamenem<sup>1</sup> [13]. Složení těchto složí je uvedeno v tabulce 1.

**Tabulka 1** – Slože hořící jasným plamenem popsané Batem a Malthusem využívané k zábavním a osvětlovacím účelům v 17. století

Suroviny [hm.%]	1. [12]	2. [12; 13]	3. [12]
KNO <sub>3</sub>	57,1	50	20
S	28,6	25	10
Černý prach	14,3	25	60
Dřevěné uhlí	-	-	10
Petrolej/voda	-	dle potřeby	-
Tragantová guma*	-	-	dle potřeby
Kafr*	-	-	dle potřeby

\*Orig.: rozpuštěno ve fayre water/aqua vitae (předpokládán koncentrovanější roztok ethanolu)

<sup>1</sup> ze složení směsi se však dá předpokládat žlutooranžový plamen

## 2.2. Slože 18. století

V 18. století stále jako matrice slože zůstává černý prach s přídavkem dusičnanu draselného a síry. Do složí začínají být přidávána různá aditiva a je používáno více druhů pojiva.

Přidávanými aditivami upravujícími parametry a barvu plamene, jsou zejména sloučeniny antimonu, arsenu, olova a rtuti. Tyto sloučeniny jsou značně toxické a samotní ohněstrůjci před jejich toxicitou varují a nedoporučují slože s nimi připravovat [14].

Využití složí se kromě zábavných účelů přesouvá do sektoru vojenského, začíná jich zde být využíváno jako prostředků použitelných při obléhání, osvětlování a signalizaci [15].

Belidor slož připravuje za vlhka, koulí do kuliček a obaluje v černém prachu [16]. Frézier a Jones slože míchá za sucha a plní do papírových nebo látkových pytlíků, popřípadě papírových trubic. Při mísení s pojivem je koulí do kuliček, obalených za vlhka v černém prachu nebo je válcuje na pláty, řeže na čtverce, proděraví je a navléká na nit [14; 15]. Ohněstrůjci začínají ve svých pracích uvádět barvy a účely jednotlivých složí – slože hořící jasným plamenem, slože hořící bílým a žlutým plamenem pro osvětlování, jejich složení je uvedeno v tabulce 2 [15].



**Tabulka 2** – Slože hořící jasným, bílým, žlutým a oranžovým plamenem využívané k zábavním, signálním a osvětlovacím účelům v 18. století

Suroviny [hm. %]	1. [16]	2. [14]	3. [14]	4. [14]	5. [14]	6. [15]	7. [15]	8 [15]	9. [15]	10. [15]	11. [15]	12. [15]	13. [15]	14. [17]	15. [17]	16. [17]	17. [17]	18. [17]
Černý prach	11,5	32,9	20	-	-	13,8	4,8	20	75	17,7	-	-	12,8	7,7	-	31,9	4	12,5
KNO <sub>3</sub>	30,8	16,5	53,3	79,2	22,2	41,4	66,7	53,3	-	53	42,7	33,3	44,8	69,2	14,3	34,1	64	50
S	11,5	16,5	13,3	5,2	9,3	20,7	28,6	26,7	-	17,7	21,3	50	32	15,4	28,6	17	13	25
Sb	-	4,1 <sup>(2)</sup>	6,7 <sup>(4)</sup>	5,2 <sup>(2)</sup>	1,9 <sup>(2)</sup>	-	-	-	-	11,6 <sup>(7)</sup>	-	16,7 <sup>(7)</sup>	6,4 <sup>(7)</sup>	7,7 <sup>(9)</sup>	57,1 <sup>(8)</sup>	-	16 <sup>(7)</sup>	12,5 <sup>(7)</sup>
As <sub>2</sub> S <sub>3</sub>	-	-	-	-	1,9	-	-	-	-	-	5,3	-	-	-	-	-	-	-
Fe (piliny)	-	5,4	-	-	-	-	-	-	-	-	-	-	-	-	-	-	-	-
Popel	-	4,1	-	-	-	-	-	-	-	-	-	-	-	-	-	-	-	-
Dřevěné uhlí	-	-	-	5,2	-	-	-	-	-	-	-	-	-	-	-	-	-	-
Mosaz (prach)	-	-	-	-	-	-	-	-	-	-	-	-	0,8	-	-	-	-	-
HgCl <sub>2</sub>	-	4,1 <sup>(3)</sup>	-	-	14,8 <sup>(5)</sup>	-	-	-	-	-	-	-	-	-	-	-	-	-
Skelný prach	-	-	-	-	14,8	-	-	-	-	-	10,7	-	3,2	-	-	-	-	-
Ethanol	1 pinta <sup>(1)</sup>	-	-	-	-	-	dle potřeby <sup>(6)</sup>	-	-	-	-	-	-	-	-	-	-	-
Kafr	30,8	4,1	-	5,2	1,9	17,2	-	-	-	-	5,3	-	-	-	-	-	-	-
Arabská guma	15,4	-	-	-	-	-	-	-	-	-	-	-	-	-	-	-	-	-
Tragantová guma	-	4,1	-	-	-	-	-	-	-	-	10,7	-	-	-	-	-	-	-
Bílý jantar	-	4,1	-	-	3,7	-	-	-	25	-	4	-	-	-	-	-	-	-
Žlutý jantar	-	-	6,7	-	-	-	-	-	-	-	-	-	-	-	-	17	-	-
Tuk	-	4,1	-	-	-	-	-	-	-	-	-	-	-	-	-	-	-	-
Olej	-	-	-	dle potřeby	-	6,9	-	-	-	dle potřeby	-	-	-	-	-	-	-	-
Terpentýn	-	-	-	dle potřeby	-	-	-	-	-	-	-	-	-	-	-	-	-	-
Kadidlo	-	-	-	-	14,8	-	-	-	-	-	-	-	-	-	-	-	-	-
Masticha*	-	-	-	-	14,8	-	-	-	-	-	-	-	-	-	-	-	-	-

Barva plamene      jasná    jasná    jasná    jasná    jasná    bílá    jasná    jasná    žlutá    jasná    žlutá    bílá    bílá    bílá    bílá    žlutá    jasná    jasná

Orig.: (1) – esprit de win, (2) – de l'Antimoine, (3) – de l'sublimé, (4) – l'Antimoine cru, (5) – du mercure sublimé, (6) – spirits of wine, (7) - antimony, (8) – antimony prepared, (9) – antimony crude, \*pryskyřice keře řečiku lentišku

### 2.3. Slože 19. století

V 19. století pokračuje rozvoj pyrotechnických složí. Černý prach jako matrice přestává být využíván. Komponenty složí jsou vybírány dle požadovaných vlastností – barvy plamene, svítivosti, rychlosti hoření. Složení začíná být rozmanitější a informace o složích rozsáhlejší.

Při výrobě pyrotechnických těles je sledován vliv míry a rovnoměrnosti stlačení, homogenity a kvality surovin slože na její parametry [18].

#### **Slože hořící bílým plamenem**

Doposud slože hořící bílým plamenem obsahovaly dusičnan draselný, který díky draslíku hoří matně bílým plamenem s červenofialovým nádechem. Přídavkem síry zabarvení mizí a plamen hoří bíle, ale značně pomalu. Je potřeba dodat palivo, které samo o sobě nemá barvicí vlastnost. Tuhy a pryskyřice dodávají plameni matnou oranžovou barvu, neboť při jejich hoření vznikají saze (nevyužívají se), dřevěné uhlí dodává plameni lehce načervenalý nádech. Pro odstranění zabarvení plamene a získání bílého plamene bylo dřevěné uhlí nahrazeno sloučeninami arsenu. Toxicita produktů hoření sloučenin arsenu vedla k ústupu jejich používání a byly nahrazeny sloučeninami antimonu, které samotné hoří lehce namodralým plamenem, zvyšují velikost a jasnost plamene. Pro dosažení čistého a bílého plamene je třeba využít dusičnanu s co nejmenším obsahem nečistot [19].

#### **Slože hořící žlutým a oranžovým plamenem**

Slože využívající jako pojiva kalafunu, šelak, smolu a jantar hoří špinavě žlutým plamenem s malou svítivostí, nejsou na velké vzdálenosti zřetelné a při jejich hoření dochází k vývoji sazovitého kouře. Přidáním sloučenin sodíku dochází ke zvýšení svítivosti a barevnosti plamene. Osvědčilo se použití dusičnanu, chlorečnanu, šťavelanu a hydrogenuhličitanu sodného. Nevýhodou sodných sloučenin je jejich hygroskopicita. Slože obsahující sodnou sůl a přípravky z nich vyrobené je nutné skladovat na suchém místě [19].

Úpravu barvy plamene lze provést i solemi stroncia či barya. Strontnatými solemi lze bílý/žlutý plamen ztmavit na oranžový, barnatou solí lze zesvětlit oranžový plamen a zároveň upravit parametry plamene, neboť barnaté soli zpomalují hoření a zvětšují plamen [19]. Začínají se objevovat slože s kovovým hořčíkem, který však patří k dražším<sup>2</sup> pyrotechnickým surovinám [20]. Složení složí je uvedeno v tabulce 3.

---

<sup>2</sup>Ceník pyrotechnických surovin pro rok 1878 na str. 172 [20]

**Tabulka 3** – Slože bílého, žlutého a oranžového světla využívané pro zábavní, signální a osvětlovací účely v 19. století

Suroviny [hm.%]	1. [19]	2. [19]	3. [19]	4. [19]	5. [19]	6. [19]	7. [18]	8. [18]	9. [18]	10. [20]	11. [20]	12. [20]	13. [20]	14. [20]	15. [20]	16. [20]	17. [20]	18. [20]	19. [20]	20. [20]
KNO <sub>3</sub>	-	-	-	-	-	-	52,2	36,2	-	-	-	-	-	-	-	-	-	-	-	63,2
NaNO <sub>3</sub>	-	-	-	-	-	64	-	18,1	-	-	-	-	-	-	-	-	-	-	-	-
Ba(NO <sub>3</sub> ) <sub>2</sub>	-	12,5	-	30,8	22,2	-	-	-	-	-	-	-	14,3	-	50	-	-	-	-	-
Pb(NO <sub>3</sub> ) <sub>2</sub>	-	-	-	-	-	-	13	-	-	-	-	-	-	-	-	-	-	-	-	-
Sr(NO <sub>3</sub> ) <sub>2</sub>	-	-	-	-	-	-	-	-	-	-	-	-	-	-	66,7	-	44,4	-	-	-
KClO <sub>3</sub>	60	50	75	38,5	44,5	-	13	21,7	49,5	61,5	57,1	50	57,1	57,1	13,3	15	22,2	59,3	50	-
S	30	25	-	-	-	16	13	10,9	19,8	-	14,3	16,7	14,3	7,1	-	-	16,7	18,5	-	21,1
Dřevěné uhlí	-	-	-	-	-	2	-	7,3	7,9	-	-	-	-	-	-	-	2,8	3,7	-	-
Mg (piliny)	-	-	-	-	-	-	-	-	-	-	-	-	-	-	-	-	-	-	12,5	10,5
Na <sub>2</sub> C <sub>2</sub> O <sub>4</sub>	-	-	12,5	15,4	-	-	-	-	9,9	23,1	14,3	16,7	14,3	14,3	10	20	11,1	18,5	25	-
SrCO <sub>3</sub>	-	-	-	-	-	-	-	-	-	-	10,7	8,3	-	-	-	-	-	-	-	-
Sb <sub>2</sub> S <sub>3</sub>	-	-	-	-	-	18	-	-	4,9	-	-	-	-	-	-	-	-	-	-	5,3
As <sub>4</sub> S <sub>4</sub>	-	-	-	-	-	-	8,7	-	-	-	3,6	4,2	-	-	-	-	-	-	-	-
NaHCO <sub>3</sub>	10	12,5	-	-	11,1	-	-	-	-	-	-	-	-	-	-	-	-	-	-	-
Stearin	-	-	12,5	-	-	-	-	-	-	-	-	-	14,3	-	-	-	-	-	-	-
Šelak	-	-	-	15,4	-	-	-	-	-	15,4	-	4,2	-	7,1	10	15	2,8	-	12,5	-
Laktóza	-	-	-	-	22,2	-	-	-	-	-	-	-	-	-	-	-	-	-	-	-
Pryskyřice	-	-	-	-	-	-	-	5,8	7,9	-	-	-	-	-	-	-	-	-	-	-
Barva plamene*	O	Ž	O	O	O	O	B	O	O	O	O	O	O	O	O	O	O	O	Ž	B

\*Legenda – bílý (B), žlutý (Ž), oranžový (O)

### 3. Slože 20. století

#### 3.1. Slože 1. poloviny 20. století

V první světové válce začíná značně narůstat využití pyrotechnických prostředků, zejména těch osvětlovacích, jako opatření proti překvapivým útokům, k signalizaci a značení nepřátelských i přátelských stanovišť. Během první i druhé světové války se neustále měnily a zvyšovaly požadavky na pyrotechnické prostředky, což vedlo k jejich zrychlenému vývoji. Stávající metody výroby byly nahrazeny novými, lepšími a bezpečnějšími metodami [9].

Zvýšením nedostupnosti některých látek (např. laktóza, kalomel, šelak) vedlo ke zjednodušení složení vynecháním těchto látek nebo nahrazením dostupnou alternativou [21].

Kromě malých osvětlovacích prostředků vyžadujících značné přiblížení k osvětlovanému prostoru byly testovány osvětlovací dělostřelecké granáty do ráže 155 mm s velkým dostřelem a letecké osvětlovací prostředky, které nevyžadují takové přiblížení, zajišťují tak větší bezpečnost uživatele a osvětlují mnohem větší prostor [9].

##### 3.1.1. Německé slože

Ve spojenecké příručce o nepřátelské munici byla uvedena slož pro dělostřeleckou munici L3'3 ráže 105 mm (1916). Pro slož nejsou kromě složení uvedeny žádné další informace<sup>3</sup> [22].

Další uvedenou složi pro dělostřeleckou munici je L4'4 ráže 88 mm (1933). Slož je lisována do výlisků s centrální perforací o hmotnosti přibližně 1 kg. Výlisky mají na konci lisovaný zážeh tvořený osvětlovací složi smísenou s černým prachem. Doba hoření je 23 sekund a svítivost 375 000 cd [23]. Složení dělostřeleckých složi využívaných Německem jsou uvedeny v tabulce 4.

**Tabulka 4** – Slože použité v německé dělostřelecké munici ve světových válkách

Suroviny [hm.%]	L3'3 [22]	L4'4 [23]
Ba(NO <sub>3</sub> ) <sub>2</sub>	48,2	47,3
Mg	33,7	33,7
S	14,5	14,9
Tuk	-	2,9
Parafin	3,6	-
Zbytek (nerozp.)	-	1,2

<sup>3</sup> Ze složení složi lze předpokládat podobné vlastnosti jako u složi L4'4.

Kastem (1921) uváděné pyrotechnické slože hořící bílým a žlutým plamenem využívané pro zábavní účely a pro vojenské aplikace jsou uvedeny v tabulce 5. Slože jsou zpracovávány za vlhka, zvlhčené ethanolem a lisovány do papírových, zinkových či hliníkových pouzder [21].

**Tabulka 5** – Kastem popsané slože používané civilním i vojenským sektorem

Suroviny [hm.% ]	1. [21]	2. [21]	3. [21]	4. [21]	5. [21]	6. [21]
Ba(NO <sub>3</sub> ) <sub>2</sub>	64,8	71	63,7	83,6	65	-
KNO <sub>3</sub>	-	-	-	-	-	28,2
Mg	19	23	20,4	2,4	-	42,2
Al	-	-	-	-	19,9	-
S	16,2	-	15,9	-	12,6	-
Na <sub>2</sub> C <sub>2</sub> O <sub>4</sub>	-	-	-	-	-	28,2
Šelak	-	6	-	9,3	-	-
Kalafuna	-	-	-	4,7	-	-
Náhražka šelaku*	-	-	-	-	2,5	1,4

\*Šelak nahrazen jinými, blíže nespecifikovanými organickými pojivy nebo bakelitem

### 3.1.2. Britské slože

Britské armádní slože využívané zároveň i Francií během světových válek nejrůznějším způsobem. Slož 1. nacházela využití v osvětlovacích pumách, slož 2. v osvětlovacích raketách [24], slož 3. a 4. v dělostřeleckých granátech [21]. Složení těchto slož je uvedeno v tabulce 6.

**Tabulka 6** – Slože používané britskou armádou v osvětlovacích prostředcích

Suroviny [hm.%]	1. [24]	2. [24]	3. [21]	4. [21]
Ba(NO <sub>3</sub> ) <sub>2</sub>	38	35,3	66	-
KNO <sub>3</sub>	25,3	-	-	-
NH <sub>4</sub> NO <sub>3</sub>	-	-	-	20
KClO <sub>3</sub>	-	26,5	-	-
Mg	26,7	35,3	30	-
Al	-	-	-	72
Trinitrotoluen	-	-	-	8
Olej	3	3	-	-
Parafin	7	-	-	-
Šelak	-	-	4	-

### 3.1.3. Japonské slože

Osvětlovací slože využívané Japonskem zejména v leteckých osvětlovacích prostředcích. Malé osvětlovací prostředky byly vyhazovány ručně z letadel, pumy vypouštěny ze závěsu letadla. Slože byly zalisovány v kartonových nebo ocelových pouzdrech, opatřeny trhacím zapalovačem nebo zakomponovány do pum s časovacím zapalovačem. Hmotnost osvětlovací slože se v osvětlovacích prostředcích pohybuje od 0,45 kg do 30 kg, doby hoření od 1 do 5 minut. Slože hoří jasným bílým nebo lehce nazelenalým plamenem, jednotlivé složení složí je uvedeno v tabulce 7. Hodnoty svítivosti bohužel nejsou uvedeny. [25].

**Tabulka 7** – Slože používané Japonskem v leteckých osvětlovacích prostředcích

Suroviny [hm.%]*	1. [25]	2. [25]	3. [25]
Ba(NO <sub>3</sub> ) <sub>2</sub>	77	55,5	-
Ba(ClO <sub>3</sub> ) <sub>2</sub>	-	-	75,2
Mg	4,4	18	-
Al	8,8	11	-
S	2,2	-	-
Guma	-	-	24,8
Vosk	-	9,1	-
Parafin	4,5	-	-

\*slože nemají uvedeno kompletní složení na 100 hm.%

### 3.1.4. Americké slože

Následující slože se připravovaly smísením suchých komponentů, následným přidáním pojiva, promícháním a prosetím sítím o hrubosti 1,6 mm. Vzniklá směs se dávkovala do papírových pouzder a ručně pěchovala nebo lisovala [26].

Osvětlovací rakety byly vyráběny s využitím slože 1., 2., 3., hmotnost slože činila přibližně 127,5 g. Slože byly lisovány do papírových pouzder a následně sušeny při teplotě 38°C po dobu tří dnů. Výsledná světlice má dobu hoření 25 sekund a svítivost 12 000 cd [26].

Pro letecké světlice byla využívána slož 6., do papírového pouzdra byla lisována po přibližně 3,175 kg do výsledné váhy slož 12,7 kg, doba hoření slož činila 7 minut a svítivost byla 350 000 cd [26].

Pro puškové granáty byla využívána slož 4., pro bengálské plameny slož 5., pro křídlové světlice slož 7., pro signální pistole slož 8. Složení složí je uvedeno v tabulce 8. [26]

**Tabulka 8** – Americké osvětlovací složky používané v první světové válce

Suroviny [hm.%]	1. [26]	2. [26]	3. [26]	4. [26]	5. [26]	6. [26]	7. [26]	8. [26]	9. [27]	10. [27]	11. [27]
Ba(NO <sub>3</sub> ) <sub>2</sub>	71,4	75,5	58,3	70,6	69,8	76	81	-	77	36	-
Sr(NO <sub>3</sub> ) <sub>2</sub>	-	-	-	-	-	-	-	-	-	6	-
KNO <sub>3</sub>	-	-	-	-	-	-	-	65,9	-	-	-
KClO <sub>3</sub>	-	-	16,7	-	-	-	-	-	-	-	50
Prachovina	-	-	2,1	-	-	-	-	1,1	13	-	-
Al	10,7	-	-	19,6	13	8,1	-	-	-	-	35,7
Al (šupina)	7,2	21,8	22,9	9,8	-	9,9	13,7	-	5	-	-
Mg	-	-	-	-	-	-	-	-	-	54	-
S	10,7	2,7	-	-	16,3	4	5,3	16,5	-	-	14,3
Sb*	-	-	-	-	0,6	-	-	16,5	-	-	-
Stearin	-	-	-	-	0,3	-	-	-	-	-	-
Ricinový olej	-	-	-	-	-	2	-	-	-	4	-
Arabská guma**	dle potřeby	-	-	dle potřeby	-	-	-	dle potřeby	5	-	-
Šelak	-	-	-	-	-	-	dle potřeby	-	-	-	-
Šelak + ethanol 1:2	-	0,81	0,81	-	-	-	-	-	-	-	-

Orig.: \*black antimony, \*\* „gum water“ (předpokládám arabskou gumu rozpuštěnou ve vodě)

Ve velkém množství osvětlovacích prostředků byla použita osvětlovací slož M8A1 (složení viz tabulka 9). Pro osvětlení malých ploch byly využívány světlice M9 (hmotnost složky 0,86 kg, svítivost 60 000 cd, doba hoření 1 min) a světlice M13 (svítivost 40 000 cd, doba hoření 3 min). Pro osvětlování velkých ploch a noční bombardování<sup>4</sup> byly používány světlice M24 (hmotnost složky 20 kg, svítivost 1 000 000 cd, doba hoření 3 min) a světlice M26 (hmotnost složky 24 kg, svítivost 800 000 cd, doba hoření 3 min). V minometných granátech byla využívána slož M83 (hmotnost složky 250 g, svítivost 110 000 cd, doba hoření 25 s) [28].

**Tabulka 9** – Americké osvětlovací složky používané v druhé světové válce

Suroviny [hm.%]	M83 [28]	M8A1 [28]
Ba(NO <sub>3</sub> ) <sub>2</sub>	52,1	33,7
NaNO <sub>3</sub>	10,4	-
Mg	-	30,3
Al	26	15,2
S	4,1	-
Na <sub>2</sub> C <sub>2</sub> O <sub>4</sub>	5,2	18,8
Ricinový olej	1,1	1
Lněný olej	1,1	1

<sup>4</sup> Světlice pro noční bombardování měly mezi světlicí a padákem stínící plátno, nedocházelo tak k oslnění pilotů, ale pouze k osvětlení bombardovaného prostoru [28]

### 3.1.5. Sovětské slože

Tyto osvětlovací slože byly využívány také Francií, slože poskytují velmi silný světelný efekt, více informací nebylo uvedeno [21]. Složení sovětských složí je uvedeno v tabulce 10.

**Tabulka 10** – Slože využívané sovětskou armádou během světových válek

Suroviny [hm.%]	1. [21]	2. [21]	3. [21]	4. [21]
Ba(NO <sub>3</sub> ) <sub>2</sub>	78	70	65	-
KClO <sub>3</sub>	-	-	-	7,5
KNO <sub>3</sub>	-	-	6	-
Al	11	25	25	58
Trinitrotoluen	-	-	-	34,5
Náhražka šelaku	11	5	4	-



## 3.2. Slože 2. poloviny 20. století

V druhé polovině 20. století se matricí slože stává dusičnan sodný s hořčíkem, při vývoji složí se mění zejména pojivové systémy a jednotlivé postupy výroby samotných složí.

### 3.2.1. Osvětlovací slože založené na změně pojivového systému

Matrice těchto složí obsahuje kovový hořčík s dusičnanem sodným. Zásadní změnou je obměna pojivového systému na bázi pryskyřic či úplné odstranění pojivového systému za účelem získání co nejlepších světelných charakteristik slože a zlepšení výrobní technologie.

#### Hart-Eppig-Powersova osvětlovací slož

Osvětlovací slož založená na přidavku 5-40 hm.% plastického pojiva (polyfunkční merkaptany, polyestery nebo dichlorstyren) a příslušného katalyzátoru. Slož je připravena smísením jednotlivých komponent, přidáním katalyzátoru a uplynutí 24-48 hodin vytvrdne za běžné teploty bez nutnosti lisování. Při obsahu pojiva od 10 do 40 hm.% lze slož extrudovat. Při tvrdnutí slož nezměňuje svůj objem. Hoří rovnoměrně, svítivost je velmi podobná lisovaným složím podobného složení bez příměsi plastického pojiva [29]. Složení složí s jednotlivými pojivy je uvedeno v tabulce 11.

**Tabulka 11** – Složení Hart-Eppig-Powersových složí [29]

Suroviny [hm.%]	1.	2.	3.	4.	5.	6.	7.	8.	9.	10.	11.	12.	13.	14.
NaNO <sub>3</sub>	35	35	40	40	60	60	35	65	50	25	35	65	50	25
Mg (práškový)	65	65	60	60	40	40	65	35	50	75	65	35	50	75
Pojivo (merkaptany) [hm.%]														
Polyfunkční merkaptan (Thiokol)	10	20	15	10	20	10	-	-	-	-	-	-	-	-
2-Fenylpropan-2-peroxol (kat.)	1	2	1,5	1	2	1	-	-	-	-	-	-	-	-
Pojivo (polyestery) [hm.%]														
Polyester	-	-	-	-	-	-	10	20	30	40	-	-	-	-
Benzoyl peroxid (kat.)	-	-	-	-	-	-	0,1	0,4	0,4	0,8	-	-	-	-
Pojivo (dichlorstyren) [hm.%]														
Dichlorstyren (monom. + polym.)	-	-	-	-	-	-	-	-	-	-	10	20	30	40
Benzoyl peroxid (kat.)	-	-	-	-	-	-	-	-	-	-	0,5	1	1,5	2
Chlorid cíničitý (kat.)	-	-	-	-	-	-	-	-	-	-	0,5	1	1,5	2

## Rolle-Taborova osvětlovací slož

Osvětlovací slož využívající jako pojivo nenasycené polyesterové pryskyřice v poměru 1:1 s okysličovadlem. Výroba slož začíná přípravou pojiva se stabilizátorem, do kterého je za stálého míchání pomalu dávkováno palivo, následně je odlévána do připravených forem či pouzder. Složení slož je uvedeno v tabulce 12 [30].

Slož vytvrdne při běžné teplotě a okolního tlaku bez vzniku prasklin a trhlin. Doba vytvrzení závisí na velikosti formy, lze ji zkrátit zahřátím na 82°C. Po vytvrzení je odolná vůči vlhkosti a rozmezí teplot, má uniformní hustotu a relativně pomalou rychlost hoření [30].

Pryskyřice A - nenasycená polyesterová pryskyřice, která poskytuje styren jako reaktivní monomer, derivovaný z propylenglykolu, maleinanhydridu a ftalanhydridu. Preferovaný typ Pryskyřice A je komerčně známý pod názvem "Laminac Resin #4128"<sup>5</sup> [30].

Pryskyřice B - nenasycená polyesterová pryskyřice, která poskytuje styren jako reaktivní monomer a je na bázi diethylenglykolu, maleinanhydridu a kyseliny adipové. Preferovaný typ Pryskyřice B je komerčně známý pod názvem "Laminac Resin #4134"<sup>6</sup> [30].

**Tabulka 12** – Rolle-Taborova osvětlovací slož využívající polyesterové pojivo [30]

Suroviny [hm.%]	1.
KClO <sub>4</sub> / NH <sub>4</sub> ClO <sub>4</sub> (44 μm)	66,7
Mg	33,3
Pojivo [hm.%]	
Pryskyřice A	40-70
Pryskyřice B	30-60
Benzylalkohol	1-10
Naftenát kobaltnatý	0-10
Methylethylketonperoxid	0,5-6

<sup>5</sup> Orig: unsaturated polyester resin having styrene as a reactive monomer, and is derived from propylene glycol, maleic anhydride and phthalic anhydride

<sup>6</sup> Orig: unsaturated polyester resin having styrene as a reactive monomer, and is of the flexible type based upon diethylene glycol, maleic anhydride and adipic acid.

## Cadwalladerova osvětlovací slož

Osvětlovací slož založená na pojivu (polymerizovaném trifluorchlorethylenu – Teflex) a palivu (práškový hořčík/hliník). Jednotlivé komponenty jsou rozemlety, smíchány a pečlivě promíchány. Slož zahřáta na 193-215°C a stlačena tlakem 34,47 MPa, při dosažení teploty a tlaku dochází k roztavení Teflexu, jeho smísení s ostatními komponentami a vytvoření jednotné směsi. Teplota nesmí být překročena, neboť by mohlo dojít k rozkladu Teflexu a způsobit tak nebezpečí. Slož je nechána vychladnout v lisovací formě. S hořčíkem vykazuje vyšší svítivost a reaktivitu než s hliníkem, více parametrů však není uvedeno [31]. Složení složí je uvedeno v tabulce 13.

**Tabulka 13** – Složení Cadwalladerových osvětlovacích slož [31]

Suroviny [hm.%]	1.	2.	3.	4.
Mg/Al	40	50	60	70
Trifluorchlorethylen (Teflex)	60	50	40	30

## Doudova osvětlovací slož

Osvětlovací slož založená na pojivu ve formě epoxidové (D.E.R.-732) a polyglykolové pryskyřice (QX-3812) s dlouhým řetězcem. Preferovaný poměr pryskyřic je 38:62 (epoxid:polyglykol).

Kombinace epoxidové a polyglykolové pryskyřice má výhody oproti polyesterovým pojivům – nevyžadují vysoký lisovací tlak, mají nižší rychlost hoření, díky tvrzení při vyšší teplotě je možné pojivo skladovat a nehrozí vytvrzení při manipulaci [32].

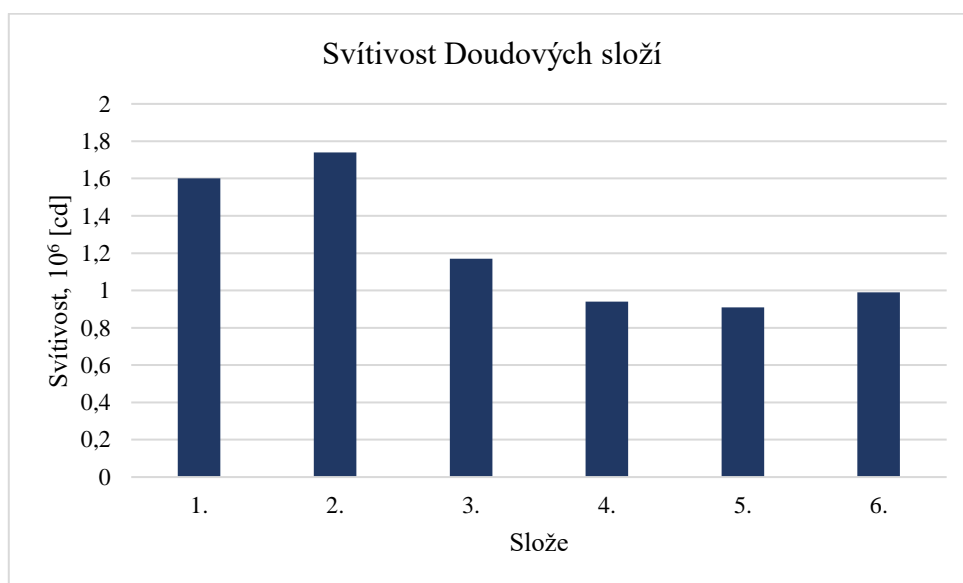
Pojivo je předmícháno zvlášť, poté je přidáno za míchání do paliva, slož je míchána do doby dosažení homogenizace. Slož je dávkována do forem a zalisována pro zpevnění, v případě většího procentuálního obsahu pojiva je slož tekutější a umožňuje odlévání do forem. Vytvrzení probíhá při teplotě 71°C po dobu 24 hodin, zvýšením teploty lze vytvrzení urychlit. Po vytvrzení má tuhou, gumovitou konzistenci [32].

Složení a parametry Doudových složí jsou uvedeny v tabulce 14 a jsou graficky porovnány na obrázku 7. Při porovnání svítivosti je zřetelné, že nejlepších výsledků dosahují slože 1. a 2. obsahující větší procentuální obsah hořčíku.

**Tabulka 14** – Složení a parametry Doudových osvětlovacích složí [32]

Suroviny [hm. %]	1.	2.	3.	4.	5.	6.
Mg (300-600 $\mu\text{m}$ )	62	62	58	60	57	-
Mg (75-150 $\mu\text{m}$ )	-	-	-	-	-	56
NaNO <sub>3</sub> (20 $\mu\text{m}$ )	35	34	37,5	34	37	-
NaNO <sub>3</sub> (150 $\mu\text{m}$ )	-	-	-	-	-	31,2
Polyglykolová pryskyřice (QX-3812)	1,86	2,48	2,79	3,72	3,72	7,94
Epoxidová pryskyřice (D.E.R.-732)	1,14	1,52	1,71	2,28	2,28	4,86
Parametry						
Hmotnost světlice [kg]	6,6	7,3	6,8	6,4	6,6	56,8
Průměr světlice [cm]	10,8	10,8	10,8	10,8	10,8	40,6
Lisovací tlak [MPa]	38,1	58,3	58,3	20,7	36	odlito
Teplota vytvrzování [°C]	70	80	80	80	80	80
Doba vytvrzování [h]	24	72	72	72	72	72
Doba hoření [s]	169	195	267	282	293	242
Rychlost hoření* [g·s <sup>-1</sup> ]	39,2	33	25,4	22,7	22,6	234
Svítivost, 10 <sup>6</sup> [cd]	1,6	1,74	1,17	0,94	0,91	0,99

\*Orig.: burning rate

**Obrázek 7** – Grafické porovnání svítivosti Doudových složí [32]

### Dinsdale-Reed-Meyerova odlévatelná osvětlovací slož

Osvětlovací slož umožňující odlévání, skládající se z hrubé (150  $\mu\text{m}$ ) a jemné (5  $\mu\text{m}$ ) frakce dusičnanu sodného v poměru 1:2, kovového hořčíku sférického tvaru (74-297  $\mu\text{m}$ ) a pojiva skládajícího se z polyesterového tekutého polymeru (WITCO Formrez 17-80) a epoxidové pryskyřice střední viskozity, sloužící zároveň jako vytvrzovací činidlo (ERLA 0510), katalyzátorem reakce je linoleát železa [33].

Dusičnan sodný je v případě potřeby namlet a proset. Slož se připravuje mícháním v suché, inertní atmosféře pro zabránění vlhkosti. Následně je smíchána hrubá a jemná frakce dusičnanu s pojivem a hořčíkem, směs je míchána asi 20-30 min při 50°C, poté je odlita do pouzder, upěchována a nechána vytvrdnout při teplotě 55-60°C po dobu 48-72 hodin. Pracovní čas je 8-24 hodin při 15-37°C. Rychlost hoření slož je 2,2-2,3  $\text{mm}\cdot\text{s}^{-1}$  a světelná účinnost 50 000  $\text{cd}\cdot\text{s}\cdot\text{g}^{-1}$  [33]. Složení slož je uvedeno v tabulce 15.

**Tabulka 15** – Složení Dinsdale-Reed-Meyerovy odlévatelné slož [33]

Suroviny [hm.%]	1.
$\text{NaNO}_3$ (150 $\mu\text{m}$ )	9,996
$\text{NaNO}_3$ (5 $\mu\text{m}$ )	19,991
Mg (granulovaný)	61,084
WITCO Formrez 17-80	7,404
ERLA 0510	1,518
Linoleát železa (katalyzátor)	0,007

## **Bash-Lane-Smithova odlévatelná osvětlovací slož**

Charles W. Bash navrhnul slož skládající se z dusičnanu sodného (35  $\mu\text{m}$ ), hořčíku (400  $\mu\text{m}$ ) a zesíťované epoxidové pryskyřice s chloristanovou nebo dusičnanovou solí aminem zakončeného polyglykolu<sup>7</sup>. Slož je možné vytvrdit v rozmezí teplot 20-100°C po dobu 5-48 hodin, nejlépe však při 70°C po dobu 24 hodin. Vytvrzená slož má dobrou pevnost a pružnost, s rostoucím obsahem pojiva klesá její svítivost [34].

Na vývoj této slož navázal George A. Lane neboť při obsahu pojiva nad 12 hm.% svítivost značně klesá. Při snížení obsahu pojiva svítivost stoupá, slož ovšem ztrácí odlévatelnost a musí být do formy zhutněna vibracemi, stlačením nebo zalisováním. Lane inovuje slož snížením hustoty slož a změnou charakteristik surovin [35].

Okysličovadlo tvoří dusičnan sodný, palivo hořčík sférického tvaru pro zlepšení vlastností nevytvrzené směsi, pojivo tvoří 18-24 hm.% slož a skládá se z aminem, nebo anhydridem vytvrditelné epoxidové pryskyřice<sup>8</sup>, jejíž obsah tvoří 30-70 hm.% pojiva, zbytek tvoří aminem zakončené sloučeniny<sup>9</sup> [35]. Epoxidovými pryskyřicemi jsou glycerin diglycidyl ether (GDGE) a glycerin glycidyl ether (GDGE 2/3), vytvrzení pomocí dusičnanové nebo chloristanové soli aminem ukončeného polypropylen oxidu (APO) [34]. Slož je připravena smísením a zhomogenizováním jednotlivých komponent, odlitím do forem a vytvrzením při teplotě 60-70°C po dobu 4 hodin [35].

Složení a parametry slož jsou uvedeny v tabulce 16 a graficky porovnány na obrázku 8. Z porovnání je viditelné, že nejlepších výsledků dosahuje slož 3. s maleinanhydridem jako tvrdidlem pojiva, který zvyšuje obsah kyslíku ve složi [35].

---

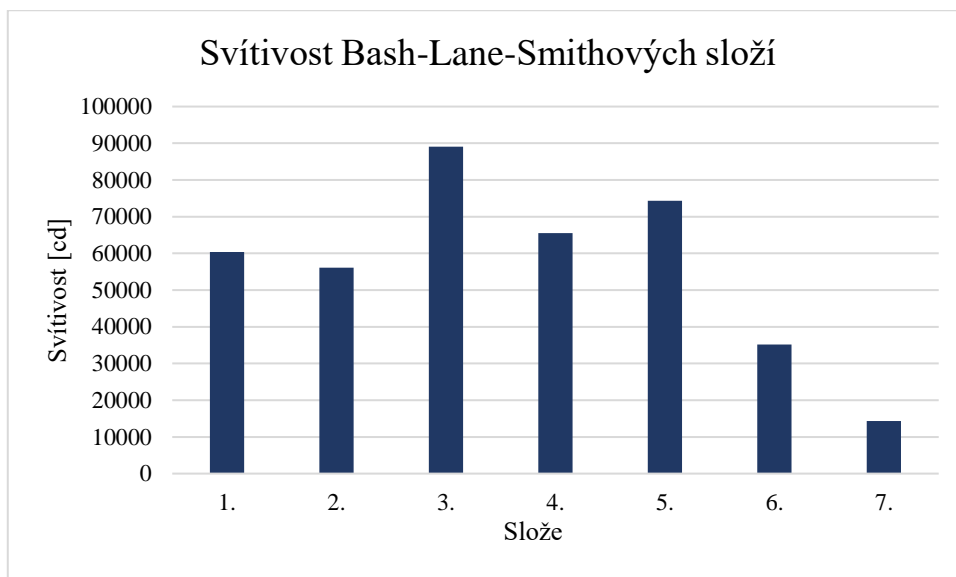
<sup>7</sup>Orig: Epoxy based resin with a perchlorate or nitrate salt of an amine terminated polyglycol

<sup>8</sup>Orig: amine or acid anhydride curable epoxy resin

<sup>9</sup>Orig: amine terminated polyalkylene oxide; alkylene polyamine; alkyl, aryl or mixed alkyl-aryl amine or acid anhydride.

**Tabulka 16** – Složení a parametry Bash-Lane-Smithových osvětlovacích složí [34; 35]

Suroviny [hm.%]	1.	2.	3.	4.	5.	6.	7.
NaNO <sub>3</sub> (74 μm)	34	34	34	-	-	-	-
NaNO <sub>3</sub> (30 μm)	-	-	-	34	34	44,5	44,5
Mg (105-350 μm)	48	48	48	-	-	-	-
Mg (125-200 μm)	-	-	-	48	48	31,5	31,5
GDGE	11,3	10,3	12	-	10,27	15,01	-
GDGE 2/3	-	-	-	10,97	-	-	14,87
APO - chloristan	6,7	-	-	7,03	-	8,99	-
APO - dusičnan	-	7,7	-	-	7,73	-	9,13
Maleinanhydrid	-	-	6	-	-	-	-
Parametry							
Světelná účinnost [cd·g·s <sup>-1</sup> ]	37 500	40 600	33 600	39 350	40 150	23 500	10 600
Svítivost [cd]	60 400	56 100	89 100	65 550	74 300	35 200	14 300

**Obrázek 8** – Grafické porovnání svítivosti Bash-Lane-Smithových složí [34; 35]

## Dillehay-Krackenberger-Havronova osvětlovací slož

Autoři navrhli výrobní způsob, při kterém jsou všechny komponenty slož v sypkém stavu, je možné slož vyrábět kontinuálně a předchází se tak rizikům vznikajícím při diskontinuálním režimu výroby složi s plastickými pojivy v tekutém stavu ve velkých dávkách, což vytváří rizika pro obsluhu a jsou nutná náročnější bezpečnostní opatření. Další nevýhodou jsou nerovnoměrnosti, které vznikají jednotlivými výrobními kroky, které mohou nakonec vyústit v rozdílné parametry výrobků v jedné dávce. [36].

Palivo a okysličovadlo je v suchém, sypkém stavu smícháno se zakapslovaným<sup>10</sup> pojivem a tvrdidlem. Komponenty lze dávkovat jednotlivě do míchacího systému, který zamícháním vytvoří homogenní sypkou směs a nadávkuje ji do jednotlivých pouzder. Posledním krokem je zalisování a rozdrcení kapslí s následnou aktivací pojiva a jeho vytvrzením. Do každého pouzdra je nadávkováno stejné množství slož, zalisováno stejným tlakem za stejných podmínek. Tento postup minimalizuje počet operací, při kterých by mohly vzniknout nerovnoměrnosti. Klesají také bezpečnostní rizika, neboť neskladujeme na jednom místě velká množství smíchané slož [36].

Kapsle A obsahují oligomer epoxidové pryskyřice bisfenol A - diglycidyl ether (Epon 828) a 12 hm.% benzoylperoxidu (tvrdidlo) [36].

Kapsle B obsahují nenasycenou polyesterovou pryskyřici (Aropal 72-40-MC), 5 hm.% oxidu titaničitého (plnivo) a 5 hm.% *N-N*-dimethyl-*p*-toluidinu (katalyzátor) [36].

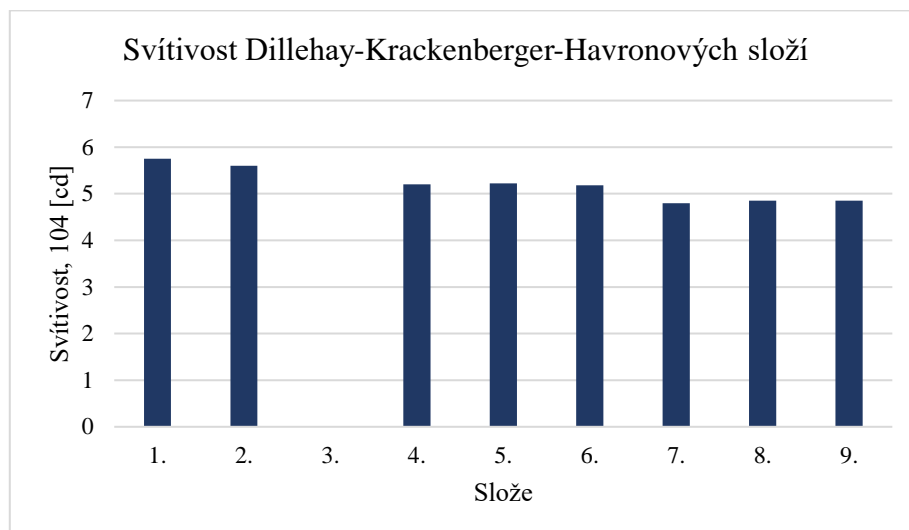
Komponenty slož byly nadávkovány do papírových pouzder o průměru 30 mm a délce 63,5 mm, zalisovány tlakem 34,7 MPa a byla provedena měření výkonnosti složi, složení složi a výsledky měření jsou uvedeny v tabulce 17 a graficky porovnány na obrázku 9 [36].

**Tabulka 17** – Složení a parametry Dillehay-Krackenberger-Havronových osvětlovacích složi [36]

Suroviny [hm.%]	1.	2.	3.	4.	5.	6.	7.	8.	9.
NaNO <sub>3</sub>	49	44	39	47	42	37	45	40	35
Mg (granulovaný, 74-297 μm)	45	50	55	45	50	55	45	50	55
Kapsle A	2	2	2	3	3	3	4	4	4
Kapsle B	4	4	4	5	5	5	6	6	6
Parametry									
Doba hoření [s]	31	21	-	30	23	21	30	23	26
Svítivost, 10 <sup>5</sup> [cd]	1,4	2	-	1,3	1,7	1,85	1,2	1,3	1,4
Světelná účinnost, 10 <sup>4</sup> [cd·s·g <sup>-1</sup> ]	5,75	5,6	-	5,2	5,22	5,18	4,8	4,85	4,85

<sup>10</sup> Možné způsoby přípravy kapslí uvádí patenty US 3 041 289, US 2 969 331, US 2 800 458





**Obrázek 9** – Grafické porovnání svítivosti Dillehay-Krackenberger-Havronových složí [36]

### Tepperova / Hiltzova /Kruseova osvětlovací slož

Tepper i Hiltz navrhli téměř stejný postup výroby odlévatelné slože, liší se však v zásadním parametru – teplotě výroby slože. Kruse slož vyrábí stejným postupem, ovšem slož neodlévá, ale taví přímo v pouzdře.

Osvětlovací slož neobsahující pojivo, mající vysokou svítivost, skládající se z práškového kovu rozptýleném ve ztuhlé směsi dusičnanů nebo dusitanů alkalických kovů nebo kovů alkalických zemin. Jsou využívána eutektika<sup>11</sup> solí, neboť mají nižší teplotu tání. Odlévání je mnohem technologicky jednodušší než lisování, poskytuje větší jednotnost, rovnoměrnost hoření a konstantní svítivost [5].

Tepper jako okysličovadla volí dusičnany nebo chlorečnany. Je možné využít je samostatně, je však preferováno využití jejich směsi s teplotou tání nepřesahující 250°C. Palivem je práškový kov s velikostí částic nad 10-53 μm. Slož připravuje smísením 52 hm.% dusičnanu draselného, 17 hm.% dusičnanu sodného a 31 hm.% dusičnanu lithného a zahřátím v kelímku na 200°C, teplota je po roztavení udržována na 150°C. Následně přidává kovový hořčík v hmotnostním poměru 1:3 (kov:dusičnany) a směs míchá. Slož odlévá do nerezových pouzder a nechává zatuhnout při běžné teplotě. Při testu slož generovala bílé zářivé jiskry. Tepper testoval více podobných složí, lišící se směsí dusičnanů a kovových paliv, veškeré slože

<sup>11</sup> Tuhá směs dvou nebo více látek, jejichž krystaly se vytvářely při tuhnutí společně.

generují jiskry, nejsou uvedeny větší podrobnosti o jejich vlastnostech. Uvádí, že jsou složky vhodné pro trasovací střely i osvětlovací prostředky [6].

Hiltz slož připravuje předehráním směsi dusičnanů na 150°C pro odpaření vlhkosti, následným zahřátím na 300°C a roztavením. Přidává práškový hořčík v poměru 1,25-1,5:1 (kov:dusičnany) a směs míchá. Odlévatelná kaši dává do hliníkových pouzder a nechává zatuhnout chladnutím [5].

Slož hoří jasným, rovnoměrným plamenem a poskytuje stabilní, vysoce intenzivní osvětlení. Zpomalit hoření slož lze také přidáním fluoridu lithného na úkor snížení jasnosti plamene. Fluorid lithný lze přidávat až do 10 hm.% obsahu, čím větší je jeho obsah, tím více zpomaluje rychlost hoření, toho lze využít tam, kde je možné obětovat jasnost plamene za prodloužení doby hoření světlice [5]. Složení a parametry slož jsou uvedeny v tabulce 18.

**Tabulka 18** – Složení a parametry Hiltzových odlévatelných osvětlovacích slož [5]

Suroviny [hm.%]	1.	2.	3.
Ca(NO <sub>3</sub> ) <sub>2</sub>	15	-	10
NaNO <sub>3</sub>	85	80	75
LiNO <sub>3</sub>	-	-	15
NaNO <sub>2</sub>	-	20	-
Mg (práškový, 210 μm)	130	155	150
Parametry			
Hmotnost světlice [g]	350	350	325
Doba hoření [s]	35	25	45
Svítivost, 10 <sup>5</sup> [cd]	2,5	3,75	2,8

Kruse slož připravuje smísením suchého kovového paliva (hořčíku, hliníku nebo jejich slitiny) se směsí dusičnanů (lze použít dusičnan lithný, sodný, draselný, vápenatý, hořečnatý). Následuje promíchání v mísiči, plnění do pouzder a následné zahřátím s mírným zalisováním (tlakem 0,69 MPa), kdy dojde k roztavení směsi solí a spojení celé směsi. Složení slož a jejich parametry jsou uvedeny v tabulce 19 [37].

**Tabulka 19** – Složení a parametry Kruseových osvětlovacích slož [37]

Suroviny [hm.%]	1.	2.	3.	4.	5.	6
LiNO <sub>3</sub>	23,5	-	-	-	-	-
NaNO <sub>3</sub>	16,3	49	49	49	49	49
KNO <sub>3</sub>	60,2	-	-	-	-	-
Ca(NO <sub>3</sub> ) <sub>2</sub>	-	-	-	-	5	5
Mg(NO <sub>3</sub> ) <sub>2</sub>	-	51	51	51	45,4	45,4
Al [μm]	5	-	-	-	-	-
Mg [μm]	-	150-300	300-600	300-600	150-300	300-600
Poměr kov:okysličovadlo	50:50	65:35	70:30	65:35	65:35	65:35
Parametry						
Hmotnost světlice [g]	40	20	35	30	105	105
Materiál pouzdra	-	micarta*	micarta*	micarta*	hliník	hliník
Teplota tavení (teor.) [°C]	120	135	135	135	130	130
Teplota ohřevu [°C]	135-145	150-160	150-160	150-160	150-160	150-160
Doba ohřevu [min]	25	30-35	30-35	30-35	-	-
Doba hoření [s]	-	11,9	23	11,9	22,6	35,6
Svítivost, 10 <sup>4</sup> [cd]	-	8,98	2,9	8,98	15,3	9,19
Sv. účinnost, 10 <sup>4</sup> [cd·s·g <sup>-1</sup> ]	-	3,12	1,9	3,12	3,29	3,22

\*kompozit lnu, plátna, papíru, skleněného vlákna, uhlíkových vláken nebo jiné tkaniny

v termosetovém plastu

### 3.2.2. Slože obsahující energetické látky

Následující slože mají opět matici skládající se z hořčíku a dusičnanu sodného s přídavkem energetické látky obsahující dusík nebo kyslík, která ve složi zastává roli pojiva nebo modifikátoru hoření a zlepšuje světelné charakteristiky slože. Přídavek těchto látek do určité míry eliminuje nežádoucí vlastnosti pojiv či snižuje potřebné množství kovového paliva a snižuje tak výrobní cenu slože.

#### Swotinsky-Newman-Colittiho osvětlovací slož

Pojivo zajišťuje pevnost slože a při sestavování složení je vybíráno pojivo splňující požadované parametry pevnosti. Při výběru pojiva je učiněn kompromis mezi pevností a svítivostí, neboť některá plastická pojiva svítivost snižují. Zvolením energetického pojiva plastisolového typu se světelné parametry naopak zvyšují, neboť je samo vysoce hořlavé [38].

Slož je tvořena plastisolovým pojivem nitrocelulózového typu plastifikované nitroestery. Bylo zjištěno, že je možné vyrábět slože s hmotnostním podílem 65 hm.% oksylichovadla a paliva při použití energetického pojiva [38].

Kapalná směs pojiva je vysušena probubláváním vzduchem po dobu 72 hodin. Veškeré pevné komponenty jsou vysušeny na 60°C po dobu 24 hodin. Smíchání komponent probíhá pod vakuem za stálého míchání po dobu 30 min, je přidán kovový hořčík a míchán 15 min, dusičnan sodný je přidáván po částech (v časových intervalech 20-30 min). Teplota je poté zvýšena na 40°C a směs míchána 1 hodinu, po 45 minutách je do směsi přidán toluen-diisokyanát. Směs byla pod vakuem odlita do pouzder, vytvrzena za teploty 60°C po dobu 3-5 dnů [38]. Složení a parametry slože jsou uvedeny v tabulkách 20, 21.

**Tabulka 20** – Složení Swotinsky-Newman-Colittiho osvětlovací slože [38]

Suroviny [hm.%]	1.
NaNO <sub>3</sub>	26
Mg	39
Nitrocelulóza (12,6 % dusíku)	6,82
Nitroglycerin	0,1
Triethylenglykol dinitrát	18,09
1,2,4-Butantriol trinitrát	9,46
2-Nitrodifenylamin	0,28
Toluen-diisokyanát	0,25

**Tabulka 21** – Parametry Swotinsky-Newman-Colittiho osvětlovací slože [38]

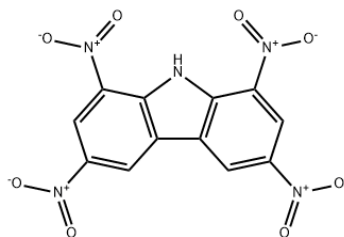
Parametry	Standard	1.	2.
Materiál pouzdra	karton	karton	plast
Počet testů	5	5	13
Hmotnost světlice[g]	150	209,1	204,8
Výška světlice [cm]	9,7	15	14,7
Svítivost, 10 <sup>3</sup> [cd]	91,3	41	114,9
Doba hoření [s]	50,2	151	74,7
Rychlost hoření* [cm·s <sup>-1</sup> ]	0,19	0,1	0,198
Světelná účinnost [cd·s·g <sup>-1</sup> ]	30,8	29,1	41,4

Orig.: \*burning rate

### Dillehayova osvětlovací slož

Cíl Dillehayovy úpravy osvětlovací slože spočívá v ovlivnění rychlosti hoření přidáním modifikátoru hoření – tetranitrokarbazolu (strukturní vzorec zobrazen na obrázku 10) v množství 0,5-2 hm.%. Přidání tetranitrokarbazolu umožňuje dosažení potřebné svítivosti s menším obsahem kovového paliva ve složi [39].

Slož se skládá z dusičnanu sodného, kovového hořčíku, kapalného polymerního pojiva a tetranitrokarbazolu. Preferované pojivo je kapalný polymer, který vytvrdne na pevný elastomer. Testovaným pojivem byl tekutý polymer Lp-33 a epoxidové tvrdidlo bisfenol A – diglycidyl ether. Použitý tetranitrokarbazol je pod obchodním názvem známý jako PAPD 639 (obsahující zejména 1,3,6,8-izomer a 10 % 1,2,6,8-izomeru) [39].

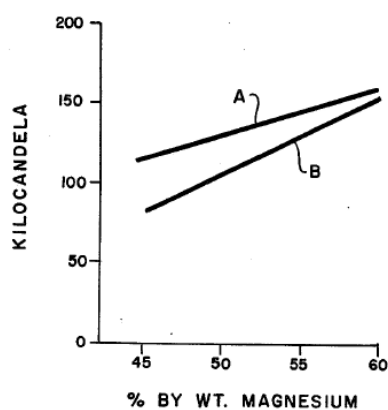


**Obrázek 10** – Strukturní vzorec 1,3,6,8-tetranitrokarbazolu

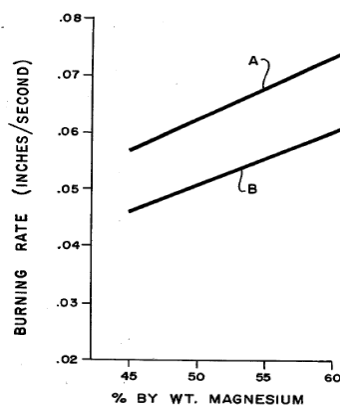
Parametry slože s obsahem 1 hm.% tetranitrokarbazolu (křivka A) byla testována oproti složi s nulovým obsahem tetranitrokarbazolu (křivka B). Složení a parametry složí jsou uvedeny v tabulce 22, grafické porovnání výsledků měření se nachází v grafech na obrázcích 11 a 12. Z grafů je možné vyčíst, že slože s obsahem tetranitrokarbazolu mají vyšší svítivost i rychlost hoření při nižším obsahu hořčíku, s rostoucím obsahem hořčíku začíná být svítivost slože podobná složi bez tetranitrokarbazolu [39].

**Tabulka 22** – Složení a parametry Dillehayových osvětlovacích složí [39]

Suroviny	1.	2.	3.	4.
NaNO <sub>3</sub>	48	43	38	33
Mg (granulovaný, 350-450 µm)	45	50	55	60
Tetranitrokazbazol	1	1	1	1
Pojivo				
Bisfenol-A diglycidyl ether	50	50	50	50
Lp-33	45	45	45	45
(Dimethylaminomethyl)fenol	5	5	5	5
Parametry				
Rychlost hoření [mm·s <sup>-1</sup> ]	1,5	1,5	1,7	1,9
Svítivost, 10 <sup>5</sup> [cd]	1,06	1,17	1,35	1,47
Světelná účinnost, 10 <sup>4</sup> [cd·s·g <sup>-1</sup> ]	4,84	5,46	5,61	5,65



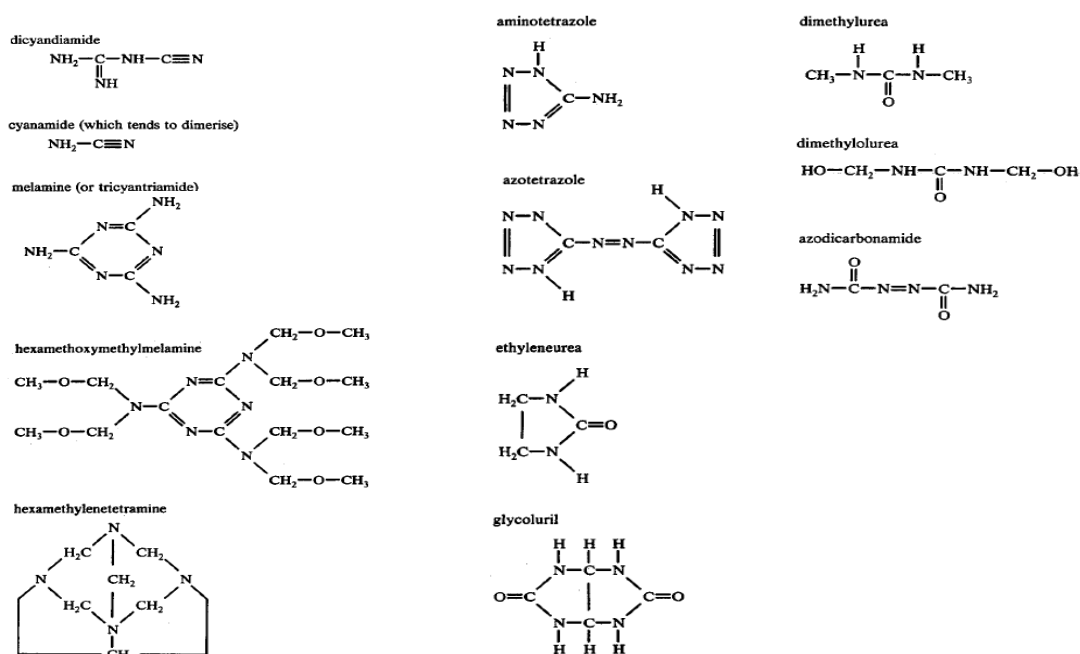
**Obrázek 11** – Grafické znázornění závislosti svítivosti na hm.% hořčíku [39]



**Obrázek 12** – Grafické znázornění závislosti rychlosti hoření na hm.% hořčíku [39]

## Bernardyova osvětlovací slož

Pyrotechnická osvětlovací slož s dusičnanem sodným založená na obsahu 3-20 hm.% nitrocelulózy sloužící jako energetické pojivo, jedné nebo více netěkavých organických hořlavých látek obsahujících uhlík a dusík v obsahu 12-60 hm.% (samostatně použitelné látky – poskytující exotermní reakci hoření a látky použitelné ve směsi – poskytují endotermní reakci hoření zobrazuje obrázek 13) jako modifikátoru hoření, a kovovém paliva [40]. Jediné testované složení slož s dusičnanem sodným je uvedeno v tabulce 23, v patentu bylo testováno více poměrů s dusičnanem barnatým a strontnatým, včetně využití kovového paliva. Tyto poměry je teoreticky možné použít s využitím dusičnanu sodného [40].



**Obrázek 13** – Organické látky použitelné samostatně (vlevo) a ve směsi (vpravo) [40]

Testovaný vzorek slož byl extrudován do válečků o průměru 8 mm, usušen a následně testován. Slož hoří žlutým plamenem, rychlost hoření byla změřena na  $0,83 \text{ mm} \cdot \text{s}^{-1}$  [40].

**Tabulka 23** – Složení Bernardyovy osvětlovací slož [40]

Suroviny [hm.%]	1.
$\text{NaNO}_3$	50
Dikyandiamid	40
Nitrocelulóza	10

### **Medyakin-Kostochko-Kukarnikova osvětlovací slož**

Osvětlovací slož založená na obsahu 35-50 hm.% koloxylinu (nitrocelulóza s nižším obsahem dusíku), 21-36 hm.% nitroglycerinu a/nebo směs diethylenglykol dinitrátu s dinitrotoluenem (v poměru od 18:1 do 6:1), 0,5-1,5 hm.% sym-diethyldifenylylkarbamidu, 0,5-1,5 hm.% vazelíny, 15-20 hm.% Mg-Al slitiny a 4-12 hm.% kryolitu. Slož je připravena v souladu s balistickou technologií<sup>12</sup> a lisována. Ke složi je uvedena svítivost 3800-6900 cd, sytost plamene 91-96 % a nízká kouřivost, nejsou však blíže specifikovány parametry testovaného tělesa [41].

### **3.2.3. Slož se specifickou funkcí - Lopatin-Hartova osvětlovací slož**

Stávající osvětlovací slože ve velkých výškách (nad 30 km) vydávají okolo 1 % jejich svítivosti, kterou vydávají na úrovni moře. Započala tak snaha o vyvinutí slože, která bude mít dostatečnou svítivost i ve velkých výškách [42].

Slož se skládá z práškového vápníku ve směsi s chloristanem draselným. Při přípravě složí je důležitá velikost zrn jednotlivých komponent (vápník 25  $\mu\text{m}$ , chloristan draselný 25-150  $\mu\text{m}$ ). Komponenty byly 30 minut míchány v suché atmosféře za běžné teploty a tlaku v gumové nádobě. Následně byla slož proseta sítem velikosti 1200  $\mu\text{m}$ . Slož samotnou lze nabíjet a zalisovat do pouzdra či přidat pojivo pro zvýšení pevnosti slože (nitrocelulóзовý lak, vinyl-acetátové, polyesterové nebo epoxidové pryskyřice) [42].

Kovový vápník je možné nahradit slitinami Ca-Mg/Ca-Al, lze využít i soli vápníku. Vápník hraje ve složi klíčovou roli, neboť se ve velkých výškách při hoření oxiduje na oxid vápenatý, který emituje velmi intenzivní světlo a má tak zvýšenou svítivost. Chloristan draselný lze nahradit jinými chloristany či dusičnany [42].

Složení a parametry složí jsou uvedeny v tabulce 24 a graficky porovnány na obrázku 14. Z grafického porovnání výkonu je zřejmé, že s rostoucím obsahem vápníku ve složi její svítivost ve větších výškách roste [31].

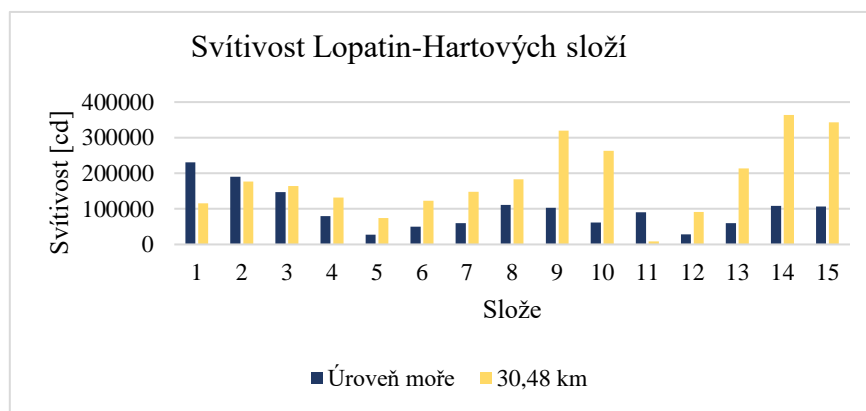
---

<sup>12</sup> Blíže neupřesněno jakou balistickou technologií



**Tabulka 24** – Složení a parametry Lopatin-Hartových osvětlovacích složí pro velké výšky [42]

Suroviny [hm.%]	1.	2.	3.	4.	5.	6.	7.	8.	9.	10.	11.	12.	13.	14.	15.	
KClO <sub>4</sub>	30	30	30	30	60	46,5	42	35	20	10	59	-	-	20	10	
NaClO <sub>4</sub>	-	-	-	-	-	-	-	-	-	-	-	-	40	-	-	
NaNO <sub>3</sub>	-	-	-	-	-	-	-	-	-	-	-	-	-	-	10	
Ba(NO <sub>3</sub> ) <sub>2</sub>	30	30	30	30	-	-	-	-	-	-	-	57	-	-	-	
Ca	-	10	20	30	40	53,5	58	65	80	90	-	43	60	80	80	
Al	40	30	20	10	-	-	-	-	-	-	-	-	-	-	-	
Mg	-	-	-	-	-	-	-	-	-	-	41	-	-	-	-	
Parametry																
Hmotnost slože [g]	30	25	22	20	17	14	14	15	12	-	25	20	-	-	-	
Svítivost (úroveň moře), 10 <sup>5</sup> [cd]	2,3	1,9	1,5	0,8	0,3	0,5	0,6	1,1	1	0,6	0,9	0,3	0,6	1,1	1,1	
Svítivost (nad 30 km), 10 <sup>5</sup> [cd]	1,2	1,8	1,6	1,3	0,7	1,2	1,5	1,8	3,2	2,6	0,1	0,9	2,1	3,6	3,4	



**Obrázek 14** – Grafické porovnání svítivosti Lopatin-Hartových složí [42]

### 3.2.4. Slože emitující infračervené záření

Osvětlovací slože založené na emisi infračerveného záření vyvinuté pro zlepšení funkce zařízení pro noční vidění. Matrice těchto složi se skládá často ze směsi dusičnanu draselného, rubidného, cesného nebo amonného, které emitují světlo v infračervené oblasti a kovového paliva ve formě křemíku s borem. Tyto slože obsahují kromě pojiva další modifikátory, které slouží zejména ke snížení emise viditelného světla.

#### Lokhampova „near IR“ osvětlovací slož

Osvětlovací slož, která při hoření emituje infračervené záření v oblasti 740-1200 nm s malou emisí viditelného světla. Emitované záření lze využít pro ozáření cíle pro zlepšení dosahu a rozlišení zařízení pro noční vidění [43].

Pro maximální emisi v oblasti 760 nm je použit dusičnan draselný, pro emisi v oblasti 770-800 nm dusičnan rubidný a pro emisi v oblasti 850-1200 nm dusičnan cesný. Křemík slouží jako kovové palivo s nízkou emisí záření ve viditelném spektru. Urotropin slouží jako regulátor rychlosti hoření [43].

Složení složi je uvedeno v tabulce 25. Slož je lisována do obalu tlakem 27,6 – 69 MPa. Další světelné charakteristiky nejsou autory uvedeny [43].

**Tabulka 25** – Složení Lokhampových „near infrared“ osvětlovacích složi [43]

Suroviny [hm.%]	1.	2.	3.
KNO <sub>3</sub>	70	-	-
RbNO <sub>3</sub>	-	60,8	-
CsNO <sub>3</sub>	-	-	78,7
Si	10	10	16,3
Urotropin	16	23,2	-
Epoxidová pryskyřice (D.E.R. 321)	2,8	4,2	3,3
Epoxidové tvrdidlo (D.E.H. 14)	1,2	1,8	1,7

## Nielsonova IR osvětlovací slož

Inovace osvětlovací slože emitující infračervené záření využívající jako oksylichovadlo dusičnan draselný, dusičnan cesný nebo jejich směs. Jako paliva a pojiva jsou zvoleny látky, které nehrudkovatí slož, při hoření netvoří saze a emitují co nejmenší množství viditelného světla. Vhodnými pojivy jsou polymery s krátkým řetězcem (1-6 uhlíků), např. polyestery, polyethery, polyamidy a polyaminy. Specifickým příkladem pojiva je například polyesterová pryskyřice Witco Formrez 17-80 v kombinaci s epoxidovou pryskyřicí ERLA 0510 s katalyzátorem ve formě linoleátu železa [44].

Paliva tvoří látky obsahující dusík a kyslík, hořící bez tvorby sazí a s co nejmenší emisí viditelného světla. Využitelnými látkami jsou například dikyandiamid, kyanonitramid, dikyanamid, močovina, guanidin, azodikarbonamid a látky jim podobné. Bor s křemíkem slouží ve složi jako zdroj tepla a regulátor rychlosti hoření. Složení a parametry testovaných složí jsou uvedeny v tabulce 26 [44].

Rychlost hoření testovaných dosahovala od 0,76-3,81 mm·s<sup>-1</sup>, nejvhodnější rychlost hoření je 1,52 mm·s<sup>-1</sup>. Poměr emise IR/VIS by měl být minimálně 3,5, nejlépe nad 6 [44].

**Tabulka 26** – Složení a parametry Nielsonových infrared osvětlovacích složí [44]

Suroviny [hm.%]	1.	2.	3.	4.	5.	6.
KNO <sub>3</sub>	70	70	64	50	-	35
CsNO <sub>3</sub>	-	-	-	10	80	45
Dikyanimidazol draselný*	15	-	15	-	-	-
4,5-Dikyanoimidazol**	-	15	-	-	-	-
Si	7	7	15	14	20	10
B	2	2	-	4	-	4
Witco premix***	6	6	6	6	6	-
Melamin	-	-	-	16	-	-
Polypropylenglykol	-	-	-	-	-	6
Parametry						
Váha světlice [g]	3	3	3	2268	3	-
Doba hoření [s]	8,57	13,13	12,76	159,6	4,5	185
Rychlost hoření [cm·s <sup>-1</sup> ]	0,145	0,102	0,099	0,196	0,203	0,173
Průměr IR [mV]	701,57	560,2	467,03	2352	2600	1590
Průměr VIS [mV]	94,02	73,03	64	346,1	260	263
IR/VIS	7,47	7,67	7,28	6,79	10	6,1

Orig.: \*potassium dicyanoimidazole,\*\*4,5-dicyanoimidazole,\*\*\*WITCO 17-80 tekutý polyester (Triethylenglykol sukcinát) s adekvátním množstvím tvrdidla

## Dillehay-Turnerova IR osvětlovací slož

Některé osvětlovací složky pro infračervenou oblast záření obsahují jako palivo dusičnan draselný, který při hoření emituje záření ve viditelné oblasti a snižuje tak index utajení<sup>13</sup> [45].

Inovovaná osvětlovací složka emitující infračervené záření v rozmezí 700-900 nm, využívající jako okysličovadlo místo dusičnanu draselného dusičnan amonný, který poskytuje vodík jako palivo a dusík, který neemituje žádné záření a neovlivňuje tak index utajení. Dochází tak ke snížení emise viditelného záření minimálně dvěma mechanismy – eliminací emise draslíku ve viditelném spektru a eliminací produkce těkavých kovových produktů spalování, které snižují teplotu hoření a zvyšují emisi viditelného světla [45].

Jako palivo mohou být využity kovové nebo organické látky, je ale nutné pohlížet na množství vyzařovaného viditelného světla. Autoři využívají jako paliva melamin, který prodlužuje stálost a dobu trvanlivosti složky a urotropin, je však možné použít jiné dusíkaté organické látky jako například kyselinu močovou, guanin, guanidin nebo adenin. Z kovových paliv autoři využívají hydrid zirkoničitý, který snižuje citlivost na elektrostatický náboj, dále lze využít bór, křemík, wolfram nebo jejich směs [45].

Jako pojiva jsou využity polyesterové pryskyřice Witco Formrez 17-80 a epoxidové pryskyřice ERLA 0510, je využita i vinyl alkohol-acetátová pryskyřice, která nemá omezenou dobu zpracovatelnosti a lze ji lisovat. Testované složení složky je uvedeno v tabulce 27 [45].

**Tabulka 27** – Složení Dillehay-Turnerových infrared osvětlovacích složek [45]

Suroviny [hm.%]	1.	2.	3.	4.
NH <sub>4</sub> NO <sub>3</sub>	59	59	59	59
CsNO <sub>3</sub>	10	10	10	10
Fe <sub>3</sub> O <sub>4</sub> *	1	1	1	1
Witco Formrez 17-80	5	-	5	5
ERLA 0510	1	-	1	1
VAAR	-	6	-	-
Si	7	7	7	7
Urotropin	15	15	-	15
Melamin	-	-	15	-
B	2	2	2	-
ZrH <sub>4</sub>	-	-	-	2

Orig: \*iron oxide

<sup>13</sup> Orig.: concealment index – poměr infračerveného záření ku viditelnému záření vyzařovaného světlicí

## 4. Slože 21. století

### 4.1. Moderní slože

S počátkem 21. století a narůstajícím vlivem ekologie na veškerá odvětví průmyslu přizpůsobuje i pyrotechnika. Je tak snaha vyvinout osvětlovací slože bez použití toxických látek a co nejšetrnějším přístupem k životnímu prostředí.

Klíčový systém dusičnan sodný/hořčík zůstává nezměněn. Chloristany využívané jako okysličovadla jsou regulovány z důvodu toxicity produktů jejich hoření a toxicity reziduí složí v přírodě, které se dostávají do podzemní vody [46].

Mění se i pojivové systémy. Využívaný systém Laminac 4116/Lupersol DDM je značně nevýhodný. Laminac 4116 je acetonový roztok polyesterové pryskyřice se styrenovým monomerem, při výrobě složí se z něj uvolňují acetonové výpary, styren byl charakterizován jako toxický a navíc byl Laminac 4116 vyráběn pouze jedním výrobcem, při výpadku výroby by tak byl zcela nedostupný. Lupersol DDM je roztok methylethylketonperoxidu a dimethylftalátu, který byl také označen jako toxický [47].

#### 4.1.1. Vývoj složí nahrazující chloristany

Slože spočívající zejména v nahrazení chloristanů jinými okysličovadly, které neovlivňují nebo zvyšují světelné charakteristiky složí.

#### Yamamoto-Shortridgeova osvětlovací slož

Inovace chloristanové žlutě hořící osvětlovací slože spočívající v nahrazení chloristanu méně toxickými dusičnany. Složení složí je uvedeno v tabulce 28 [46].

**Tabulka 28** – Složení slože s chloristanem draselným a její alternativy [46]

Suroviny [hm.%]	Standard	1.	2.	3.
NaNO <sub>3</sub>	-	20	26,1	37
Ba(NO <sub>3</sub> ) <sub>2</sub>	20	34,1	29	27,05
KClO <sub>4</sub>	21	-	-	-
Mg	30,3	28,1	23	20,1
Mg-Al	-	-	3,6	-
Na <sub>2</sub> C <sub>2</sub> O <sub>4</sub>	19,18	-	-	-
PVC	-	8,9	8,1	10,9
Asfalt	3,95	3,95	3,95	-
Epon 813	3,47	3,47	3,47	3,47
Versamid 140	1,48	1,48	1,48	1,48

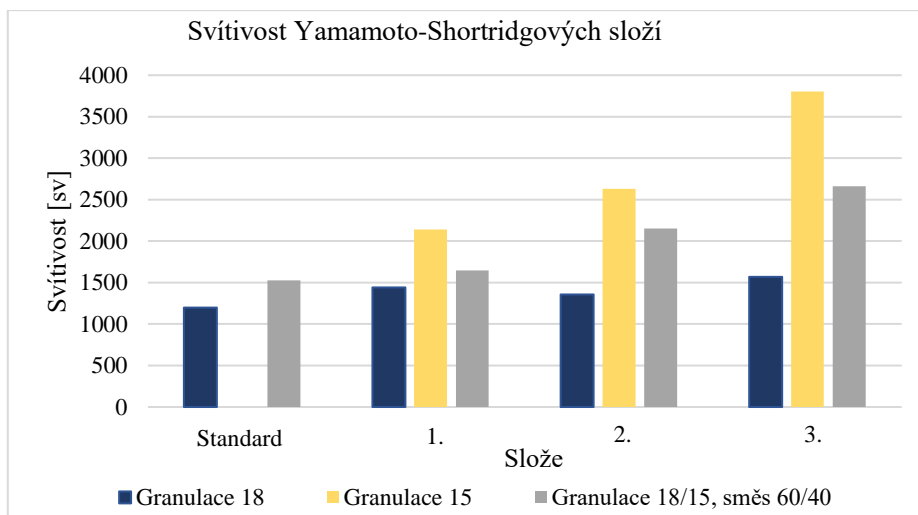
Pro uskutečnění testů byly připraveny tři testovací série světlic o hmotnosti 15 gramů. První testovaná série obsahovala hořčík o větším rozměru částic (granulace 18: 600-300  $\mu\text{m}$ ), druhá testovací série obsahovala hořčík o menším rozměru částic (granulace 15: 150-75  $\mu\text{m}$ ) a třetí testovací série obsahovala kombinaci obou frakcí hořčíku [46].

Testované slože byly připraveny smícháním hořčíku s pojivem, následným přidáním dusičnanu sodného, dusičnanu barnatého a polyvinylchloridu. Zhomogenizovaná směs byla prosítována, nechána vyžrát a následně zalisována po 15 gramech do testovacích pouzder. Výsledky testovaných sérií jsou uvedeny v tabulce 29 a graficky porovnány na obrázku 15 [46].

**Tabulka 29** – Parametry slože při použití hořčíku o granulaci 18, 15 a jejich směsi [46]

Parametry (gr.18)	Standard	1.	2.	3.
Počet testů	6	6	6	6
Sytost barvy [%]	78,3	77,3	78,4	75,3
Dominantní vlnová délka [nm]	587	583	585	583
Svítivost [cd]	1 199	1 442	1 357	1 571
Světelná účinnost [ $\text{cd}\cdot\text{s}\cdot\text{g}^{-1}$ ]	3 227	4 902	4 704	6 179
Doba hoření [s]	41	51	52	59
Parametry (gr.15)				
Počet testů	-	3	3	3
Sytost barvy [%]	-	89	90	87
Dominantní vlnová délka [nm]	-	582	584	582
Svítivost [cd]	-	2 140	2 630	3 805
Světelná účinnost [ $\text{cd}\cdot\text{s}\cdot\text{g}^{-1}$ ]	-	3 709	4 558	6 595
Doba hoření [s]	-	26	26	26
Parametry (gr. směs 60/40)				
Počet testů	3	3	3	3
Poměr granulace (15/18)	0/100	60/40	60/40	60/40
Sytost barvy [%]	89	86	89	84
Dominantní vlnová délka [nm]	581	578	579	578
Svítivost [cd]	1 525	1 648	2 152	2 662
Světelná účinnost [ $\text{cd}\cdot\text{s}\cdot\text{g}^{-1}$ ]	3 863	2 856	4 590	6 033
Doba hoření [s]	38	26	32	34

Z grafického srovnání je ihned patrné, že slože bez chloristanů mají značně lepší výsledky než doposud používaná slož. Snížením velikosti částic značně roste rychlost hoření i svítivost. Doba hoření slože s jemnou frakcí hořčíku je přibližně poloviční a svítivost téměř dvojnásobná oproti složi s hrubou frakcí hořčíku. Barva plamene slože bez obsahu chloristanů je více žlutá oproti původní oranžovo-žluté barvě plamene chloristanové slože [46].



**Obrázek 15** – Grafické porovnání svítivosti Yamamoto-Shortridgeových složí [46]

### Miklaszewski-Dilger-Yamamoto osvětlovací slož

Používaná slož pro jeden z dalších osvětlovacích prostředků Mk 144 obsahuje chloristan draselný a dusičnan barnatý, který je snaha z ekologického hlediska odstranit. Inovativní složení složí využívá změnu okysličovadla a různé velikosti hořčíku, složení testovaných složí je uvedeno v tabulce 30 [7].

**Tabulka 30** – Složení Miklaszewski-Dilger-Yamamotové osvětlovacích složí [7]

Suroviny [hm.%]	Mk													
	144	1.	2.	3.	4.	5.A	5.B	6.A	6.B	7.	8.A	8.B	9.A	9.B
KClO <sub>4</sub>	a	-	-	-	-	-	-	-	-	-	-	-	-	-
NaNO <sub>3</sub>	-	53,2	-	58	20	27,4	26,8	37	36,2	72	69	65,6	39	38,2
KNO <sub>3</sub>	-	-	36,2	15	-	-	-	-	-	-	-	-	-	-
Ba(NO <sub>3</sub> ) <sub>2</sub>	a	-	-	-	34,1	29	28,4	27	26,5	-	-	-	-	-
Mg (300-150 μm)	a	16,2	29,4	22	28,1	23	22,5	20,1	19,7	23	26	25,5	26	25,5
Mg-Al	-	-	-	-	-	3,6	3,5	-	-	-	-	-	-	-
Na <sub>2</sub> C <sub>2</sub> O <sub>4</sub>	a	-	29	-	-	-	-	-	-	-	-	-	30	29,4
PVC	-	25,6	-	-	8,9	8,1	7,9	10,9	10,6	-	-	-	-	-
Asfalt	a	-	-	-	4	4	3,9	-	-	-	-	-	-	-
Epoxid*	a	5	5	5	5	5	7	5	7	5	5	7	5	7

a) přesné složení komponent není schváleno pro veřejné použití

\*epoxidový pojivový systém – Epon 813/Versamid 140 (70:30)

Slože byly namíchány, nechány vyzrát, zalisovány do 15 g světlic, vytvrzeny při teplotě 60°C po dobu 24 hodin a otestovány. Výsledky testů jsou uvedeny v tabulce 31 a graficky porovnány na obrázku 16. Porovnáním testovaných složí byla ověřena možnost použití dvou cest barvení

plamene. Využití samotné sodné soli nebo mícháním barev plamene využitím kombinace sodné a barnaté soli s polyvinylchloridem jako donorem chloru [7].

Nejlepší výsledků první testované sady složí (1.-6.) vykazovala slož 5.A a 6.A jejíž svítivost a doba hoření byly upravovány rozdílnou zrnitostí hořčíku 5.A1 (150-75/600-300  $\mu\text{m}$  v poměru 60/40), 6.A1 (150-75  $\mu\text{m}$ ), 6.A2 (150-75/600-300  $\mu\text{m}$  v poměru 60/40), 6.A3 (600-300  $\mu\text{m}$ ) nebo zvýšením obsahu pojiva na 7 hm.% (slože 5.B a 6.B). Těmito úpravami došlo ke kompromisu mezi svítivostí a dobou hoření<sup>14</sup> [7].

Druhá sada testovaných složí (7.-9.) má celkově mnohem lepší výsledky než sada první. Nejlepší výsledky vykazovala slož. 8.A a 9.A, jejichž složení bylo opět upraveno změnou obsahu pojiva. Slož 9.B byla vybrána jako náhrada používané slože pro Mk 144. [7].

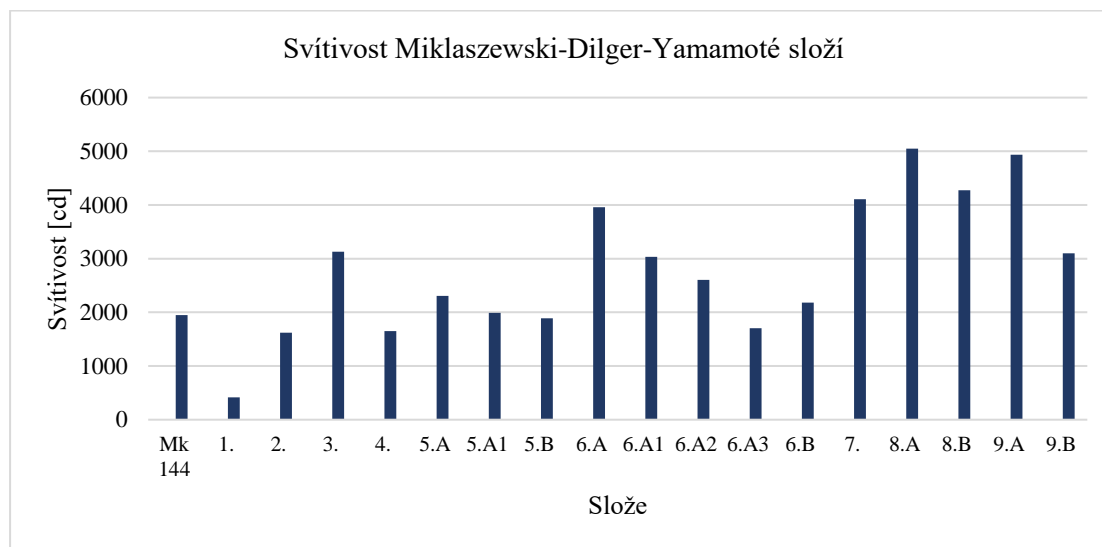
---

<sup>14</sup> Z mého pohledu neměly tyto úpravy velký význam, neboť slože 5.A i 5.B překonaly Mk 144



**Tabulka 31** – Parametry Miklaszewski-Dilger-Yamamotové osvětlovacích složí [7; 48]

Vlastnosti	Mk 144	1.	2.	3.	4.	5.A	5.A1	5.B	6.A	6.A1	6.A2	6.A3	6.B	7.	8.A	8.B	9.A	9.B
Čas hoření [s]	42,3	61,5	40,7	41,9	39,9	42,6	37,6	45,6	43,5	29,7	36,7	65,1	49,5	40,9	37,5	46,2	39,1	46,2
Svítivost, 10 <sup>3</sup> [cd]	1,9	0,4	1,6	3,1	1,6	2	2,3	1,9	2,6	4	3	1,7	2,2	4,1	5	4,3	4,9	3,1
Sv. účinnost, 10 <sup>3</sup> [cd·s·g <sup>-1</sup> ]	2,6	0,4	1,6	3,1	1,6	2,7	3,1	2,5	3,5	5,3	4,0	2,3	2,9	5,5	6,7	5,7	6,6	4,1
Dom. vlnová délka [nm]	587,8	589	589	588	583	585,5	585,5	585,3	584	584	584	585	584,7	586,7	588	588,5	587	587
Sytost barvy [%]	89	93,4	89	77	87	90	86,2	90,1	86,2	86,3	86,4	86,6	88,8	80,2	78,1	83	90	92,2



**Obrázek 16** – Grafické porovnání svítivosti Miklaszewski-Dilger-Yamamoté složí [7]

#### 4.1.2. Vývoj složí nahrazující nevyhovující pojiva

Slože spočívající zejména v nahrazení toxických nebo nevyhovujících pojivových systémů ekologičtějšími pojivy, které zlepšují světelné parametry složí.

##### Sabatini-Raab-Hannova osvětlovací slož

Ruční osvětlovací prostředek M127A1 patří mezi nejpoužívanější osvětlovací prostředky americké armády. Bylo tak vyvinuto nemalé množství úsilí pro inovaci používané složy. Slož využívala nevyhovující pojivový systém Laminac 4116/Lupersol DDM (polyesterové pojivo), který je nahrazen netoxickým pojivovým systémem Epon 813/Versamid 140 (epoxidové pojivo) [49].

Pro zvýšení doby skladování byl nahrazen práškový dusičnan sodný kuličkovým, čímž byl snížen specifický povrch oxidáčovačla a je tak snížena hygroskopicitata. Původní složení M127A1 (kontrolní) a nové složení testovaných složí je uvedeno v tabulce 32 [49].

**Tabulka 32** – Aktuální a testované složení nových složí pro M127A1 [49]

Suroviny [hm.%]	M127A1 (kontrolní)	1.	2.	3.	4.
NaNO <sub>3</sub> (práškový)	29	-	-	-	-
NaNO <sub>3</sub> (kuličkový)	-	29	24	30	31
Mg (595-297 μm)	66	66	71	66	66
Pojivo	5*	5**	5**	4**	3**

\*Laminac 4116/Lupersol DDM, \*\*Epon 813/Versamid 140 v poměru 80 : 20

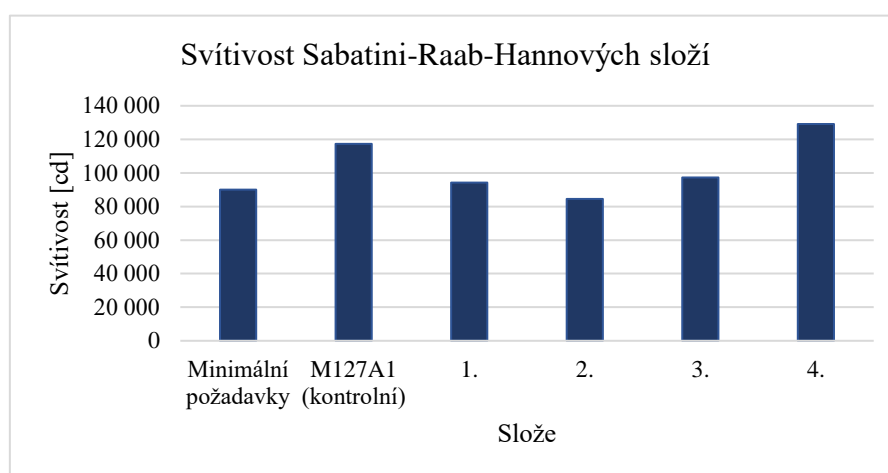
Složy byly připraveny smícháním pojiva s kovovým hořčíkem, míchány 15 minut při 0,206 MPa, poté byl přidán dusičnan sodný, míchán 10 minut a následně na vzduchu směs zrála 2-3 hodiny před vytvrzením. Slož o hmotnosti přibližně 85 g byla zalisována do papírového pouzdra o délce 8,13 cm a průměru 4,93 cm ručním lisem. Každá světlice tak obsahuje okolo 85 g složy. Po vytvrzení byly sušeny při teplotě 60°C přes noc [49].

Z výsledků statických testů uvedených v tabulce 33 a graficky porovnaných na obrázku 17 je možné vyhodnotit, že slož 1. dosahuje téměř stejnou dobu hoření jako kontrolní slož, pouze má nižší svítivost. Slož 2. má celkově horší výsledky a nedosahuje ani minimálních požadavků. Nejlepších výsledků tedy dosáhla slož 3., která má vyhovující dobu hoření i svítivost a překonala i minimální požadavky. Mohlo by se zdát, že nejlepších výsledků dosahuje slož 4., doba hoření této složy je však hraniční, nemusela by tak uspět při balistickém testování, kde je rychlost hoření větší než při statickém testu [49].

**Tabulka 33** – Parametry Sabatini-Raab-Hannových osvětlovacích složí [49]

Parametry	Minimální požadavky	M127A1 (kontrolní)	1.	2.	3.	4.
Doba hoření [s]	25	31,4	30,3	29,7	29,6	26,2
Svítivost [cd]	90 000	117 239	94 255	84 479	97 253	129 059
Světelná účinnost [ $\text{cd}\cdot\text{s}\cdot\text{g}^{-1}$ ]	-	42 070	33 590	29 419	33 800	39 888
Dom. vlnová délka [nm]	-	587,4	588,1	588,2	588	588,8
Čistota spektra [%]	-	86,5	88,4	86,7	85,5	83,8
Výška slože [cm]	-	7,49	7,21	7,38	7,23	7,32
Hmotnost slože [g]	-	84,97	85,66	84,93	84,97	84,91
Rychlost hoření [ $\text{cm}\cdot\text{s}^{-1}$ ]	-	0,239	0,238	0,248	0,244	0,279
Spotřeba slože* [ $\text{g}\cdot\text{s}^{-1}$ ]	-	2,71	2,83	2,86	2,87	3,24

\*mass consumption [ $\text{g}\cdot\text{s}^{-1}$ ]



**Obrázek 17** – Grafické porovnání svítivosti Sabatini-Raab-Hannových složí [49]

### Sabatini-Raab-Hann-Freemanova osvětlovací slož

Při vývoji pyrotechnických složí šetrným k životnímu prostředí byla nejdříve snaha nahradit chloristany, následně zdravotně závadné pojivové systémy a dalším krokem je snaha nahradit v pyrotechnických složích těžké kovy. V tomto výzkumu se autoři zaměřili na inovaci slože pro osvětlovací prostředek M159<sup>15</sup> obsahující dusičnan barnatý a jeho záměnu za dusičnan sodný. Dusičnanu barnatý, které se nachází zejména ve složích hořících zeleným plamenem, se také nachází v osvětlovacích prostředcích hořících bílým plamenem, neboť se ve složi při hoření bez donoru chloru oxiduje na oxid barnatý, který emituje žhavé částice jevící se pro pozorovatele jako bílé světlo [50]. Složení testovaných složí je uvedeno v tabulce 34.

<sup>15</sup> White star illuminant – cluster

**Tabulka 34** – Složení Sabatini-Raab-Hann-Freemanových osvětlovacích složí [50]

Suroviny [hm.%]	M159 (kontrolní)	1.	2.	3.	4.	5.	6.	7.
NaNO <sub>3</sub> (kuličkový)	-	65,5	60,5	55,5	50,5	65,5	60,5	55,5
Ba(NO <sub>3</sub> ) <sub>2</sub>	49,5	-	-	-	-	-	-	-
Sr(NO <sub>3</sub> ) <sub>2</sub>	16,5	-	-	-	-	-	-	-
Mg (297-595 μm)	29,5	29,5	34,5	39,5	44,5	31,5	36,5	41,5
Pojivo	5*	5**	5**	5**	5**	3**	3**	3**

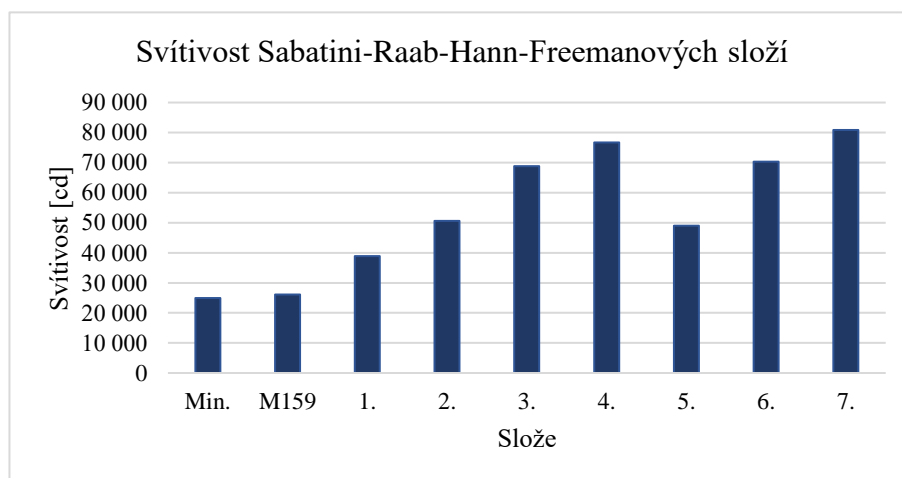
\*Laminac 4116/Lupersol DDM, \*\*Epon 813/Versamid 140

Z výsledků testů, které jsou uvedeny v tabulce 35 a graficky porovnaných na obrázku 18 lze vyčíst, že všechny testované slože splnily nejen minimální požadavky, ale také mnohonásobně překonaly stávající slož. Zcela nejlepšího výsledku bylo dosaženo u slože 4., která hořela 3,25× větší svítivostí a měla 2,93× delší dobu hoření [50].

**Tabulka 35** – Parametry Sabatini-Raab-Hann-Freemanových osvětlovacích složí [50]

Parametry	Minimální požadavky	M159 (kontrolní)	1.	2.	3.	4.	5.	6.	7.
Doba hoření [s]	6,5	7,6	13,1	10,9	9,1	8,5	10,3	8,9	6,8
Svítivost, 10 <sup>4</sup> [cd]	2,5	2,6	3,9	5,1	6,9	7,7	4,9	7	8,1
Sv. účinnost, 10 <sup>4</sup> [cd·s·g <sup>-1</sup> ]	-	0,9	2,5	2,7	3	3,2	2,5	3	2,6
Dom. vln. délka [nm]	575 ± 10	584,2	588,5	588,7	588,1	588,2	588	588,1	587,8
Čistota spektra [%]	50 max.	49,6	87,6	88,4	85,7	86,7	85,2	85,3	84,4
Výška světlice [cm]	-	2	1,97	1,94	1,97	2	1,94	2,01	2,01
Váha světlice [g]	-	20,5	20,8	20,8	20,7	20,7	20,6	20,7	20,9
Rychlost hoření [cm·s <sup>-1</sup> ]	-	0,263	0,15	0,178	0,216	0,235	0,188	0,226	0,296
Spotřeba slože* [g·s <sup>-1</sup> ]	-	2,7	1,59	1,91	2,27	2,44	2	2,33	3,07

\*mass consumption [g·s<sup>-1</sup>]

**Obrázek 18** – Grafické porovnání svítivost Sabatini-Hann-Freemanových složí [50]

## Sadek-Kassem-Abdova osvětlovací slož

Autoři vyvíjeli žlutě hořící slož s vyšší svítivostí a sytostí barvy v porovnání s ruskou žlutě hořící složí. Tohoto zvýšení bylo docíleno optimalizací pojiva a paliva [8].

Pojivový systém má velký vliv na sytost barvy, při použití polyvinylchloridu dochází kvůli tvorbě chloridu sodného v plameni k omezení vzniku sodíkových par, což snižuje sytost barvy plamene. Použití šelaku bylo také vyloučeno, neboť má nízké teplotu hoření a slož nemá dostatečnou emisi světla. Jako nejvhodnější se jevílo použití arabské gumy, která zvyšovala jak svítivost, tak sytost barvy plamene [8].

Většina osvětlovacích složí obsahuje jako palivo hořčík, ten se při hoření oxiduje na oxid hořečnatý, který při zhavení emituje bílé světlo. Zde však není vhodný, neboť snižuje sytost žluté barvy plamene. Hořčík byl nahrazen hliníkem, což mělo za důsledek zvýšení svítivosti i sytosti barvy. Složení a parametry složí jsou uvedeny v tabulce 36, graficky jsou srovnány na obrázku 19. Nejlepších výsledků dosahuje slož 12., která má oproti standardu o 287 % vyšší svítivost a o 170 % vyšší sytost barvy. Detailnější parametry autoři neuvádí [8].

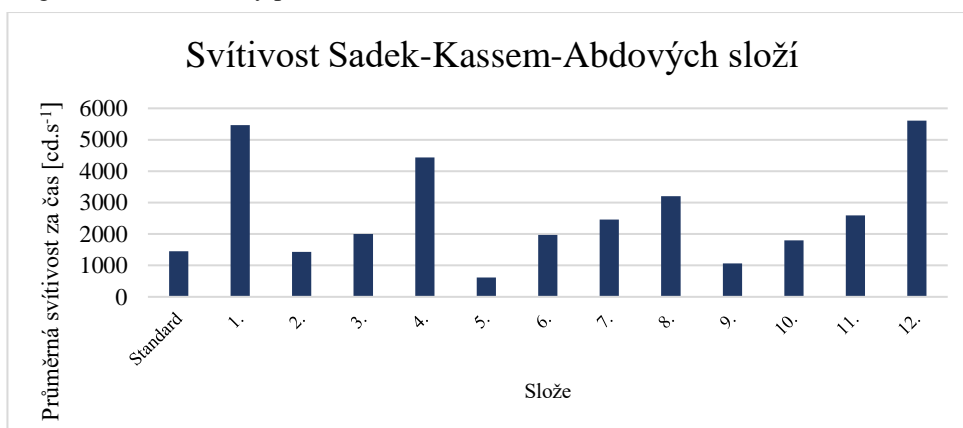
**Tabulka 36** – Složení a parametry Sadek-Kassem-Abdových osvětlovacích složí [8]

Suroviny [hm.%]	Standard	1.	2.	3.	4.	5.	6.	7.	8.	9.	10.	11.	12.
NaNO <sub>3</sub>	56	67,8	56	56	55	62	59	62	59	66	61	66	61
Mg	27	15,2	27	27	-	21	24	-	-	27	27	-	-
Al	-	-	-	-	28	-	-	21	24	-	-	27	27
PVC	17	17	-	-	17	-	-	-	-	-	-	-	-
Šelak	-	-	17	-	-	-	-	-	-	-	-	-	-
Arabská guma	-	-	-	17	-	17	17	17	17	7	12	7	12

Parametry

Svítivost\*, 10<sup>3</sup> [cd·s<sup>-1</sup>]    1,45    0,42    1,43    2    4,43    0,61    1,96    2,46    3,20    1,06    1,79    2,59    5,60

Orig.: \*average luminous intensity per time

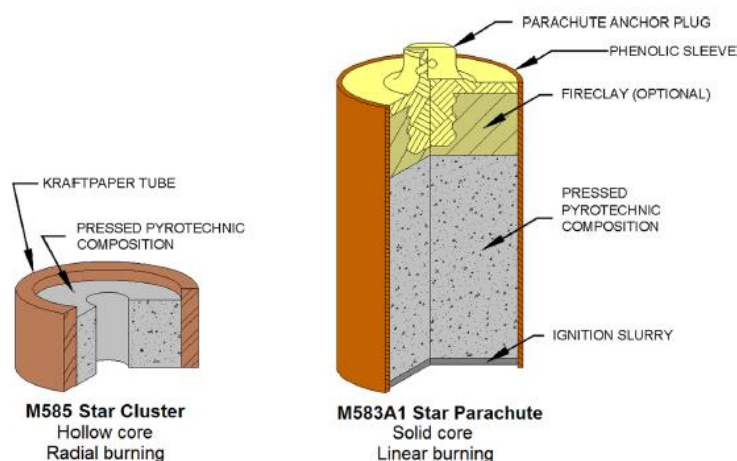


**Obrázek 19** – Grafické porovnání svítivosti Sadek-Kassem-Abdových složí [8]

## Moretti-Sabatini-Poret-Gilbertova slož pro 40mm osvětlovací granáty

Další z mnoha inovací pro osvětlovací prostředky využívaných americkou armádou, zde konkrétně pro 40mm osvětlovací granáty. Inovace spočívá opět v nahrazení polyesterového pojivového systému za termosetový epoxid a možnosti využití kartonových pouzder místo laminovaných Vitonem<sup>16</sup> pro snížení nákladů na výrobu.

Světlice M583A1 je konstruována z Vitonem laminovaného pouzdra a obsahuje padák, je pro ni vyžadována svítivost alespoň 70 000 cd a doba hoření 35 sekund. Světlice M585 je konstruována z kartonového pouzdra, je pro ni vyžadována svítivost 30 000 cd a doba hoření 6 sekund (viz obrázek 20). Testovací světlice byly připraveny zalisováním složky do pouzder a vytvrzením po dobu 16 hodin při teplotě 60°C. Složení a parametry kontrolních složek je uvedeno v tabulce 37. [47].



Obrázek 20 – Konstrukce světlic M585 a M583A1 [47]

Tabulka 37 – Složení a parametry kontrolních složek [47]

Suroviny [hm.%]	M583A1	M583A1	M585
Materiál pouzdra	karton	laminovaná Vitonem	karton
NaNO <sub>3</sub>	41	41	56,5
Mg (595-297 μm)	28	28	18
Mg (297-149 μm)	20	20	18
Laminac 4116	10,45	10,45	7,125
Lupersol DDM	0,55	0,55	0,375
Parametry			
Doba hoření [s]	17,62	39,91	7,17
Svítivost [cd]	120 716	97 108	54 414

<sup>16</sup> Viton – druh fluorovodíkového kaučuku

Z výsledku testů kontrolních složí M583A1 je vidět značný rozdíl v době hoření a svítivosti stejné slože s jediným rozdílem, a to laminovaným pouzdrem. Laminovaná vrstva slouží jako tepelná bariéra a nedochází tak k přenosu tepla ve sloupci a přechodu hoření z laminárního na radiální. Tabulka 38 obsahuje výsledky testovaných složí v nelaminovaných pouzdrech s novým pojivovým systémem, které jsou graficky porovnány na obrázku 21 [47].

V první sadě složí je možné pozorovat vliv poměrů frakcí hořčíku na svítivost a dobu hoření. Pro M583A1 slože 1.-8. bohužel nesplnily minimální technické charakteristiky a jejich další využití bez laminovaného pouzdra není možné. Pro M585 je možné využít slože 4.-6. [47]

Změnou poměru pojiva došlo u složí 9.-11. k navýšení svítivosti, ovšem doba hoření stále není dostatečná, slože jsou tak opět využitelné pouze pro M585 [47].

Sada složí 12.-14. poskytuje pro M583A1 dostatečnou dobu hoření i svítivost. Nejlepších výsledků dosahuje slož 13. [47]

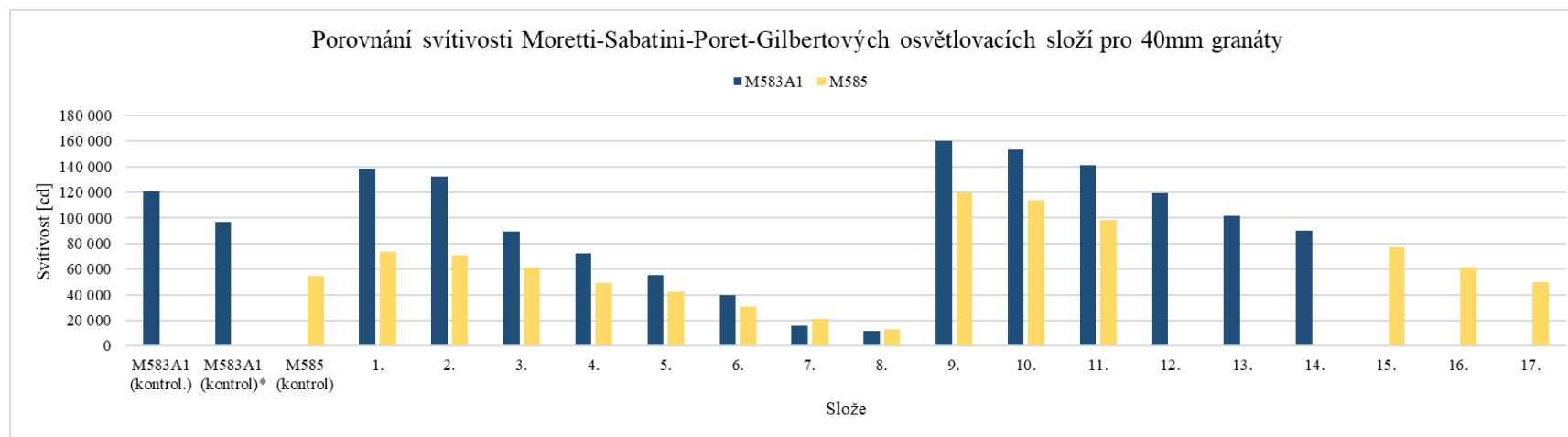
Sada složí 15.-17. poskytuje pro M585 dostatečnou dobu hoření i svítivost, nejlepších výsledků dosahuje slož 15. [47]

Při shrnutí výsledků testů lze říci, že laminované pouzdro je zásadní pro správné fungování světlice. Zároveň byly nalezeny slože, které mohou nahradit využívané slože [47].

**Tabulka 38** – Složení a parametry testovaných složí s novým pojivovým systémem [47]

Suroviny [hm.%]	1.	2.	3.	4.	5.	6.	7.	8.	9.	10.	11.	12.	13.	14.	15.	16.	17.
NaNO <sub>3</sub>	40	40	40	50	50	50	60	60	45	45	45	42,5	42,5	42,5	52,5	52,5	52,5
Mg (595-297 μm)	10	30	50	10	30	50	15	30	15	25	35	15	25	35	10	20	30
Mg (297-149 μm)	40	20	-	30	15	-	15	-	35	25	15	35	25	15	30	20	10
Pojivo*	10	10	10	10	10	10	10	10	5	5	5	7,5	7,5	7,5	7,5	7,5	7,5
Parametry M583A1																	
Doba hoření [s]	15	17,7	21,3	28,8	38,6	47,7	59,2	83,1	18,1	17,9	21,8	32,8	35,3	39,7	-	-	-
Svítilivost, 10 <sup>5</sup> [cd]	1,38	1,32	0,9	0,72	0,56	0,4	0,16	0,11	1,6	1,53	1,41	1,19	1	0,9	-	-	-
Parametry M585																	
Doba hoření [s]	4,2	4,9	5,2	6,4	8,1	8,8	11,4	14,6	4,6	4,8	5,6	-	-	-	6,4	7,6	8,8
Svítilivost, 10 <sup>5</sup> [cd]	0,74	0,71	0,61	0,49	0,42	0,31	0,22	0,13	1,2	1,14	0,99	-	-	-	0,77	0,62	0,50

\*Pojivo - Epon 813/Versamid 140 v poměru 4 : 1



**Obrázek 21** – Grafické porovnání svítivosti Moretti-Sabatini-Poret-Gilbertových osvětlovacích složí pro 40mm granáty [47]



### 4.1.3. Recyklované suroviny

Nahrazování nevyhovujících surovin je jednou z cest k ekologičtější výrobě osvětlovacích složí. Druhou cestou je recyklace zastaralých osvětlovacích prostředků a využití odpadních surovin z výrob energetických materiálů.

#### Sabatini-Moretti-Hallova slož obsahující recyklovaný hořčík

Vývoj žlutě svítící osvětlovací slož založené na technologii (R<sup>3</sup>)<sup>17</sup>. Hořčík pro tuto technologii je získáván ze starých osvětlovacích prostředků z důvodu ekologické demilitarizace. Pyrotechnická slož je z osvětlovacích prostředků získána vysokotlakým vodním proudem. Okysličovadlo a pojivo je extrahováno s vodou, je tak získán surový hořčík. Ten je dále podroben čištění mícháním nebo leštěním pro odstranění zbytků pojiva, poté je okamžitě vysušen. Recyklace a opětovné využití hořčíku by znamenalo další milník při vývoji ekologicky udržitelné technologie výroby pyrotechnických složí [51].

Pro demilitarizaci byly určeny tyto druhy munice: 61mm minometný granát, 81mm minometný granát, 107mm minometný granát a letecká světlice LUU-2B/2. Každý z těchto osvětlovacích prostředků obsahuje jinou osvětlovací slož, je tedy získán surový hořčík s různou velikostí částic a čistotou. Všechny získané slož byly analyzovány na nečistoty pomocí rentgenové fluorescence (XRF), výsledky této analýzy jsou uvedeny v tabulce 39 [51].

**Tabulka 39** – Analyzované nečistoty pomocí XRF [51]

Prvek [hm.%]	Mg (297-595 μm)	Mg lot. 1	Mg lot. 2	Mg lot.3	Mg lot.4
Mg	99,98 ± 0,004	98,1 ± 0,7	99,36 ± 0,66	86,68 ± 0,79	88,25 ± 0,74
S	bez detekce	1,43 ± 0,01	bez detekce	12,4 ± 0,03	10,85 ± 0,03
Fe	0,0022 ± 0,050	0,064 ± 0,009	bez detekce	0,049 ± 0,009	0,029 ± 0,008
Mn	bez detekce	0,05 ± 0,01	0,08 ± 0,01	0,17 ± 0,02	0,16 ± 0,02
Si	bez detekce	0,15 ± 0,02	0,17 ± 0,02	0,31 ± 0,03	0,22 ± 0,03
Zn	bez detekce	0,026 ± 0,002	0,391 ± 0,08	0,334 ± 0,08	0,0475 ± 0,09
Zr	bez detekce	0,15 ± 0,002	bez detekce	0,044 ± 0,001	0,014 ± 0,0008
Pb	bez detekce	bez detekce	0,004 ± 0,001	0,012 ± 0,002	0,012 ± 0,002
P	bez detekce	0,026 ± 0,006	bez detekce	bez detekce	bez detekce

<sup>17</sup> Recover, recycle and reuse

Dle analýzy je největší nečistotou síra, která má největší obsah v lot. 3. a 4. Znečištění sírou je nejspíše způsobeno použitým pojivem (většina osvětlovacích prostředků určených k recyklaci obsahovala pojivový systém založený na polysulfid-epoxidovém komplexu) [51].

Pro osvětlovací prostředek M127A1 byla využívána slož (jejíž složení je uvedeno v tabulce 40) obsahující hořčík s požadovanou čistotou minimálně 98 hm.%, což zvyšovalo cenu výroby slož a neumožňovalo využití znečištěného hořčíku [51].

**Tabulka 40** – Složení kontrolní slož M127A1 [51]

Suroviny [hm.%]	M127A1 (kontrolní)
NaNO <sub>3</sub>	29
Mg (297-595 μm, čistota min. 98 hm.%)	66
Laminac 4116/Lupersol DDM	5

Slože využívající recyklovaný hořčík s obsahem alkyl-polysulfidu určené pro M127A1 byly připraveny s novým, ekologičtějším pojivovým systémem Epon 813/Versamid 140. Vzorke složi byly připraveny z jednotlivých lot. a jejich kombinace (25 hm./lot.) dle složení uvedeného v tabulce 41, byly změřeny, jejich parametry uvedeny v tabulce 42 a graficky porovnány na obrázku 22 [51].

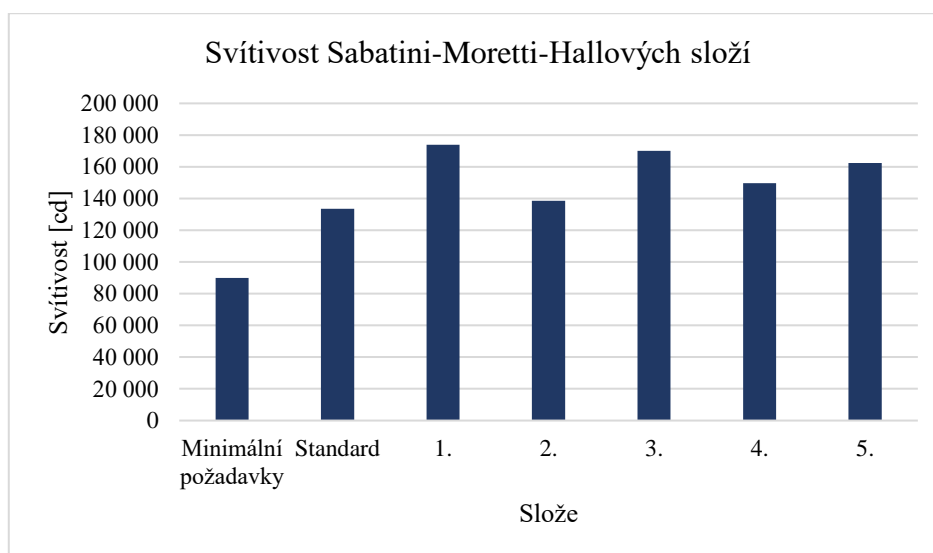
**Tabulka 41** – Složení složi využívající recyklovaný hořčík [51; 52]

Suroviny [hm.%]	1.	2.	3.	4.	5.
NaNO <sub>3</sub>	29 ± 1	29 ± 1	29 ± 1	29 ± 1	29 ± 1
Mg, Alkyl polysulfid	66 ± 1	66 ± 1	66 ± 1	66 ± 1	66 ± 1
Poměr Mg : S	-	-	86,6:12,4	82,25:10,85	91,5:7,5
Polymerové práškové pojivo	3-5	3-5	3-5	3-5	3-5

**Tabulka 42** – Parametry Sabatini-Moretti-Hallových složí [51; 52]

Parametry	Minimální požadavky	Standard	1.	2.	3.	4.	5.
Doba hoření [s]	25	29,7	30	35	29,9	33,3	32,4
Svítivost [cd]	90 000	133 627	174 000	138 666	170 000	149 666	162 333
Světelná účinnost [ $\text{cd}\cdot\text{s}\cdot\text{g}^{-1}$ ]	-	46 690	56 250	52 360	54 644	53 974	56 848
Dom. vlnová délka [nm]	-	586,4	585,8	586	585,9	586	586
Spektrální čistota [%]	-	84,2	78,7	80,2	79,5	79,6	80,4
Váha světlice [g]	-	85	92,5	92,7	93	92,5	92,5
Výška světlice [cm]	-	7,53	7,22	7,74	7,17	7,07	7,12
Rychlost hoření [ $\text{cm}\cdot\text{s}^{-1}$ ]	-	0,253	0,241	0,221	0,24	0,212	0,22
Spotřeba slož* [ $\text{g}\cdot\text{s}^{-1}$ ]	-	2,86	3,09	2,65	3,11	2,78	2,85
Velikost částic Mg [ $\mu\text{m}$ ]	-	523,4	449,4	547	508,7	743,6	530,6
Exp. hustota [ $\text{g}\cdot\text{cm}^{-3}$ ]	-	0,592	0,674	0,628	0,68	0,686	0,681
Použitý lot.	-	-	1.	2.	3.	4.	1.-4.

Orig.: \*mass consumption [ $\text{g}\cdot\text{s}^{-1}$ ]

**Obrázek 22** – Grafické porovnání svítivosti Sabatini-Moretti-Hallových složí [51; 52]

Bylo předpokládáno, že pro lepší světelné charakteristiky je potřeba co nejvíce čistý hořčík, z výsledků testů ale nebylo prokázáno, že by měla čistota hořčíku vliv na světelné charakteristiky, neboť slože obsahující nejvíce znečištěný hořčík vykazují velmi dobré výsledky a proti tomu slož s nejčistším hořčíkem vykazuje menší svítivost. Nebyla zcela prokázána ani souvislost velikosti částic se svítivostí, neboť slož obsahující menší částice hořčíku měla menší svítivost. Z těchto zjištěných informací lze vyvodit, že obsah síry ve složi má vliv na její světelné charakteristiky [51].

U jednotlivých slož byla měřena senzitivita na různé podněty, výsledky měření jsou uvedeny v tabulce 43 [51].

**Tabulka 43** – Senzitivita Sabatini-Moretti-Hallových složí na jednotlivé podněty [51]

Senzitivita	Standard	1.	2.	3.	4.	5.
Náraz [J]	11,3	17,6	19,6	19,6	14,7	16,7
Tření [N]	>360	>360	240	>360	>360	>360
Elektrostatický výboj [J]	>0,25	>0,25	>0,25	>0,25	>0,25	>0,25
Teplota vznícení [°C]*	590,7	479,2	483,7	473,8	482,8	483,8

Orig.: \*onset temperature

### Mikhajlovich-Vyacheslavovich-Vladimirovichova osvětlovací slož

Při výrobě celospalitelných nábojnic skládajících se z pyroxylin-celulózové<sup>18</sup> tkaniny impregnované trinitrotoluenem vzniká až 40 % technologického odpadu, který je jinak bez využití spalován na volném prostranství při likvidaci nebezpečného odpadu a do ovzduší se tak uvolňují toxické látky.

Následující inovace spočívá ve zlepšení světelných charakteristik, zvýšení hořlavosti (k jejímu zapálení tak není potřeba zážehová slož), snížení výrobních nákladů slože a hlavně zvýšení ekologičnosti výroby a likvidace celospalitelných nábojnic [53].

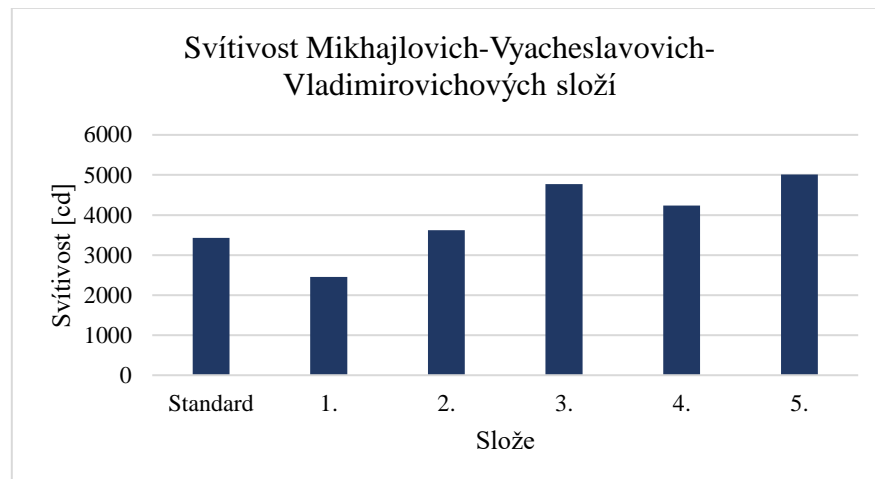
Testované slože byly připraveny, nadávkovány do papírových pouzder po 5 gramech, zalisovány tlakem 98 MPa a testovány. Složení a parametry testovaných složí je uvedeno v tabulce 44 a graficky porovnáno na obrázku 23 [53].

**Tabulka 44** – Složení a parametry Mikhajlovich-Vyacheslavovich-Vladimirovichových složí [53]

Suroviny [hm.%]	Standard	1.	2.	3.	4.	5.
NaNO <sub>3</sub>	56	40	40	40	50	30
Mg	17	15	20	25	22	30
Celulóza	-	11,25	10	8,75	7	10
Pyroxylin	-	11,25	10	8,75	7	10
Trinitrotoluen	-	22,5	20	17,5	14	20
PVC	27	-	-	-	-	-
Parametry						
Svítivost [cd]	3 425	2 457	3 620	4 768	4 239	5 012
Světelná účinnost [cd·s·g <sup>-1</sup> ]	6 177,4	6401	9 655,8	12 717,9	11 043,5	13 057,3
Rychlost hoření [mm·s <sup>-1</sup> ]	1,59	1,39	1,2	1,22	1,21	1,25
Sytost barvy plamene [%]	70	90	88	85	90	83
Dom. vlnová délka [nm]	590	578	578	578	578	578

<sup>18</sup> Pyroxylin - nitrocelulóza s vyšším obsahem dusíku

Z testů byly také zjištěny citlivostní charakteristiky - teplota vznícení 208,5°C, citlivost na náraz 15-17,5 J, citlivost na tření 300-340 N. Z grafického porovnání je vidět, že složky 2.-5. dosahují mnohem lepších výsledků než standardní složky. Sytost barvy byla zvýšena až o 90 % a světelná účinnost je téměř dvojnásobná [53].



**Obrázek 23** – Grafické porovnání svítivosti Mikhajlovich-Vyacheslavovich-Vladimirovichových složek [53]

#### 4.1.4. Modifikátory parametrů

Slože obsahující matici z dusičnanu sodného s hořčíkem a přísadkou dalších látek, které ovlivňuje světelné charakteristiky složky, popřípadě ovlivňují některé další vyžadované vlastnosti složky.

#### Mikhajlovich-II'ich-Vladimirovichova osvětlovací složka

Cílem této inovace bylo zlepšit světelné charakteristiky osvětlovacích složek vyzařujících ve žluté oblasti spektra s vysokou sytostí barvy plamene. Vylepšením složení složky, tedy přidáním stearanu vápenatého<sup>19</sup> a křemičitanu sodného<sup>20</sup> bylo dosaženo zvýšení svítivosti a světelné účinnosti 7,7×, sytost barvy plamene vzrostla o 20 %, dominantní naměřená vlnová délka byla 570 nm. Více informací, případný důvod přidání těchto komponent autoři více nerozvádí. Testované vzorky mají hmotnost 8 g, jsou lisovány tlakem 98 MPa do pouzder o průměru 19,9 mm [54]. Složení a parametry je uvedeno v tabulce 45.

**Tabulka 45** – Složení a parametry Mikhajlovich-II'ich-Vladimirovichových složek [54]

Suroviny [hm.%]	Standard	1.	2.	3.
NaNO <sub>3</sub>	56	21	22,5	23,5
Mg	17	45	47,5	46
Na <sub>2</sub> SiO <sub>3</sub> *	-	24	25	23,5
Stearan vápenatý	-	10	5	7
PVC	27	-	-	-
Parametry				
Svítivost [cd]	11 000	84 007	90 093	88 423
Světelná účinnost [cd·s·g <sup>-1</sup> ]	10 400	79 754	85 530	88 083
Rychlost hoření [mm·s <sup>-1</sup> ]	2,02	2,07	4,19	3,86
Sytost barvy plamene [%]	70	90	90	90
Dominantní vlnová délka [nm]	590	570	570	570

\*Orig.: Силикат-глыба

<sup>19</sup> Použitý nejspíše jako lubrikant

<sup>20</sup> Použití mi není zcela jasné, teoreticky by při teplotním rozkladu byl zdrojem sodíku v plameni

## Georgievich-Mikhajlovich-Anvarovichova osvětlovací slož

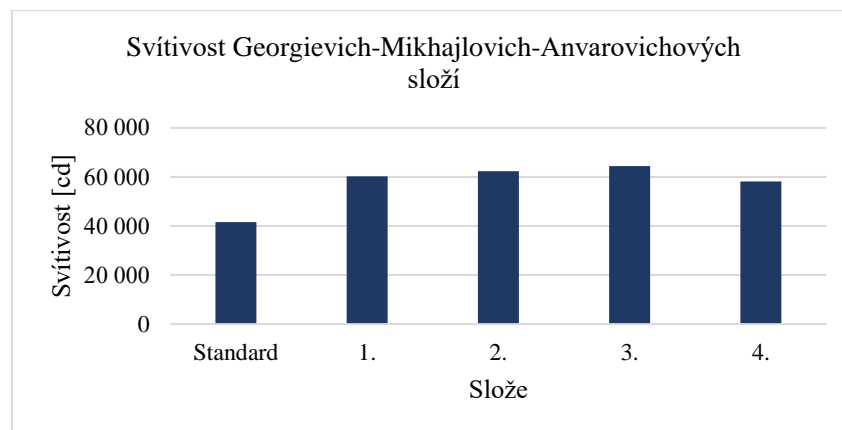
Inovace pyrotechnické slože vychází ze známých složí popsaných Šidlovským skládající se z dusičnanu sodného, práškového hořčíku a pojiva. Tyto slože nemají dostatečnou svítivost a světelnou účinnost. Tento problém je řešen přidáním komponent jako kalafuna, technický olej, polytetrafluorethylen, kys. stearová, popř. stearáty alkalických kovů. Detailnější důvody přidání těchto komponent uvedeny nejsou<sup>21</sup>. Složení a parametry nových složí je uvedeno v tabulce 46 a jsou graficky porovnány na obrázku 24 [55].

**Tabulka 46** – Složení a parametry Georgievich-Mikhajlovich-Anvarovichových složí [55]

Suroviny [hm.%]	Standard	1.	2.	3.	4.
NaNO <sub>3</sub>	58	29,4	25,9	17,4	15,1
Mg (56-500 μm)	37	65	70	76	80
Pryskyřice	5	-	-	-	-
Kyselina stearová	-	0,1	-	-	-
Stearát vápenatý	-	-	0,6	-	-
Stearát hořečnatý	-	-	-	0,1	-
Stearát sodný	-	-	-	-	0,4
Kalafuna	-	0,4	0,4	0,6	0,6
Průmyslový olej (kin. viskozita 9 mm <sup>2</sup> /s)	-	1,1	-	-	-
Průmyslový olej (kin. viskozita 11 mm <sup>2</sup> /s)	-	-	1,1	-	-
Průmyslový olej (kin. viskozita 13 mm <sup>2</sup> /s)	-	-	-	1,9	-
Průmyslový olej (kin. viskozita 17 mm <sup>2</sup> /s)	-	-	-	-	1,9
Polytetrafluorethylen	-	4	2	4	2
Parametry					
Svítivost [cd]	41 523	60 208	62 285	64 361	58 132
Světelná účinnost [cd·s·g <sup>-1</sup> ]	37 867	49 241	50 363	51 120	47 334
Rychlost hoření [mm·s <sup>-1</sup> ]	3,5	7,8	7	5,9	4,8
Zvýšení svítivosti oproti standardu [%]	-	45	50	55	40
Zvýšení světelné účinnosti oproti standardu [%]	-	30	33	35	25

Vzorky slože byly lisovány do papírových pouzder o průměru 15 mm a lisovány tlakem 150 MPa a testovány. Při srovnání výsledků je patrné, že nejlepších výsledků dosahuje slož 3. s nejvyšší svítivostí a nejpomalejší rychlostí hoření. Došlo k navýšení svítivosti o 55 % a světelné účinnosti o 35 % [55].

<sup>21</sup> Stearáty jsou nejspíše použity jako lubrikant, směs kalafuny a průmyslového oleje jako pojivo a teflon jako okysličovadlo ve směsi s dusičnanem



**Obrázek 24** – Grafické porovnání svítivosti Georgievich-Mikhajlovich-Anvarovichových složí [55]

### Mikhajlovich-Georgievich-Viktorovichova osvětlovací slož

Cílem autorů je vytvořit osvětlovací slož se zvýšenou svítivostí a světelnou účinností. Tohoto cíle je dosaženo přidáním dalších komponent k základní matici dusičnanu sodného a hořčíku. Detailnější důvody přidání těchto komponent autoři neuvádí<sup>22</sup>. Složení složí a jejich parametry jsou uvedeny v tabulce 47, graficky jsou porovnány na obrázku 25. Slož byla lisována tlakem 150 MPa do kartonových pouzder o průměru 15 mm. Při porovnání výsledků zjistíme, že nejlepšími výsledky dosahuje slož 2., u které se svítivost zvýšila o 23 % a světelná účinnost o 61 %. [56].

**Tabulka 47** – Složení a parametry Mikhajlovich-Georgievich-Viktorovichových složí [56]

Suroviny [hm.%]	Standard	1.	2.	3.	4.
NaNO <sub>3</sub>	13	-	-	-	-
Mg (56-500 μm)	40	67	63,5	62	56
CaSO <sub>4</sub> · ½ H <sub>2</sub> O	40	25	30	33	40
H <sub>2</sub> O	7	-	-	-	-
Průmyslový olej (kin. viskozita 9 mm <sup>2</sup> /s)	-	2	-	-	-
Průmyslový olej (kin. viskozita 11 mm <sup>2</sup> /s)	-	-	1,5	-	-
Průmyslový olej (kin. viskozita 13 mm <sup>2</sup> /s)	-	-	-	1	-
Průmyslový olej (kin. viskozita 17 mm <sup>2</sup> /s)	-	-	-	-	1
Polytetrafluorethylen	-	6	5	4	3
<b>Parametry</b>					
Svítivost [cd]	47 239	48 600	58 410	56 880	48 000
Světelná účinnost [cd·s·g <sup>-1</sup> ]	33 950	48 500	54 630	50 670	41 700
Rychlost hoření [mm·s <sup>-1</sup> ]	5	3,7	4	4,7	4,3
Zvýšení svítivosti oproti standardu [%]	-	3	23	20	2
Zvýšení světelné účinnosti oproti standardu [%]	-	46	61	49	23

<sup>22</sup> Autoři důvod přidání sádry neuvádí, ale další ruské patenty uvádí použití sádry pro zpevnění slože





**Obrázek 25** – Grafické porovnání svítivosti Mikhajlovich-Georgievich-Viktorovichových složí [56]

### Sergeevich-Shamilovich-Ivanovichova osvětlovací slož

Inovace spočívá v přípravě slože pro dělostřeleckou municí lisovatelnou minimálním tlakem, která je charakterizována zvýšenou konstrukční pevností a odolává impulsnímu zatížení při výstřelu. Slož emituje záření ve viditelné části spektra, s maximem v rozsahu 300-600 nm. Složení složí je uvedeno v tabulce 48 [57].

**Tabulka 48** – Složení Sergeevich-Shamilovich-Ivanovichových složí [57]

Suroviny [hm.%]	1.	2.	3.	4.	5.
NaNO <sub>3</sub>	42	44	47	50	54
Mg	42	40	38	37	36
Sádra/kryolit	11	10	10	9	8
Borová kalafuna	2	4	3	3	1
Průmyslový olej	3	2	2	1	1

Autoři uvádí, že snížení hmotnostního podílu hořčíku přispívá k plnému využití kovového paliva a všech dalších složek. Při obsahu hořčíku menším než 37 hm.% je svítivost nedostatečná z důvodu poklesu teploty hoření a při obsahu nad 40 hm.% klesá podíl emitujících složek. Při obsahu dusičnanu sodného menším než 44 hm.% není zajištěna dostatečná sytost barvy a při obsahu nad 50 hm.% je nadbytečný. Obsah sádry nad 10 hm.% zhoršoval schopnost výroby světlic rychlejším tuhnutím slože a zhoršeným dávkováním, při obsahu pod 8 hm.% slož již nedosahovala potřebné pevnosti [57].

Při hoření se sádra rozkládá na oxid vápenatý a oxid siřičitý. Oxid vápenatý s kryolitem během spalování vytváří vysoce disperzní žhavé částice, které emitují světlo ve viditelném spektru. Oxid siřičitý slouží jako transportní plyn pro disperzní částice v plameni [57].

Zkoušky prokázaly, že slož 2.-4. jsou přímo vhodné pro zalisování do těla munice. Slož 1. se vyznačuje nízkou plasticitou a vytékáním oleje při zhutňování, slož 5. se špatně lisuje, má nevyhovující výsledky při rázovém zatížení, nerovnoměrně hoří a má nízkou svítivost [57].

## 5. Konstrukce osvětlovacích prostředků

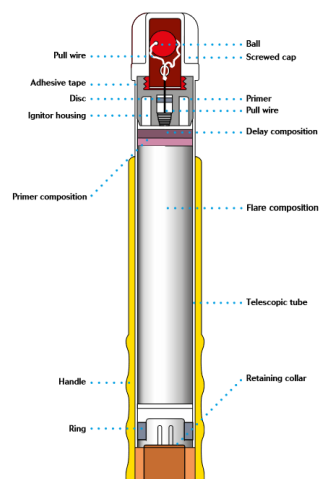
Osvětlovací prostředky nachází využití v mnoha různých situacích, které vyžadují specifické osvětlovací prostředky. V následující kapitole je stručně popsána konstrukce, využití a parametry jednotlivých druhů osvětlovacích prostředků užívaných v minulosti i současnosti.

### 5.1. Pochodně

Pyrotechnické prostředky s rukojetí umožňující držení v ruce k osvětlení blízkého okolí. Rukojeť je z inertního materiálu a zajišťuje bezpečný úchop. Pochodně obsahují trhací či škrtačí zážeh. Doba hoření je okolo jedné minuty a svítivost v řádech tisíců až desetitisíců cd. Pochodně se vyrábí s různou barvou plamene a kromě osvětlování slouží i pro signalizaci [58; 59]. Pochodeň, její řez a ukázka použití je zobrazena na obrázcích 26, 27, 28.



Obrázek 26 – Osvětlovací pochodeň [58]



Obrázek 27 – Řez osvětlovací pochodně [59]



Obrázek 28 – Použití osvětlovací pochodně [58]

## 5.2. Ruční vrhače

Ruční vrhače jsou malé osvětlovací či signalizační prostředky odpalované z ruky obsahující raketový motorek, který světlici vynese na oblohu. Československé vrhače ROS byly velmi jednoduché konstrukce a obsahovaly trhací zapalovač (viz obrázky 29, 30). Dnes se již nevyužívají, neboť často nedocházelo k iniciaci světlice nebo docházelo k ucpání trysek motoru a jejich nekontrolovatelnému pohybu [60]. Americký armádní vrhač M127A1 má znatelně lepší konstrukci, je používán dodnes a obsahuje nárazový zapalovač, iniciovaný nárazem dlaně (viz obrázek 31) [49]. Civilní vrhače (viz obrázek 32) jsou používány zejména při záchranných akcích na moři. Vrhače mají dobu hoření okolo 30 sekund a svítivost desetitisíce až statisíce cd [61; 49]. Použití ručního vrhače M127A1 je zobrazeno na obrázku 33.



**Obrázek 29 –**  
ROS 40 [60]



**Obrázek 30 –**  
Řez ROS 40 [60]



**Obrázek 31 – Řez**  
M127A1 [72]



**Obrázek 32 – Civilní**  
vrhač [61]



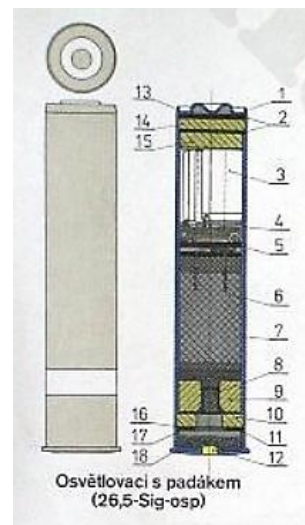
**Obrázek 33 – Použití M127A1 [72]**

### 5.3. Pistolové náboje

Již v 19. století byla vynalezena signální pistole, určená pro střelbu pyrotechnickými náboji [9]. Signální pistole se dodnes vyrábí v mnoha rážích a nachází své využití při osvětlování blízkého prostoru nebo signalizaci. Náboje pro noční signalizaci se vyrábí v mnoha barvách, pro denní s kouřovými či zvukovými efekty. Pro osvětlování se vyrábí bílé včetně verze s padákem. Osvětlovací účinek není příliš velký a slouží zejména pro osvětlení blízkého okolí, svítivost je v řádech desetitisíců cd [62; 63]. Osvětlovací náboje, nákres řezu náboje a signální pistole je zobrazena na obrázcích 34, 35, 36.



**Obrázek 34** – Osvětlovací náboje ráže 26,5 mm [74]



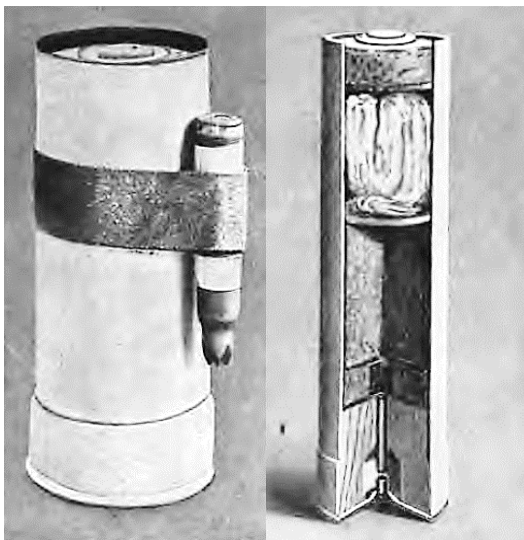
**Obrázek 35** – Nákres osvětlovacího náboje [73]



**Obrázek 36** – Signální pistole s náboji [62]

## 5.4. Puškové granáty

Během světových válek byla zbraní každého vojáka puška, na jejíž ústí hlavně bylo možné nasadit granátometný nástavec. Granáty byly vloženy do nástavce, do zbraně byl nabit expanzní náboj, který granát inicioval a vystřelil z nástavce. Tento puškový granát, jeho řez a použití lze vidět na obrázcích 37, 38. Dnes se již této technologie nevyužívá, neboť je značně komplikovaná, znemožňuje běžnou střelbu a zpětný ráz byl velký [26]. Nyní jsou konstruovány moderní granátometry a samotné granáty jsou uloženy v nábojnici a mají výmetnou slož, jejich svítivost se pohybuje v řádech desetitisíců až statisíců cd [47]. Tyto granáty a ukázka jejich použití se nachází na obrázcích 39, 40.



**Obrázek 37** – Puškový osvětlovací granát [26]



**Obrázek 38** – Použití puškového granátu [26]



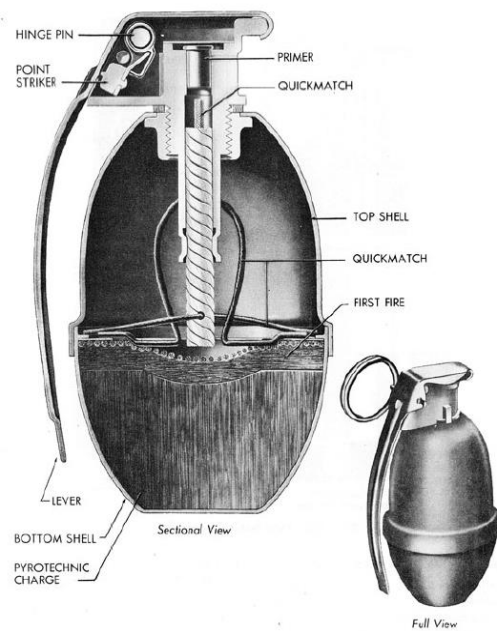
**Obrázek 39** – Moderní 40mm osvětlovací granáty [47]



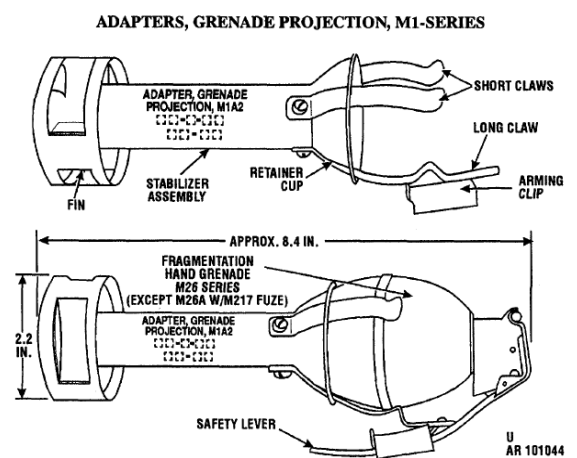
**Obrázek 40** – Nabíjení granátometu [81]

## 5.5. Granáty

Osvětlovací granát Mk.1 funguje na principu běžného granátu, pouze neobsahuje výbušnou nálož, ale osvětlovací. Doba hoření slože je okolo 25 sekund se svítivostí 60 000 cd [64]. Jediným omezením jeho použití je síla osoby vrhající granát. Toto omezení se dá anulovat využitím vrhacího nástavce použitelného pro všechny typy granátů M1 [65]. Nákres granátu a vrhacího nástavce se nachází na obrázcích 41, 42.



**Obrázek 41** – Osvětlovací granát Mk.1 [64]

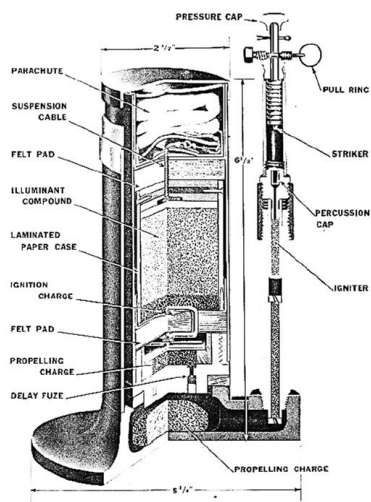


**Obrázek 42** – Vrhací nástavec M1A2 [65]

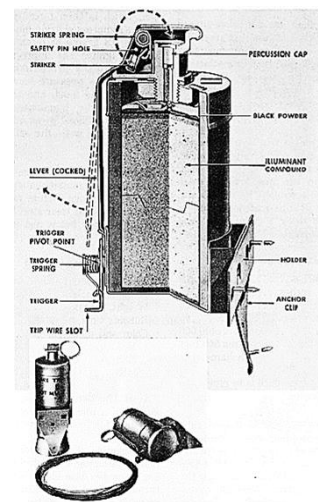


## 5.6. Nástražné osvětlovací prostředky

Nástražné osvětlovací prostředky využívají momentu překvapení, slouží k včasnému varování před pohybem v chráněném prostoru. Bývají umístěny na pevném objektu (např. strom) nebo zahrabány v zemi. Při průchodu přes nástražný drát jsou odpáleny a dojde k osvětlení blízkého prostoru a prozrazení procházejících osob. Nevýhodou je nemožnost ovlivnění např. průchodu zvěře a vyvolání planého poplachu. Padákové světlice mají svítivost okolo 100 000 cd, dobu hoření okolo 20 sekund, pozemní světlice mají svítivost až 800 000 cd a dobu hoření přes 1 minutu [66]. Americké nástražné prostředky je možné vidět na obrázcích 43, 44. Československý nástražný systém je možné vidět na obrázcích 45, 46.



**Obrázek 43** – Nástražný osvětlovací prostředek M48 [64]



**Obrázek 44** – Nástražný osvětlovací prostředek M49 [64]



**Obrázek 45** – Československý nástražný systém [83]



**Obrázek 46** – Československý nástražný systém [82]



## 5.7. Kulové pumy

Československá armáda využívala Osvětlovadlo vz.60, což byla kulová puma ráže 150 mm odpalovaná z ocelového moždíře. Hmotnost slože činila 0,5 kg, svítivost přibližně 800 000 cd, osvětlený prostor okolo 1000 m [67]. Konstrukce osvětlovadla vz.60 je zobrazena na obrázcích 47, 48.

Německá armáda používala osvětlovací prostředek Ortungsleuchtzeichen - kulové pumy ráže 125 mm odpalované z lepenkových moždířů pro osvětlování letišť. Používáno bylo mnoho druhů, kromě osvětlovacích také pro signalizaci jak v noci, tak ve dne [68]. Kulová puma a ukázka jejího použití je zobrazena na obrázcích 49, 50.



Obrázek 47 – Osvětlovadlo vz. 60 [67]



Obrázek 48 – Osvětlovadlo vz. 60 [67]



Obrázek 49 – Ortungsleuchtzeichen [68]



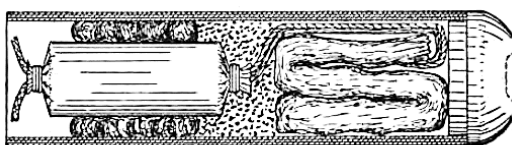
Obrázek 50 – Použití Ortungsleuchtzeichen [68]

## 5.8. Osvětlovací rakety

Výroba a použití osvětlovacích raket byla zmíněna už v 17. století a patří tak k nejstarším využívaným osvětlovacím prostředkům. Technologie výroby a jejich konstrukce se samozřejmě změnila. První rakety byly jednoduché konstrukce, tělo rakety tvořila kartonová dutinka a stabilizaci zajišťovala dřevěná tyč, jejich svítivost byla 9000-12000 cd [26]. Moderní rakety mají kovové tělo, moderní motor se stabilizačními křídélky a zaměnitelnou hlavicí, která je na motor našroubována. Vystřelovány jsou z raketometnic na zemi nebo z letadel a vrtulníků ze vzduchu [69]. Fotografie raket, nákresy řezů konstrukce raket se nachází na obrázcích 51, 52, 53, 54.



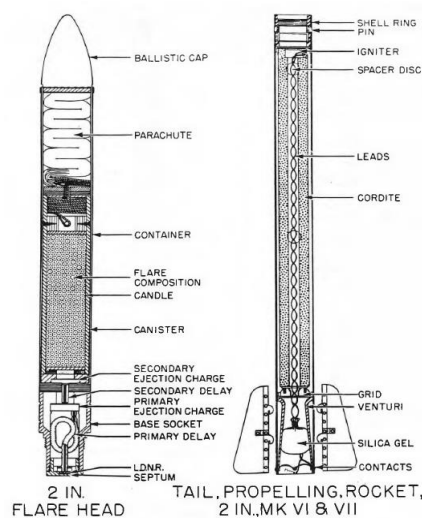
Obrázek 51 – Osvětlovací raketa používaná během první světové války [26]



Obrázek 52 – Řez osvětlovací rakety [26]



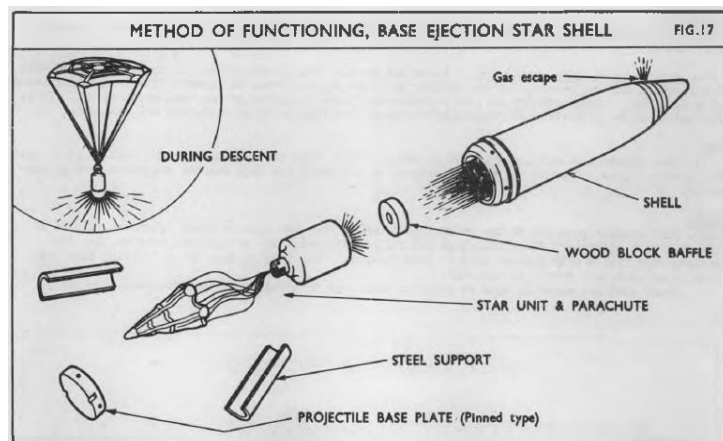
Obrázek 53 – Moderní osvětlovací raketa [69]



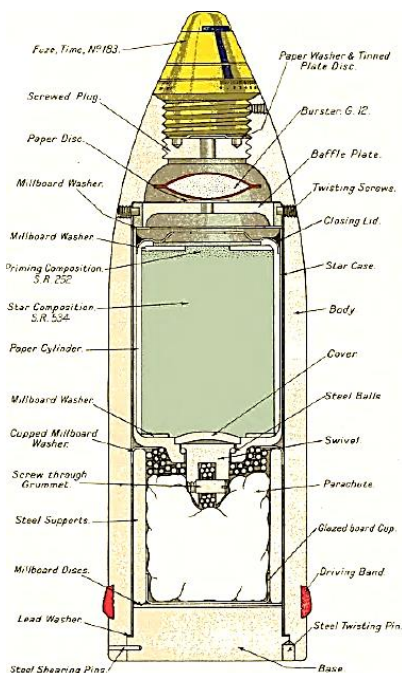
Obrázek 54 – Řez moderní rakety [69]

## 5.9. Dělostřelecké granáty

Dělostřelecké granáty představují jednu z nejpoužívanějších variant osvětlovacích prostředků. Jejich výhodou je variabilita ráží a velký dostřel. Při výstřelu dochází k velkým rázům, je tedy nutné upravit konstrukci složky a světlice tak, aby nedošlo k jejímu poškození během střelby, což by mohlo mít za důsledek její nesprávnou funkci [57]. Nákres funkce a konstrukce dělostřeleckého granátu, jeho řez a ukázkový projektil se nachází na obrázcích 55, 56, 57.



Obrázek 55 – Funkce dělostřeleckého osvětlovacího granátu [70]



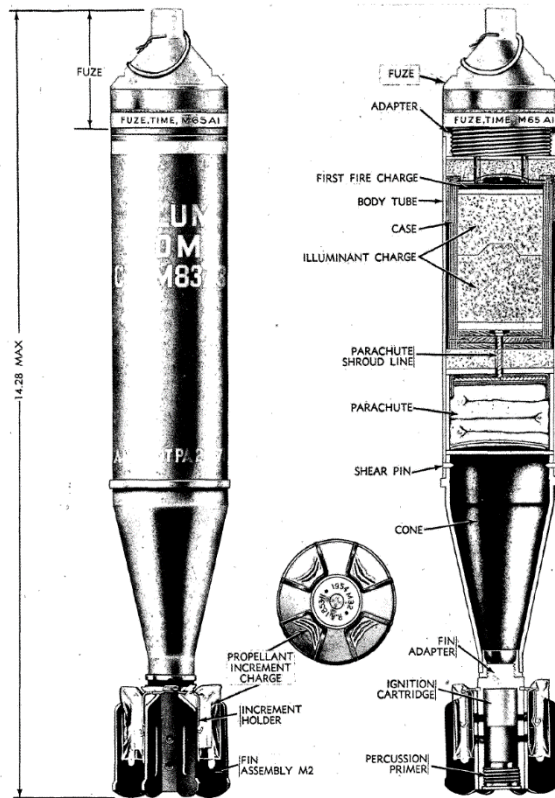
Obrázek 56 – Nákres osvětlovacího dělostřeleckého granátu [77]



Obrázek 57 – Osvětlovací dělostřelecký granát 8,8 cm [75], [76]

## 5.10. Minometné granáty

Stejně jako dělostřelecké granáty tvoří jednu z nejpoužívanějších variant osvětlovacích prostředků. Je zde opět velká variabilita ráží (od 50 mm do 105 mm). Výhodou oproti dělostřeleckým granátům je větší mobilita minometného týmu a větší kadence palby, ovšem za cenu menšího dosahu [71]. Nákresy konstrukce, řezu a fotografii minometného granátu lze vidět na obrázcích 58, 59.



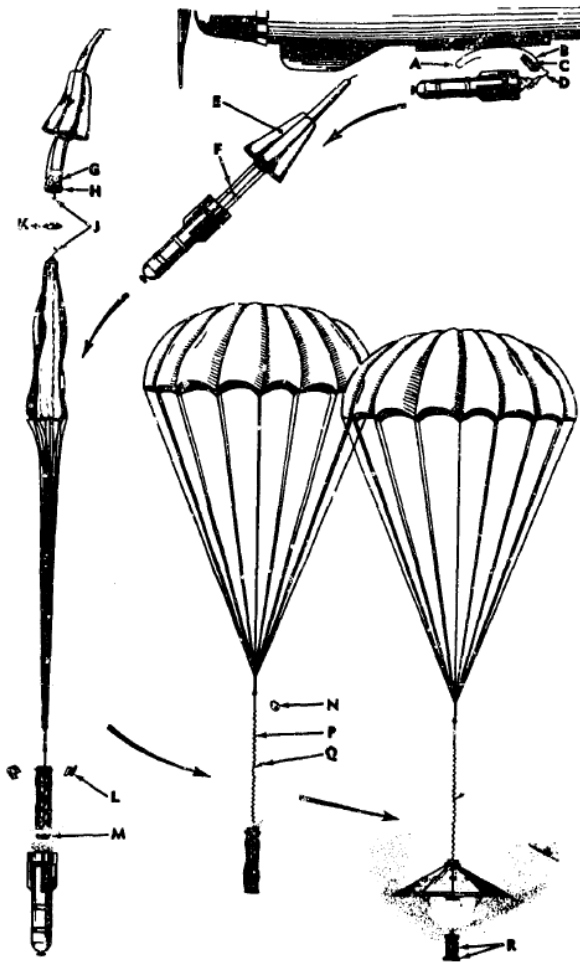
Obrázek 58 – Nákres minometného granátu [79]



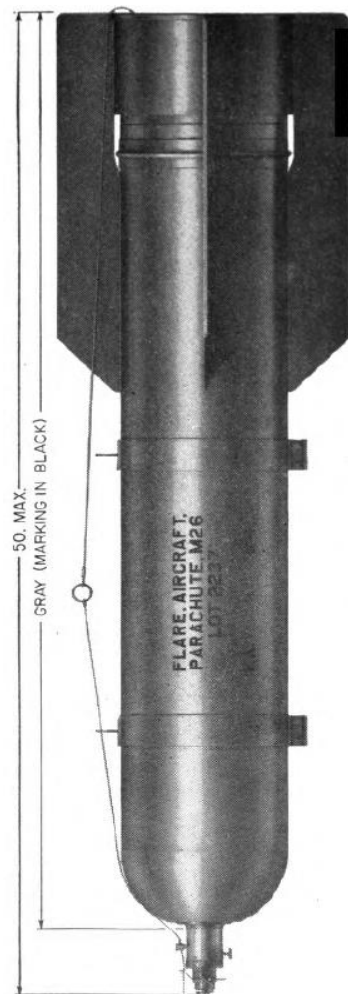
Obrázek 59 – Minometný granát M85A1 [80]

## 5.11. Osvětlovací pumy

Osvětlovací pumy patří mezi největší osvětlovací prostředky, jak svými rozměry a vahou, tak svou svítivostí. Během světových válek našly své využití při osvětlování bitevního pole, nepřátelských pozic, navigaci bombardérů při nočním bombardování a oslňování protiletadlových baterií. Aby bylo zabráněno oslnění pilotů, byly pumy často vybaveny stínícím plátnem. Pumy mají váhu v řádech kilogramů a svítivost ve stovkách tisíc až milionů cd [66]. Nákresy funkce osvětlovacích pum a fotografii pumy se nachází na obrázcích 60, 61.



**Obrázek 60** – Nákres funkce osvětlovacích pum  
[9]



**Obrázek 61** – Osvětlovací puma M26  
[78]

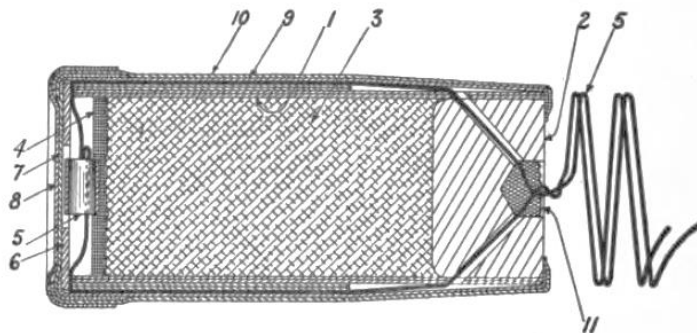


## 5.12. Křídlové světlice

Křídlové světlice byly montovány na špičky křídel letadel a sloužili k osvětlení a signalizaci letadel při jejich nouzovém přistání. Odpalovány byly elektrickým iniciátorem z kabiny. Doba jejich hoření byla jedna minuta a svítivost 22 000 cd [26]. Nákres křídlové světlice a její řez je možné vidět na obrázcích 62, 63.



Obrázek 62 – Konstrukce křídlové světlice [26]



Obrázek 63 – Nákres řezu křídlové světlice [26]

## Závěr

V této práci byly zkoumány historické i moderní trendy řešení výzev v oblasti osvětlovacích složí a konstrukce osvětlovacích prostředků. Vývoj nových materiálů a technologií, zaměřený na zlepšení bezpečnosti a ekologické udržitelnosti přinášející nové možnosti a zároveň vyžadující inovativní přístupy a řešení.

Během práce na rešerši bylo zjištěno, že v 18. století bylo 16 z 21 prozkoumaných složí založeno zejména na černém prachu s přídavkem dusičnanu draselného, síry a více než polovina složí obsahovala sloučeniny antimonu.

V 19. století po objevu chlorečnanu draselného jej obsahovalo 18 z 20 prozkoumaných složí. Bylo využíváno velmi jednoduchých přírodních pojiv (kafr, šelak, arabská guma, ...) s přídavkem solí a látek ovlivňujících světelné charakteristiky. Tyto slože ale zdaleka nedosahovaly takových světelných charakteristik jako slože dnešní.

Koncem 19. století bylo klíčovým momentem pro osvětlovací slože využití kovového hořčíku a hliníku jako paliva, které byly během světových válek využívány v kombinaci s dusičnanem barnatým. Tuto kombinaci obsahovalo 85% prozkoumaných složí. V druhé polovině 20. století se přestává využívat dusičnan barnatý a začíná se využívat dusičnan sodný.

Kombinace dusičnanu sodného s kovovým hořčíkem je dalším klíčovým milníkem ve vývoji osvětlovacích složí, neboť je tato kombinace využívána dodnes a vykazuje nejlepší světelné charakteristiky. Z prozkoumaných složí využívaných ve 20. a 21. století tuto kombinaci obsahuje více než 75 % složí. Ve složích se také upouští od využití přírodních pojiv a začínají se využívat syntetická pojiva na bázi epoxidových pryskyřic.

Od 70. let 20. století započíná vývoj osvětlovacích složí v infračerveném spektru, které se liší od klasických osvětlovacích složí využitím dusičnanu rubidného a cesného s emisí světla v infračerveném spektru a co nejnižší produkcí viditelného světla.

Vývoj osvětlovacích složí a technologie jejich výroby je stále kam posouvat. Vyvíjejí se ekologičtější postupy výroby, využívají se recyklované a energetičtější materiály, které snižují náklady a zvyšují světelné charakteristiky složí.

## Bibliografie

- [1] BREBERA, Stanislav a kol. *Speciální technika I*. Praha: FMVS Praha, 1976.
- [2] ŠIDLOVSKIJ, Alexandr Alexandrovič. *Základy pyrotechniky*. Praha: Naše Vojsko, 1957.
- [3] ELLERN, Herbert. *Military and Civilian Pyrotechnics*. New York: Chemical Publishing Company, Inc., 1968. ISBN 978-0-82-060364-3.
- [4] OTRUBA, Vítězslav. Barvy. *IS MUNI* [online]. IS MUNI, 2014. [cit. 28. 6. 2024]  
Dostupné z: <https://is.muni.cz/el/1431/jaro2014/C6150/um/Barvy.pdf>.
- [5] Mine Safety Appliances Company. *Cast Flare Composition of Magnesium Dispersed in a Matrix, Mostly Sodium Nitrate*. Inventors: HILTZ, Ralph H. US 3497404. 24. 2. 1970.
- [6] Mine Safety Appliances Company. *Castable Pyrotechnic Composition Comprising Metal Nitrates or Chlorates and Finely Divided Metal*. Inventors: TEPPER, Frederick. US 3370537. 27. 2. 1968.
- [7] MIKLASZEWSKI, Eric J., DILGER, Jonathan M., YAMAMOTO, Christina M. Development of a Sustainable Perchlorate-Free Yellow Pyrotechnic Signal Flare. *ACS Sustainable Chemistry & Engineering*. **2017**, 5, 936-941. ISSN 2168-0485. Dostupné z: <https://pubs.acs.org/doi/10.1021/acssuschemeng.6b02261>.
- [8] SADEK, Ramy, KASSEM, Mohamed, ABDO, Mohamed, ELBASUNEY, Sherif. Novel yellow colored flame compositions with superior spectral performance. *Defence Technology*. **2017**, 13, 33-39. ISSN 2214-9147. Dostupné z: <https://doi.org/10.1016/j.dt.2016.12.001>.
- [9] SAWICKI, Stanley J. AMCP 706-185, *Engineering Design Handbook, Military Pyrotechnics Series, Part One, Theory and Application*. Washington, D. C.: Headquarters, U.S. Army Materiel Command, 1967.
- [10] BROCK, A. St. H. *Pyrotechnics: The history and art of firework making*. London: Daniel O'Connor, 1922.
- [11] MEYER, Moritz. *Feuerwerkerei in ihrer Anwendung auf Kunst, Wissenschaft un Gewerbe*. Leipzig: Johann Ambrosius Barth, 1833.
- [12] BATE, John. *The mysteryes of nature and art: The second booke, Teaching most plainly, and withall most exactly, the composing of all manner of Fire-works for Triumph and Recreation*. London: Thomas Harper, 1634. s. 61-62.



- [13] MALTHUS, Francis. *PRATIQUE DE LA GUERRE Contenant l'usage de l'Artillerie, Bombes et Mortiers, Feux Artificiels et Petards, Sappes et Mines, Ponts et Pontons, Tranchees et Travaux, avec l'ordre des assauts aux Breches*. Paris: Chez Gervais Clousier au Palais sur les degrez de la sainte Chapelle, 1650. s. 247-248.
- [14] FREZIER, Amedee-Francois. *Traité des Feux d'Artifice pour le Spectacle. Nouvelle édition, toute changé & considerablement augmenté. Par M. F. D. D. F. D. B.* Paris: Chez. Ch. Ant. Jombert, 1742. s. 212-216.
- [15] JONES, Robert. *Artificial Fire-Works, Improved to the Modern Practise, From the Minutest to the Highest Branches*. London: John Millan, Whitehall, 1766. s. 36-37, 47-49, 62.
- [16] BÉLIDOR, Bernard Forest de. *Le Bombardier françois, ou nouvelle methode de jetter les bombes a vec precision*. Paris: De l'imperie Royale, 1731. s. 332.
- [17] MASKALL, John. *Artificial Fireworks, volume 2*. 1785. s. 7-8, 15, 146. ISBN 978-93-33696197.
- [18] ESCHENBACHER, August. *Die feuerwerkerei oder die fabrikation der feuerwerkskorper*. Wien, Pest, Leipzig: A. Hartleben, 1876. s. 152.
- [19] WEBSKY, Martin. *Lustfeuerwerkkunskt, oder leicht fassliche und bewahrte Anweisung zur Verfertigung von Lustfeuerwerken*. Breslau: Verlag von Ferdinand Hirt, 1842. s. 92-96, 128-130.
- [20] KENTISH, Thomas. *The pyrotechnist's treasury or complete art of making fireworks*. London: Chatto & Windus, 1878. s. 185.
- [21] KAST, H. *Spreng - und Zundstoffe*. Braunschweig: Druck und Verlag von Friedr. Viewig & Sohn, 1921. s. 466-469.
- [22] General Staff (Intelligence), General Headquarters. *Notes on German Shells, (Second Edition)*. General Staff (Intelligence), General Headquarters, 1918.
- [23] The War Office. *Handbook of Enemy Ammunition, Pamphlet No. 14, German Rocket, Gun and Mortar Ammunition*. The War Office, 1945.
- [24] BARNETT, Barry. *Explosives*. New York: D. Van Nostrand Company, 1919.
- [25] Navy Department Bureau of Ordnance. *Ordnance Pamphlet 1667, Japanese Explosive Ordnance*. Washington D. C.: Navy Department Bureau of Ordnance, 1946.

- [26] FABER, Henry B. *Military pyrotechnics, An exposition of the present methods of manufacture, the material and machinery used Volume II*. Washington: Government Printing Office, 1919.
- [27] DAVIS, Tenney L. *The Chemistry of Powder and Explosives*. 1943. ISBN 0913022004.
- [28] War Department. *TM 9-1904 War department technical manual, Ammunition Inspection Guide*. Washington: War Department, 1944.
- [29] HART, David, EPPIG, Henry J., POWERS, William J. *Self-Hardening Pyrotechnic Composition*. Inventors: HART, David, EPPIG, Henry J., POWERS, William J. US 2700603. 25. 1. 1955.
- [30] United States of America, Secretary of the Navy. *Plastic Pyrotechnic Compound*. Inventors: ROLLE, Edward, TABOR, John Q. US 2984558. 16. 5. 1961.
- [31] United States of America, Secretary of the Navy. *Flare Composition*. Inventors: CADWALLADER, Edgar A. US 3152935. 13. 10. 1964.
- [32] United States of America, Secretary of the Navy. *Illuminating Flare Composition Composed of Magnesium, Sodium Nitrate, and an Epoxy Resin-Polyglycol Resin Binder*. Inventors: DOUDA, Bernard E. US 3411963. 19. 11. 1968.
- [33] Thiokol Chemical Corporation. *Castable Illuminant Flare Composition and Method for Making Flare Body Therewith*. Inventors: DINSDALE, Vern Thomas, REED, Russel Jr., MEYER, Robert E. US 3605624. 20. 9. 1971.
- [34] The Dow Chemical Company. *Flare Composition Containing Alkali Metal Nitrate, Magnesium, and a Copolymer Reaction Product Binder*. Inventors: BASH, Charles W., LANE, George A. US 3432370. 11. 3. 1969.
- [35] The Dow Chemical Company. *Flare Composition*. Inventors: LANE, George A., SMITH, William Arthur. US 3673014. 27. 6. 1972.
- [36] Thiokol Chemical Corporation. *Product and Process for Producing a Container Cured Illuminant Composition*. Inventors: DILLEHAY, David R., KRACKENBERGER, Herman F., HAVRON, Howard, C. US 3728172. 17. 4. 1973.

- [37] United states of America, Secretary of the Navy. *Flare Composition Comprising Dry Blend of Metal Fuel and Eutectic Mixture of Oxidizer Salts*. Inventors: KRUSE, Howard W. US 3729351, 24. 4. 1973.
- [38] United States of America, Secretary of the Navy. *Castable Metallic Illuminant Fuel Containing Nitrocellulose Plasticized Binder*. Inventors: SWOTINSKY, Jacob M., NEWMAN, Stephen, COLITTI, Olindo A. US 3715248. 6. 2. 1973.
- [39] Thiokol Corporation. *Illuminating Flare Composition containing Tetranitrocarbazole*. Inventors: DILLEHAY, David R. US 3986907. 19. 11. 1976.
- [40] Societe Nationale des Poudres at Explosifs. *Illuminating Pyrotechnic Composition Which Generates Gases*. Inventors: BERNARDY, Claude. US 4078954. 14. 3. 1978.
- [41] Казанский Химико-Технологический Институт Им.С.М.Кирова. *Pyrotechnic Fireworks Compound of Yellow Fire*. Inventors: MADYAKIN, F. P., KOSTOCHKO, A. V., KUKARNIKOV, V. I., TICHONOVA, N. A., PONOMAREVOVA, R. V., SMOLA, E. B., TYUTYUNNIK, O. F., GAZIZOV, F. M., MADYAKIN, L. M., BEYKIN, L. M., ERIN, A. K., LUKOJANOVÁ, O. I. SU 1776027 A1. 10. 5. 1995.
- [42] United States of America, Secretary of the Navy. *Calcium Containing Pyrotechnic Composition for High Altitudes*. Inventors: LOPATIN, Seymour, HART, David, HART, Ruth. US 3261731. 19. 7. 1966.
- [43] United States of America, Secretary of the Navy. *Near Infrared Illuminating Composition*. Inventors: LOHKAMP, Carl W. US 3733223. 15. 5. 1973.
- [44] Cordant Technologies Inc. *Pressable Infrared Illuminant Compositions*. Inventors: NIELSON, Daniel B. US 5 912 430, 15. 6 1999.
- [45] Thiokol Corporation. *Infrared illuminating Composition*. Inventors: DILLEHAY, David R., TURNER, David W. US 5 587 552, 24. 12 1996.
- [46] YAMAMOTO, Christina M., SHORTRIDGE, Robert G. *Perchlorate-Free Yellow Signal Flare Composition*. Inventors: YAMAMOTO, Christina M., SHORTRIDGE, Robert G. US 20090320976 A1. 31. 12. 2009.
- [47] MORETTI, Jared D., SABATINI, Jesse J., PORET, Jay C., GILLBERT, Robert A. Jr. Development of Sustainable, Epoxy-Bound MgPNaNO<sub>3</sub> Compositions for the U.S. Army's

40 mm Yellow Illuminant Flares. *ACS Sustainable Chem. Eng.* **2015**, 3 (9). s. 2232-2236.  
Dostupné z: <https://pubs.acs.org/doi/10.1021/acssuschemeng.5b00508>

[48] MIKLASZEWSKI, Eric J., DILGER, Jonathan M., YAMAMOTO, Christina M.  
Development of a Sustainable Perchlorate-Free Yellow Pyrotechnic Signal Flare. *ACS Sustainable Chemistry & Engineering.* **2017**, 5, 936-941. ISSN 2168-0485. Dostupné z: <https://pubs.acs.org/doi/10.1021/acssuschemeng.6b02261>.

[49] SABATINI, Jesse J., RAAB, James M., HANN, Ronald K. Mitigation of Single-Point-of-Failure: Development of M127A1 White Star Illuminant Compositions Containing an Epoxy Binder System. *Propellants, Explosives, Pyrotechnics.* **2012**, 37 (5). s. 592-596.  
Dostupné z: <https://doi.org/10.1002/prop.201200068>

[50] SABATINI, Jesse J., RAAB, James M., HANN, Ronald K. Jr., FREEMAN, Cathleen T. Brighter- and Longer-Burning Barium-Free Illuminants for Military and Civilian Pyrotechnics. *Journal of Inorganic and General Chemistry.* **2013**, 639 (1). s. 25-30. Dostupné z: <https://doi.org/10.1002/zaac.201200460>

[51] SABATINI, Jesse J., MORETTI, Jared D., HALL, Derrick R., ROBERT, Jeon L. Jr. Recover, Recycle, and Reuse: Prove-Out of Pyrotechnic Illuminants Containing Demilitarized Magnesium. *ChemPlusChem.* **2013**, 78 (11). s. 1358-1362. Dostupné z: <https://doi.org/10.1002/cplu.201300231>

[52] The United States of America, Secretary of the Navy. *Magnesium/Alkyl Polysulfide White Star Illuminant*. Inventors: SABATINI, Jesse J., ROBERT, Leon L. Jr., MORETTI, Jared D. US 9193637. 24. 11. 2015.

[53] Казанский национальный исследовательский технологический университет. *Yellow Light Pyrotechnic Composition*. Inventors: MIKHAJLOVICH, K. A., VYACHESLAVOVICH, M. A., VLADIMIROVICH, B. A., GEORGIEVICH, B. E. RU 2633545 C1. 13. 10. 2017.

[54] Казанский государственный технологический университет. *Amber Light Pyrotechnic Composition*. Inventors: MIKHAJLOVICH, K. A., IL'ICH, K. A., VLADIMIROVICH, B. A., ALEKSANDROVNA, K. L., GEORGIEVICH, B. E., ALEKSANDROVNA, S. A., EHL'VEROVNA, T. A., NIKOLAEVNA, P. R. RU 2394802 C1. 20. 7. 2010.

[55] Казанский национальный исследовательский технологический университет. *Pyrotechnical Illuminating Composition*. Inventors: GEORGIEVICH, B. E.,

МИХАЙЛОВИЧ, К. А., АНВАРОВИЧ, К. Р., ИГОРЕВИЧ, П. А., ИВАНОВИЧ, С. В., ГЕННАД'ЕВНА В. Л., РАВКАТОВНА Г. З. RU 2534777 C1. 10. 12. 2014.

[56] Казанский национальный исследовательский технологический университет. *Pyrotechnical Illuminating Composition*. Inventors: МИХАЙЛОВИЧ, К. А., ГЕОРГИЕВИЧ, В. Е., ВИКТОРОВИЧ, М. С., АНВАРОВИЧ, К. Р., ИВАНОВИЧ, С. В., ИГОРЕВИЧ, П. А., ГЕННАД'ЕВНА, В. Л. RU 2535225. 10. 12. 2014.

[57] Чебоксарское производственное объединение имени В.И. Чапаева. *Pyrotechnic Illuminating Charge*. Inventors: СЕРГЕЕВИЧ, Р. М., ШАМИЛОВИЧ, М. А., ВАЛЕНТИНОВИЧ, Е. В., ЗАГИДУЛЛИНОВИЧ, А. Н., ВИКТОРОВИЧ, Р. И., АБДУЛЛОВИЧ, А. И. RU 2545291 C1. 27. 3. 2015.

[58] IKAROS. *Hand Flare White*. IKAROS [online]. Hansson PyroTech AB [cit. 10. 6. 2024]. Dostupné z: <https://ikarossignals.com/products/hand-flare-white/>.

[59] PainsWessex. *White Handflare Mk8*. PainsWessex [online]. Wescom Group, 2024. [cit. 29. 6. 2024]. Dostupné z: <https://painswessex.com/our-products/white-handflare-mk8/>.

[60] ZVONEK, Alan. *Světlice ROS 40*. Ohňostroje Zvonek [online]. Ohňostroje Zvonek, 2024 [cit. 10. 6. 2024]. Dostupné z: <http://www.ohnostroje-zvonek.cz/index.php/svetlice-ros-40>.

[61] PainsWessex. *Parachute Illuminating Rocket Mk8*. PainsWessex [online]. Wescom Group, 2024. [cit. 29. 6. 2024] Dostupné z: <https://painswessex.com/our-products/parachute-illuminating-rocket-mk8/>.

[62] Comet. *Signal Pistol and Cartridges*. Comet Marine [online]. Wescom Group, 2024. [cit. 29. 6. 2024] Dostupné z: [https://www.traconed.com/files/pub/31222\\_PDS.pdf](https://www.traconed.com/files/pub/31222_PDS.pdf).

[63] PainsWessex. *Signal Pistol and Cartridges*. PainsWessex [online]. Wescom Group, 2024. [cit. 29. 6. 2024] Dostupné z: <https://painswessex.com/downloads/signal-cartridge-calibre-4/signal-pistol-cartridges-2020-datasheet.pdf>.

[64] Navy Department, Bureau of Ordnance. *U.S. Explosive Ordnance*. Washington D. C. : Navy Department, Bureau of Ordnance, 1947.

[65] Headquarters, Department of The Army. *Army Ammunition Data Sheets for Grenades, TM 43-0001-29*. Washington D. C.: Headquarters, Department of The Army, 1994.

- [66] U. S. Navy Bomb Disposal School. *Bombs and Fuzes, Pyrotechnics*. Washington D.C.: U. S. Navy Bomb Disposal School, 1945.
- [67] Muzeum Historie Civilní Pyrotechniky. HICP. *Kulová puma 150 mm - osvětlovadlo Os-60* [online]. Muzeum Historie Civilní Pyrotechniky [cit. 10. 6. 2024]. Dostupné z: [https://hicp.cz/?creativo\\_portfolio=kulova-puma-150-mm-osvetlovadlo-os-60](https://hicp.cz/?creativo_portfolio=kulova-puma-150-mm-osvetlovadlo-os-60).
- [68] Muzeum Historie Civilní Pyrotechniky. *Německý signalizační prostředek Ortungsleuchtzeichen* [online]. Muzeum Historie Civilní Pyrotechniky [cit. 10. 6 2024]. Dostupné z: [https://hicp.cz/?page\\_id=5503](https://hicp.cz/?page_id=5503).
- [69] Navy Department, Bureau of Ordnance. *British Explosive Ordnance*. Washington D. C.: Navy Department, Bureau of Ordnance, 1946.
- [70] The War Office. *Field Branch Artillery Ammunition*. The War Office, 1958.
- [71] Headquarters, Departments of the Army and The Air Force. *Mortars*. Washington D. C.: Headquarters, Departments of the Army and The Air Force, 2002.
- [72] U.S. Army. U.S. Army. *Improved M127A1 handheld signal from Picatinny greatly illuminates the battlefield* [online]. U.S.Army [cit. 10. 6 2024]. Dostupné z: [https://www.army.mil/article/174528/improved\\_m127a1\\_handheld\\_signal\\_from\\_picatinny\\_gr eatly\\_illuminates\\_the\\_battlefield](https://www.army.mil/article/174528/improved_m127a1_handheld_signal_from_picatinny_gr eatly_illuminates_the_battlefield).
- [73] STV GROUP a.s. Army Point. *Pistole signální vz. 44/83 řez zbraně* [online]. STV Group a. s. [cit. 10. 6 2024]. Dostupné z: <https://www.armypoint.cz/pistole-signalni-vz-44-83-rez-zbrane/d-92812/>.
- [74] Zbraně Orlová. 26,5mm signální střelivo 18 ks. *Zbraně Orlová* [online]. Zbraně orlová, 2024 [cit. 10. 6 2024]. Dostupné z: <https://www.zbraneorlova.cz/26-5mm-signalni-strelivo-18-ks/>.
- [75] Hiske, Michael. Pamphlet No. 14, German Rockets, Gun and Mortar Ammunition. *German 8,8 cm Flak Star Shell* [online]. MichaelHiske.de [cit. 10. 6 2024]. Dostupné z: [http://michaelhiske.de/Allierte/UK/Handbook/Pamphlet14/14\\_015.htm#fig13](http://michaelhiske.de/Allierte/UK/Handbook/Pamphlet14/14_015.htm#fig13).
- [76] Hiske, Michael. Pamphlet No. 14, German Rockets, Gun and Mortar Ammunition. *German 8,8 cm Flak Star Shell* [online]. MichaelHiske.de [cit. 10. 6 2024]. Dostupné z: [http://michaelhiske.de/Allierte/UK/Handbook/Pamphlet14/14\\_015.htm#fig13](http://michaelhiske.de/Allierte/UK/Handbook/Pamphlet14/14_015.htm#fig13).

- [77] His Majesty's Stationery Office. *Text Book of Ammunition*. London: William Clowes & Sons, 1936.
- [78] War Department. *TM 9-1900, Technical Manual, Ammunition, General*. Washington D. C.: War Department, 1942.
- [79] Headquarters, Department of The Army. *TM 9-1300-203, Artillery Ammunition*. Washington D. C.: Headquarters, Department of The Army, 1967.
- [80] Naval Explosive Ordnance, Disposal Technology Division. *Afghanistan Ordnance Identification Guide*. Indian Head: Naval Explosive Ordnance, Disposal Technology Division, 2004. Vol. 1.
- [81] MCDOWELL, STAFF SERGEANT JOHN K. *Nabíjení granátometu M203*. *Wikipedia* [online]. Wikipedia.org, Last revised 11. 1. 2024 [cit. 10. 6. 2024]. Dostupné z: [https://cs.wikipedia.org/wiki/M203\\_\(gran%C3%A1tomety\)#/media/Soubor:Loading\\_M203\\_40\\_mm\\_grenade\\_launcher\\_attached\\_to\\_an\\_M16\\_rifle.jpg](https://cs.wikipedia.org/wiki/M203_(gran%C3%A1tomety)#/media/Soubor:Loading_M203_40_mm_grenade_launcher_attached_to_an_M16_rifle.jpg).
- [82] XXXX. *Různé*. *Vojensko.cz* [online]. Vojensko.cz, ©2007-2024 [cit. 10. 6. 2024]. Dostupné z: <https://www.vojensko.cz/ruzne/sekce-00058-pristroje-nastroje-zbrane/polozka-01374-vymetnice?image=7>.
- [83] P.Grajzel'. *Různé*. *Vojensko.cz* [online]. Vojensko.cz, ©2007-2024 [cit. 10. 6. 2024]. Dostupné z: <https://www.vojensko.cz/ruzne/sekce-00058-pristroje-nastroje-zbrane/polozka-01374-vymetnice?image=10#detail-foto>.